



---

WF \*6 W -- }Aê .) K W >

作者郑重声明：所呈交的学位论文，是本人在导师的指导下进行研究工作所取得的成果。尽我所知，除文中已经注明引用内容和致谢的地方外，本论文不包含其他个人或集体已经发表的研究成果，也不包含其他已申请学位或其他用途使用过的成果。与我一同工作的同志对本研究所做的贡献均已在论文中做了明确的说明并表示了谢意。

若有不实之处，本人愿意承担相关法律责任。

学位论文题目：\_\_\_\_\_

作者签名：\_\_\_\_\_ 日期：\_\_\_\_\_年\_\_\_\_月\_\_\_\_日

## 摘要

<!·Ê } > ` . ' \* Ä Simultaneous Localization and Mapping, SLAM Ä \_ j ~ êN¶  
 , ' £K^ ° \_ { 0 Ê k ? ± @ ã j ~ ê 0 + Ø E ÷ 0 ; ], ' Ê } > ) ß ³ O. L NÈ Ä + a ¾ ? ö ? ù P O  
 ~ , ) (© H İ Ê ? ö ? ù SLAM @ j F ¨ , ' . D 0 ! ' & é Ä \* ¾ (© ± , ' - ( j D D Z É # \_ ... - ? ö  
 ? ù SLAM j 0 h + X , ' ° \_ Ê - O 2 î . ž ` ` A Ñ \* - ( j ) / ! Ø Ý \* j Ÿ , ' ... 5 ' Ä 6 < È  
 (© ± )) ß ³ , ' Í C † 0 ; Ö E ³ Q È X 4 é \* 6 5 j a 1 y j Ÿ j > ~ ) à = £ È ! " È \* ¾ (© ± , ' ... - ? ö  
 ? ù SLAM é # ° ° ^ X - p > n , ' 0 0 + ħ W L NÈ È 8 \$ ! ) j Ÿ , ' O. p L € ¾ ... 5 ' r M'  
 p 6 < # ^ # Ä + X ¾ G b F j Ÿ Ò # { È 8 k , 8 Z 1 y Î Lu + Ñ j Ä ) ¾ M Ž 5 ' W j , ' O P ö  
 \$ ! Ö 9 ç È ö p ... @ Ö • B \$ ° ° , L î Ç ` @ ã Ä \$ 0 / Ž 4 y 5 • 5 Ä Convolution Neural  
 Network, CNN Ä X j Ÿ , ' Q r Ÿ ¼ F > | Ÿ 3 P 4 × [ , ' , + Ñ é M' " 4 y Ç ¶ , W  
 , ' @ İ È ! Ø Ý , ' \$ ! Ö \_ O P ö D ~ p 2 î . ž , ' È > D D Z E ÷ 0 ; ], ' 5 ' Ÿ - ( Ä > • Ä < &  
 CNN , ' \$ ! Ö O. é ? È X ~ 4 é \* 6 j Ÿ ; § 9 \$ - , ' R ± W Ä  
 \ · Y + X \* ¾ (© ± , ' - ( j D D Z ¼ CNN \$ ! Ö Ø Ý È 6 ... é # ¼ \$ ! Ö - • M # - ( 5  
 8 È p \$ ! Ö = ½ 8 @ Ö . D 0 ! ... - ? ö ? ù SLAM , ' O P ö G ý \* L NÈ Ä k ? ± @ İ 5 Ö Ä 1 Ä Ä î A Ñ  
 ! ' \* ¶ 0 ‡ ¼ ¨ , ' M' A O P ö G ý \* , ' ... - ? ö ? ù SLAM 3 + 5 È H F - ( j D D Z E ÷ 0 ; ], ' (© ±  
 1 † + • ! E • Q x , ' B i G ) 1 Ç # È Q } 1 j ž £ 6 , , , ! " . ž W Ä Ä 2 Ä X \$ ! Ö `  
 A Ñ é M' È \* \* ¾ Resnet 5 ' , ' J j Ö \$ ! Ö ` A Ñ 5 • 5 È î ) à ¶ M Ž 5 ' W j , ' O P ö \$ ! Ö  
 9 ç È ! İ j ¶ 3 + 5 X ~ 4 é \* 6 j Ÿ ¼ 4 ß û E œ F Ø ; , ' W 7 - Ä Ä 3 Ä = ½ 8 E ÷ 0 ; j È 5 , 8 Y  
 + X - ( j D D Z , ' D 7 & é ¼ CNN Ø Ý , ' \$ ! Ö Ÿ È u 6 6 3 < • j Ö Q 2 ú L NÈ ¼ \$ ! Ö ž , '  
 2 W È ' \* ¶ \* ¾ F O " r @ 1 Ç # , ' \$ ! Ö G ý \* v æ Ä

**关键词:** 视觉 SLAM; 深度估计; 稠密重建; 稀疏地图点; 卷积神经网络

## Monocular Visual SLAM towards Dense Reconstruction

### Abstract

Simultaneous Localization and Mapping (SLAM) is one of the key technologies in the field of robotics, mainly focusing on localization and environment perception. Due to the unique advantages of visual sensors, visual SLAM has become a research hotspot in recent years. Feature-based camera tracking is the most widely used technology in monocular visual SLAM, and is capable of accurately tracking camera pose and inferring structure of the environment. However, features are heavily dependent on the environment, and are not performing well in textureless scenes. So, feature-based monocular visual SLAM always suffers from sparsity problem in reconstructed map, causing its sensing ability limited at the level of scene structure, which cannot be used in practical task, such as field scene detection and autonomous driving. Dense depth map estimation in non-structural area cannot be solved well only from the aspect of pure geometry theory. Convolutional neural network (CNN) has made a great progress on extracting high level feature and regression task of pixel level. In general, CNN-inferred depth is dense and globally accurate, which is complementary with structure data in process of camera tracking. Meanwhile, it has a better robustness because of characteristics of CNN architecture in low-texture scene.

In this thesis, the monocular visual SLAM towards dense reconstruction has been addressed in term of depth fusion, which makes full use of feature-based camera tracking and CNN-inferred depth, and combines the traditional geometry methods with the concept of deep learning. The main research work includes: (1) We design and implement a complete Visual SLAM system towards dense reconstruction. An improved feature extraction strategy and wrong match culling algorithm are introduced to raise the accuracy of data correspondence. (2) In the dense depth estimation, an original CNN architecture with multi-scale module based on Resnet has been proposed, which enhances the performance of whole system under pure rotational camera motion and low-texture scene. (3) The scale ambiguity of monocular SLAM and uncertainty of depth map are well processed in the framework of depth fusion and reconstruction speeding up by a fast solver.

**Key Words** Visual SLAM; Depth Estimation; Dense Reconstruction; Sparse Map Points; CNN Architecture

## 目 录

^ ?±.....	I
Abstract .....	II
1 5 Aê.....	1
1.1 B.NÈ.D0!6ü Ÿ ¼ ? y .....	1
1.2 ?ö?ùSLAM L NÈ ²F .....	3
1.2.1 SLAM L NÈ ],'F Ø >?ò#{ Q » .....	3
1.2.2 ?ö?ùSLAM , ' ... >.D0!)à(æ .....	5
1.3 M' A0P öGý *, ' ...- ?ö?ù SLAM .D0! .....	8
1.4 \., ' k?± µ é .....	10
2 -( £ *.p*6Aê >6ü Ÿ. Aö .....	12
2.1 -( j Q » > ) ± ... .....	12
2.1.1 J, „-( j Q » .....	12
2.1.2 ) ± ... > *.p. Le .....	13
2.1.3 \CX. Le 6@ .....	15
2.2 SLAM , ' .>~ /j .....	16
2.2.1 Ø 1CM & ß5•5 .....	16
2.2.2 € . .....	17
2.2.3 Pœ D0 [L¿ j j .....	17
2.3 0 ? ¼ ^ H F .....	18
2.3.1 0 ? ¼ ^ H FL NÈ ²F .....	18
2.3.2 4ï W 0 ? ¼ ^ H F .....	19
2.3.3 MŽ4ï W 0 ? ¼ ^ H F .....	19
2.4 \1 ?5 .....	23
3 * ¾(© ±, '-( jD DZ .....	24
3.1 £ ¾ ...- ?ö?ùSLAM Î)à0P öGý *, ' M63 .....	24
3.2 * ¾(© ±, '-( jD DZ1Ç# AîAÑ .....	27
3.3 * ¾5• I, '(© ± ŸF > iG} .....	28
3.3.1 * ¾5• I, '(© ± .....	28
3.3.2 * ¾5• I, 'B iG} „L” .....	30
3.4 ` . M û F .....	32
3.5 -( jD DZ .....	33

3.5.1	VL\$D DZ.....	33
3.5.2	pG ` .D DZ .....	33
3.6	£K^ W.ž Ê .....	34
3.7	` .1Ñ*6 ¼ pG H F .....	34
3.8	\1 ?5 .....	35
4	M' A0P öGý *,´\$! Ö `AÑ.....	36
4.1	* ¾ Resnet 5 ´,´ J j Ö\$! Ö `AÑ .....	36
4.2	* ¾=½ 81†+•,´0P ö\$! ÖGý * .....	37
4.2.1	RANSAC v æ ;,´ j Ö , 0 F .....	38
4.2.2	\$! Ö=½ 8 >Gý * .....	39
4.3	L )ß ð#{ > Q!“ .....	42
4.3.1	L )ß ð#{ .....	42
4.3.2	L )ß Q!“ .....	43
4.4	\1 ?5 .....	44
5	ÎP¼ > 6 Å .....	45
5.1	ÎP¼Aî5ž > žLö û4ý .....	45
5.1.1	ÎP¼Aî5ž >B\$ >.....	45
5.1.2	ÎP¼ žLö û4ý .....	45
5.2	-( jD DZ >L )ß ð#{ ÎP¼ .....	47
5.3	0P ö\$! ÖGý * ÎP¼ .....	48
5.3.1	ò F2G} > j Ö €"r@ ÎP¼ .....	48
5.3.2	\$! ÖGý *,´0P ö WAô ` .....	50
5.3.3	\$! ÖGý *,´2î ÖAô ` .....	51
5.3.4	Q ‡ 9 x W,´P¼Añ.....	54
5.4	F >  &L\$ 6 Å .....	56
5.5	\1 ?5 .....	56
5	Aê.....	58
	ò 63 · )^ .....	60
	kB+.... – } OL\$ >~ – _Aê · õ å .....	64
	8\$ BR.....	65
	WF *6 W – – }Aê ·(x s ¯+X , s – .....	66

# 1 绪论

## 1.1 课题研究背景和意义

F α•È à» P O~, ' .D ¼ê ¢7-, ' FO ... j j~êN¶ # •¶à, ' #k Ë Ä j~ê ° \_ XC° •C° J, ' N¶ JG->~)à \* = / , ' HC° W È ! " È í h ó ' l ` ¶ - \_ + | ¼ J + | , ' ¯ # £ # Ä ' f6 < È P5 , ' J j~ê ° ° \_ j × \* Ê , ' j à7ò F \_ X (© ÊÊ~Ff :0+ Ø, ' Ø j~ê È³ &¥#k W ~ È ! D ))ß³, ' G 5¢?±"r , Q ÄL¿-p j~ êN¶ , ' ... È 8 k0+ Ø ° \_ 0 ûF@\$@+X¾• j~ê, ' .D J ÈF W W w ¶ ! 4 é M', ' W7- Ö \$ ¯ # , ' Æ93 \$ È \$ ~, ' )ß³G 5¢?±"r È \$ ` ü , ' Ä+X j ÿ 1y Ä1984 α È 5¾ - -LbQ 4x.D0!AÑ B5¢ ÄDARPA Å >Lv È 8 Æ È C\$8 k`M'E-E¶ Ä ALV ÅAÑ BÈ 0 \_ ¶8 k0+ Ø j~ê ° \_ , ' -( £.D0! ÄL¿ > È j¶ F 0! • ØF êP®P! ° \_ \$ Ä\$ - ` ... ÈDARPA ¾2004 8#2007 α ; n î ¶ 9 z êP®P! A HC ( [1] È A ~ F + | ...)à ¶ X0+ Ø j~ê ° \_ , ' Á ; È j~ê , ' 8 k W7- "4ÿ F • 0 Z à, ' Q Ö ÄL" ¶ 0 .DL' p X0+ Ø j~ê ° \_ N¶ 0 ± ... 0.D0! F È J + | ² • F Ä "³ D "³ Ä / ¿ (© Ä × 1y G J "-E- fFP² v • ¾ 2013 α 0 û-(5 X êP®P!"-E-N¶ F > | ¶ 3 p Ä 2002 α È > ` j ~ê Roomba , ' \*)àAñ > ¶ 0+ Ø j~ê ° \_ 0 ûC F ê , ' + h + O # k È • f)à ¶ ! ` ü 6 < J g, ' Ä+X } ÿ Ä² Ì B\$ P5 , ' J j~ê @ n ¶ ã Ø È È i ¶ ê , ' + O × fFP é ? È F Ó x0+ Ø j~ê ° \_ V • , ' i #¹ ú ` ¶ + O # k, ' é é M'M' È 5 Ô F J Ä % 6 â Ä k + Ç 1y1y È F / ý J s F Ä\$! r!Q, ' M™ 6 J 15 È ) ê , ' + O # k x + O \$! k, ' j ý Ì D 6 J M -p \$ Ð ¢7- F Ä ê W F, ' é A = Ý ... ; ë Ä p ° \_ @ Ö • B\$ È 0+ Ø j~ê ° \_ , ' h ó X¾ @ ã T Z L N È Ö Î & Ê } > )ß³ ` . O. Ä Î & Ê } £ X j~ê 0+ Ø E ÷ 0 ; ] = Ý ` AÑ f } , ' } / Ä } 5ž > M A Å !Aà ... α Z E ÷ 0 ; , ' F Ø E ~ F ) Ä X9¢ j~ê } / , ' õ å ; È \* ¾ P O ~ , ' ? ò # { ž Î ) à ) j ÿ ` . , ' ' \* Ä 5 È 0 Z L N È @ , ' õ å ; ë ` AÑ 0 Z L N È , ' @ \_ " E³ é C, ' Ä v \_ X Î Lu õ å ; È j~ê F • ` Z . )ß³ ] È # } 9¢ x P ¼ ` . • Î ) à Î & Ê } È • " Ñ 92 î . ž , ' } / • E µ Û j ÿ ` . , ' G ý \* Ä ! " È 7- X Ê } , ' E ÷ 0 ; ] < & Î ) à ) ~ \$ )ß³ , ' O. £ < ! • Ê } > ` . ' \* Ä Simultaneous Localization and Mapping ÈSLAM Å ÄSLAM L N È ÿ , ' \_ f j~ê 5ž DÛ ¾ Z. j ÿ & È õ Í M • 8 DÛ j V, ' P O ~ È Î ) à ) ~ \$ )ß³ ` . , ' Î G ý ? ' \* È ! < & ` AÑ 8 DÛ X ` . ] p 4, ' } 5ž ¼ M A Ä X j~ê / n j ] È SLAM L N È , ' @ ã é x > Û A Ô j \_ A Û j~ê § 9-O! "8 k W, ' £ K ^ p X Ä 0 F q α ] È -( £.D 0!65 p \* 6 A ê @ Ö \* = < ' ? , ' 1 Ç # È ! Ä + X ` = < , ' j ÿ ; È p Ô µ ` g F È p " d ;



Fig. 1.1 Mars rover, Google autonomous car and Microsoft HoloLens

Y0<sup>a</sup> Ä m1Ñ p\*6Aê ¼ ² % rM' : •B\$ È SLAM L NÈ >ÛAÔ j , - , '@ ã ¶ Ä v \_ X  
 ' \* 0 ZFJ+X, ' SLAM 3+5 éM' Í f 9 , J%œ X, 'L NÈ ÈT ! \_ > g Y+X ¼9ç ` ü, '  
 ` . Y Ä

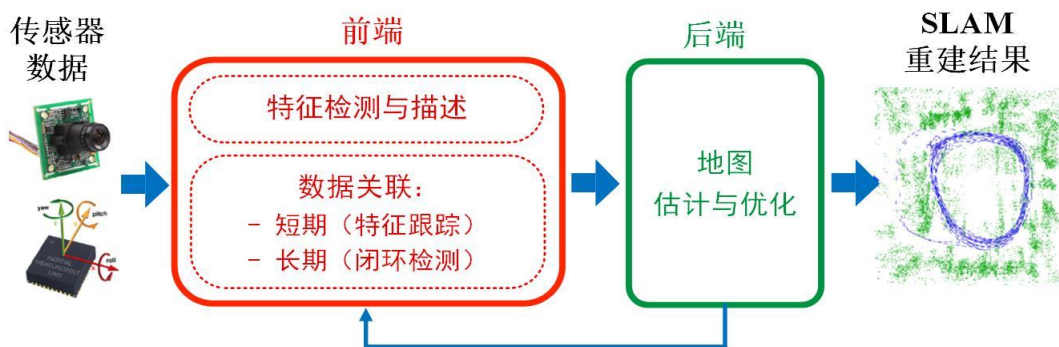
SLAM , ' C\$À ¾ F-\$ß ` 1986 ▫<sup>[3]</sup> È f & ²)·5 AÑ – J>Û E • ` j ~ ê ° \_ ¼  
 ê ¢7-N¶ Ä WGÿ, ' .D0!65 0 û + "r -+X(æ 1 ` AÑ, '6Aê •@ ã \* . ¼ È }L NÈ Ä  
 O SLAM 3+5 G- \_/ë4ï Î)à, ' È-\$` 2000 ▫ > Î &F >|, '3+5 0 û#¼)à ÈF • , 8\$  
 ¶ SLAM ° \_>ÛOÆ!Q Ä+X `& O Ò#{ ~ : <sup>[4]</sup> ÄSLMA , ' \* 0 M \_j ¶@ ã j ~ ê, '8  
 k0+ ØL NÈ È vF ▫ • ▫ X8 ØP®P! ¼ VR/AR N¶ ... )à \* j â, 'ï d Ä 2009 ▫ 1 8 È  
 Bg!| \_ Ø ( j AÑ B ÈLæ Ž ¾Bg!| X N©- È v ¾ 2016 ▫) 0û @ j 0 æ = j Waymo  
 , ' œ ( Ä >© ß ù, ' z8 ØP®P!3+5 Autopilot = < È Waymo G÷+X 0!• ` } , ' ê  
 P®P! ° \_ ...D 4ï È-\$ Õ.D SAE Level 4+4x [, ' êP®P! "-E– Ä 2015 ▫ 1 8 , ÞEÿ  
 3 OÆ Z = 4ï56L€ f, ' Î j)à Î d n Aî 7 Microsoft HoloLens Ä -+X J/ý P O ~ ¼ WGÿ  
 t ÿ d È ÈR± , ' / 1 ` AÑ È AÛ+X g > ‡ µ é Ô Â È Î)à ¶ <Š j Y >-O Î)ß ³, '  
 =½ 8 Ä

- } È?ö?ù SLAM ° \_ "4ÿ Ç ¶K°F , ' ... ÈAè J H/ð, '1Ç# X ÎLuL NÈ jG-Eî  
 ` ¶N' O, ' x Î ÄvL¿-p.D0!, '\$! • È° •C° J , ' ü 9 A H W, 'L NÈG- 9 µ@ ã Ä » ² È  
 X § 9Gý =5 ' È 5j A4é\*6, ' Ä = r Ø 1 j Y ; > g Añ1Ç #, ' 9 xF >| È ² ...@ ãK-  
 O8 kF >| j, ' ^ ØL NÈ ¼D "8², ' ?ö?ù O. L NÈ ÈF65 ² ... • < -+X J/ý P O ~ !5  
 8\$! Ö – ° \_ Î)à \$Q r!Q, ' j Y O. 1y1y ÄF ÈL NÈ ) ¾ ¼ ' SLAM ° \_ ÈØ Ø0+  
 Ø j ~ ê ° \_ X 4>| J, ' Ä+XG- 9Gý W ? y Ä



## 1.2 视觉 SLAM 问题概述

XAÑ1Ç j?ö?ù/n j] È p 03+ G .ÿ ]' = \*-(j, '(-) } / ¼ 95\$ j ÿ5 'F 0  
 L NÈ>Û0 ÆF Ø Ø Ý5 'Ä Structure from Motion È SFM Å<sup>[5]</sup> È ³, 'C\$ \$À F-\$ß`  
 Longuet-Higgins<sup>[6]</sup> ¼ Haris<sup>[7]</sup> 1y ê, ' Æ Ä SLAM -; @ \_ (© È ' & ; , ' SFM È SFM  
 \$ § 9 08\ W ÈM' A ÿ, ' .ÿLö 8 F65?öNÁ(w!â È! D 04ø, 'Gý \*5 ì ¼-(j } / J  
 4ÿE÷ 0 Z/ë4ï, ' ~ p H F Ä » ² È y • £ # £ bundle adjustment È BA Å È p6<9ç Ç2î  
 4ö, ' j ÿ ` . ÄF • , 8\$ ¶ !1Ç# , ' AÑ1Ç = r Ö \_ > .(w, ' Gÿ ¼ j ÿ, ' W ? @!“( £  
 , ' [8] Ä-(ý È SLAM \$ Ð £ ó-(j î & , ' F Ø õ â È6<a F ¶ ` ., ' ' \* Ä v \_Lç-p î  
 & SFM 1Ç# , ' = Ý#¼)à ¼ SLAM j ) ' \*Q CXGÿ ` .M0"r , ' = Ý : w È T65 {L\$, '+|  
 L€ "4ÿ !=FÓ x > n Ä " » , ' SLAM 3+5 p ² % : 6 @ TG 6 Ö } 1 ¼ > 1 Ä } 1  
 COCS ) P O ~ žF > | íB' 4\*6F 6<j > 5 , '(æ 1 ` AÑ È 8F2, ' ÿ È > 1 I \* ¾F  
 È ÿF > |(æ 1 Ø Ý != Ý H F ` AÑ5 ì [9] Ä3+5 5 ' ² . 1.2 p/j Ä



1.2 SLAM E÷0; , ' " » v æ5 ' /j ? .

Fig. 1.2 Illustration to typical framework of SLAM process

### 1.2.1 SLAM 问题中的运动与观测模型

$f j \sim \hat{e} X Z.$  j ÿ ] Ò#{ & È+a ¾ # 9ç )ß ³, ' xP¼ ÿ È p òN« î)à < &  
 È } > ` .Gý \* ÄFÓ x Èp -@ Ö •-; ÈF T Z Q ± 6 [ ) Ä ¶ SLAM L NÈ ], ' T Z  
 Q » ÖF Ø > ?ò#{<sup>[10]</sup> Ä m1Ñ j ~ ê Ò#{E÷0; \_F 5 , ' È v ` P O ~G÷ gNÁ), ' L€ f È  
 A 6F !âF 5 , ' F ØE÷0; 6@ @/ë " & k t = 1, 2 ... K & +O, ' F Ø È p A  
 M0?± £# F È & k ; , ' } / > ` . Ä A +X x > ~ /j j ~ ê, ' } / ÈFÓ x j ~ ê æ ZF Ø  
 E÷0; ], ' È~F) a +X  $x_1, x_2, x_3 \dots x_K > \sim /j \hat{A} w \hat{A} i ` . +a N Z D 7 \& é ' @ È A à Æ$   
 $y_1, y_2, y_3, \dots y_N \hat{A}$

ð x \_ F Ø Û F Ø é0; k+k, ' \_ = < & k j ~ ê } / x , ' F Ä F J h õ å ; j ~ ê  
J j V F Ø # { G ý P O ~ » ² G ü 0 ; A Ñ F 6 5 W # { G ý ... s È \$ Ö # { G ý , ' F Ø ÿ ø 0 x f E Ä  
• <sup>[11]</sup> È > ~ / j @ Ö

$$U = \{u_1 \mu_2 \mu_3 , . \mu$$

Ä 1. 1 Å

l j ~ ê X T Z F 5 & k L \$ } / - ( ) ¾ F Ø # { G ý l , ' £ 3 + + a ; M ' , ' M Ž 4 i W F Ø Q  
» > ~ / j Ö

$$x_{t+1} = f(x_t, u_t) + w_t$$

Ä 1. 2 Å

F Ø P O ~ 3 + 5 , ' š F J h > Û \* Q @ 0 w l é j › , ' Q ß 6 3 È + a š N © w\_t > ~ / j Ö

$$w_t \square N(0, \Sigma_t)$$

Ä 1. 3 Å

! " È t + 1 & k } / • > Û k + k @ Q ß 6 3 Ö

$$x_{t+1} \square N(f(x_t, u_t), \Sigma_t)$$

Ä 1. 4 Å

F G ü ' F Ø - " Ñ 9 7 > ! § f ' ? È \_ j X Î D % ] È ) ¾ = < , ' j ~ ê 3 + 5 È  
G ÷ + X = < 2 « » , ' P O ~ È , 8 \$ x f E Ä • \_ = 0 g , ' È ! " F Ø - , ' ' ? • \_ s 7 [ Ä  
w A î j ~ ê , ' ( æ 1 G ý j x = ( x , y , \theta ) ^ T , x f E Ä • j u\_t = ( v , \omega ) ^ T , £ F Ø E ÷ 0 ; ] F J E ÷ P  
O ~ # { G ý \* ! £ 0 + F O ) . ¼ @ F O Ö È l ) Ä , ' F Ø Q » f ^ { C T R V } j Ö

$$x_{t+1} = f^{CTRV}(x_t, u_t) = x_t + \begin{cases} \begin{pmatrix} v_t \cos(\theta_t) \Delta t \\ v_t \sin(\theta_t) \Delta t \\ 0 \end{pmatrix} , \omega_t = 0 \\ \begin{pmatrix} \frac{v_t}{\omega_t} (\sin(\theta_t + \omega_t \Delta t) - \sin(\theta_t)) \\ \frac{v_t}{\omega_t} (\cos(\theta_t) - \cos(\theta_t + \omega_t \Delta t)) \\ \omega_t \Delta t \end{pmatrix} , \omega_t \neq 0 \end{cases}$$

Ä 1. 5 Å

ð x \_ ? ò # { Û ? ò # { é 0 ; ý F , ' \_ X t & k È j ~ ê ¾ x\_t 4 ) D 7 & é y\_i x + O ? ò # { l z\_{t,i} , ' E ÷ 0 ; Ä j ~ ê j V , ' ? ò # { P O ~ , ' ? ò # { 5 ì > ~ / j @ Ö

$$Z = (z_{1,1}, z_{1,2}, ..., z_{1,N}, z_{2,1}, ..., z_{t,i}, ..., z_{K,N-1}, z_{K,N})$$

Ä 1. 6 Å

l j ~ ê X t & k ) D 7 & é y\_i , ' ? ò # { l z\_{t,i} > } / x\_t , ' £ 3 + ² ; Ö

$$z_{t,i} = h(x_t, y_i) + \lambda_{t,i}$$

Ä 1. 7 Å

? ò # { P O ~ 3 + 5 , ' š F J h > Û \* Q @ 0 w l é j " , ' Q ß 6 3 È + a š N © λ\_{t,i} > ~ / j Ö

$$\lambda_{t,i} \square N(0, \Lambda_{t,i})$$

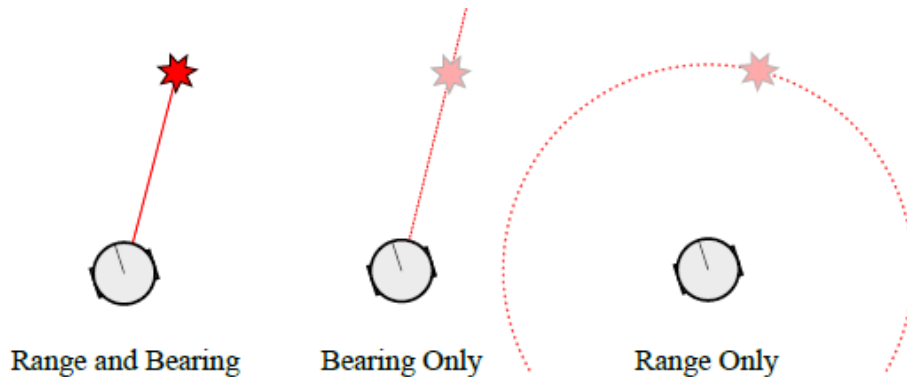
Ä1.8 Å

I Ö

$$z_{t,i} \square N(h(x_t, y_i), \Lambda_{t,i})$$

Ä1.9 Å

>F Ø - f 0 g È?ò#{ Q » ],' íB' - h , ' § f ' ? ã ¾?ò#{ P O ~ , ' /ý2« Ä  
08\ ò á ; È J, ) = < , ' ?ò#{ P O ~ D 7&é, ' ?ò#{ Q ? 6 @ 92« Ö93 \$ ¼ é }  
ÄRange and Bearing Å È4ß é } Ä Bearing Only Å ¼4ß93 \$ ÄRange Only Å<sup>[11]</sup> È ² . 1.3  
p/j Ä



. 1.3 D 7&amp;é, ' 9/ý?ò#{ Q ?

Fig. 1.3 Three different modes of landmark observations

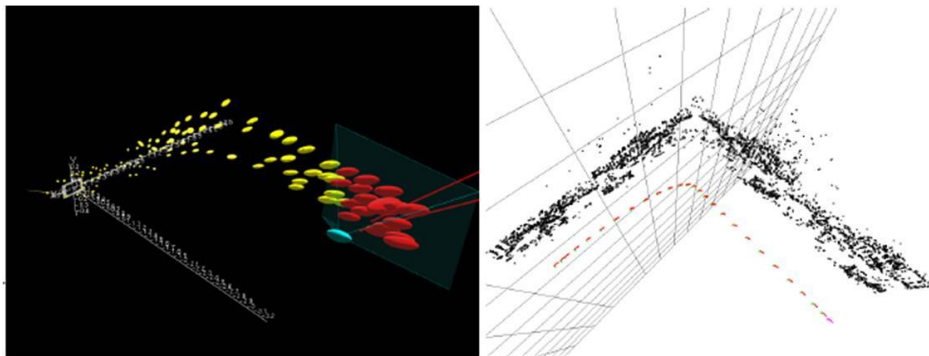
f?ò#{ P O ~ j ... - (j & È 7-9ç ?ö?ùD 7&é, ' é } È9 L¿-p j ~ ê, ' F Ø È  
B D 7&é>Û ¼!Q?ò#{ ` È!" & FJE÷F Ø?ö •.ž ÈD 7&é, ' 93 \$ £D /ë j ~ ê, '  
D /ë Ä ²ì?ò#{ P O ~ \_ ü- - (j F65 \_ RGB-D - (j & È I -\$ Ö#{Gÿ \*93 \$ > é } È  
v ¯+X ~\*3 ,8Z › O3+5 ÄGNSS Å F65 Wi-Fi & a 7-9ç 93 \$ Ä

### 1.2.2 视觉SLAM的发展与研究现状

?ö?ùSLAM p 0 M ²). f3+ ; , '(æ 1 `AÑ ... `)à X, 'MŽ4ĩ W H F"r@ È h ó µ  
é !"Ñ9 +O Z W, ' F Äk#q, ' ?ö?ù SLAM ° \_ W8\$4ÿ ¶ ¶ 9 Z ...Lfl!ä Ö\* ¾% #  
~Lfl!ä Ä \* ¾ £K^ W H FLfl!ä ¼ \* ¾-\$ ÖD DZLfl!ä Ä

MonoSLAM<sup>[12]</sup> \_ \* ¾ P5 CM & ß% # ~ é# , ' " » > ~ È+a Davison 1y ê ¾ 2007  
¤ 0 È \_OÆ Z ò ÍC† ... - (j, ' ?ö?ù SLAM v æ Ä ¯+X Shi-Tomasi @ & ð<sup>[31]</sup> • k+k)ß  
³ ], '00+¿(© ± Èà ð#{ ` , '(© ± = Ý > ¶ "(© ± F > | iG} È 6<9ç j ÿ, '\$! Ö ÿ È  
' = \*)ß ³, ' 95\$5 ' È ! ¯+X ™ ... ' D , % # ÄExtend Kalman Filter ÈEKF Å )3+5  
, '(æ 1 F > | \$ à Ä +a ¾ X3+5 (æ 1 `AÑ] È j ¶ 1° F AÑ1Ç È!ÿ 0 & k, ' `AÑ 63<• f }

, '(æ 1 È-(j, ' ¶ "F Ø ÿ 6 = ½ ò >AÑ1Ç ÄF g Š, '-\$ Ö j ý a \_ ,8\$B 3\_AÑ Ð  
 — È f 0 & k, 'AÑ1Ç5 Ì ^ X • & ÈF 0 • 6 = Ý>Û PFB ; ë È 04ø FP @~F) U  
 Gy%20+ ÄF • \_ ,8\$F 2«1Ç# # K^- &L\$Q xF >|, ' k?± Ī Ä 0 éM' È MonoSLAM  
 6 95\$ j Ÿ&é œ j µ `AÑ(æ 1 Gÿ, ' 0G 6 ÈL€f ¶ ĪLu Ä+X j Ÿ, ' j Ö Ä .D0!65 M  
 B p = <@ Ö • \$- , ' -+X% # é# È Pupilli ¼ Calway<sup>[14]</sup> 1y ê 62Â €% # ÄParticle  
 Filter ÈPF Ä E • ?ö?ù SLAM È+X •FIF MŽ4ĩ WMŽQ ß3+5 ; , ' 2) • 6 3 × Montiel<sup>[15]</sup> 1y  
 ê Ī \*F6\$! Ö>~ /j# • Ī j ?ò# { é0 ; , ' 4ĩ W Ö Ä 2007 ▯ Mourikis<sup>[16]</sup> 1y ê \*, ' J(æ 1  
 4Ö • ' D , % # Ä Multi-State Constraint Kalman Filter ÈMSCKF Ä=½ 8 ¶ W# {Gÿ ... s  
 ÄIMU Ä ž È , W0; Ö :5C@ ¶AÑ1Ç = r Ö Ä MSCKF X \$ àLfl!â63<• pG ` . µ, '  
 p 9(æ 1 È = Ý H F f }-(j, ' } / ¼0Ç µ, ' ¶ "(æ 1 È ŸE« ¶B , ' 3\_0 Ä 0 é  
 M' 6(© ±&é, ' 95\$ € 7 Ÿ >3+5 (æ 1 Gÿ@ 6V È W WL} ~ ¶AÑ1Ç = r Ö Ä

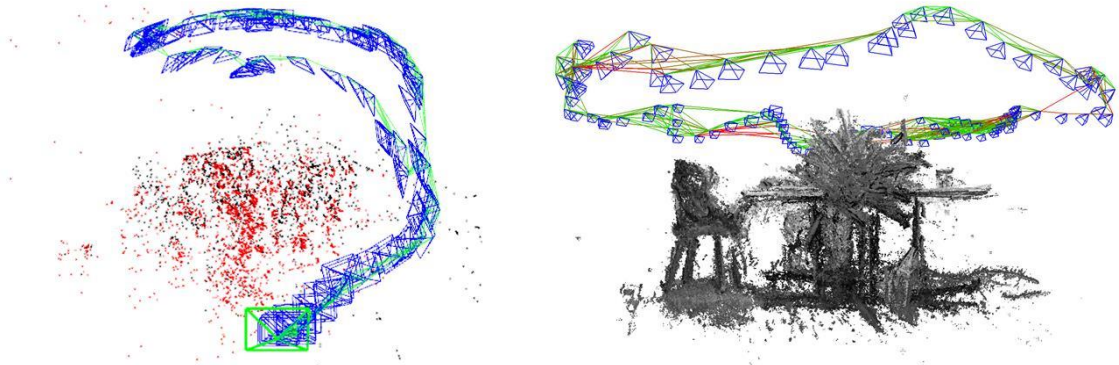


. 1.4 MonoSLAM ¼ PTAM, 'Gý \*5 Ī

Fig. 1.4 The reconstruction results of MonoSLAM and PTAM

2012 ▯ Strasdat ¼ Montiel<sup>[17]</sup> 1y ê U Ī 6 Ä )" ¶ \* ¾% # , ' é# ¼ £K^ W H F, '  
 é# È X = < j Ÿ ; 6 [ -+X = < P O ~F > | W Gÿ, ' Ī P ¼ È 04øAñ > £K^ W H F, ' é#  
 ?±H ¾% # # ÄKlein 1y ê, ' PTAM ÄParallel Tracking and Mapping Ä<sup>[18]</sup> \_ 0 , ' \* ¾ ...  
 - -(j, ' £K^ W H F SLAM 3+5 ÈK à W ` \* 6-(jD DZ ¼ ` . ' \* 6/ë È!Añ > ¶  
 Ī X<Š )à Ī Ä+X ], ' 9 x W Ä X Ī û, '(x \, ' \*.p : È Klein 1y 9 Š ¶F 0!• iF È  
 XD DZE÷0; ]\$+ ÐEé(© ± ¼ ûEœ `AÑ Ī j F ¶Gý È }1†+• <sup>[19]</sup> Ä▯ Z ` . ' \*4ĩ0; 5\$ Ô  
 £K^ W ¼ ) Ä, '00+ĭ ` .&é È- Ç3+5 7- O Ī &F >| BA H F Ä m ĪÑPTAM ^ X , > n  
 , ' =Cā È » ² F2+X ¾ ? j Ÿ ÈD DZ =0c Ê1y È v Ī h ó, ' } >1 M # \* \ • Ê ¶)à  
 SLAM 3+5 , ' W f v æ Ä2015 ▯ Raul \*, ' ORB-SLAM<sup>[20]</sup> k f "i+X ¶ PTAM, ' M # È

! )!v æ \*¶iF ¼îjÄ > PTAM -(" È ORB-SLAM G÷+X5 0, '(© ±>~j È ¼  
 @ ¶-( jD DZ ¼L )ß ð#{ È M û F &G÷+X \_ ?, '1†+• ÈJ, ) = < õ åF9 0 8F2, ' M  
 û F é# È1 ¯+X pG BA ¼~ p . H F-(5 8 È Ç3+5 § 7E³Q, '2î Ö ¼R± W Ä  
 ORB-SLAM \_)à ?ö?ù SLAM 3+5 ] \*¾(© ± é# , ' \* >~ Ä



1.5 ORB-SLAM ¼LSD-SLAM, ' ?ö?ù xì

Fig. 1.5 The visual effects of ORB-SLAM and LSD-SLAM

Aê \_ \*¾% # , ' é# F \_ \*¾ £K^ W BA , ' é# ÈG-M0?±8áCi , W &L\$ 0K0 ë  
 (© ±&é È T! \_ X ~ y ' & F5 ' F j ÿ ] È , Lî `2î.ž DR± , '(© ± Ä 9.D0!  
 65 X\* ¾ Þ Ö 08\$ W Ä Intensity Consistency Å wAî, ' ' & ; \* ¶ 0 ? F y ÖB  
 ÄPhotometric Error Å • /(© ±# ], '0ªL\$ ...B Ä Geometrical Error Å Ä-\$ ÖD DZ  
 # wAî ÎLu)ß³ ], ' < 0 Z 95\$&é X = < & k = <?ö@ ;4ÿ+a @ ÿ Q » x+O, ' Þ Ö I  
 \_ , È = , ' Ä ! ] 0 § >~ W, ' OE?± Engel 1y ê ¾ 2014 ¢ \*, ' LSD-SLAM<sup>[21]</sup>  
 ¶ Ä > ORB-SLAM -(" È LSD-SLAM -\$ Ö ' \* = < WL\$Q 4é\*6 j , ' ÿ3P ) Ä £3+ È  
 DG÷+X £K^ W ° \_ È X GPU ÐFO, ' õ å ; î)à ¶ ) j ÿ, ' z 0P öGý \* È n/j ¶ LD, '  
 Ä+X} ÿ Ä

- µ?ö?ù SLAM , 'C§!•-( ) •B\$" E³ Š È § 9 >~ W, ' SLAM 3+5 9#%o" • W -  
 CAD&CG - æGý&é ÎP¼ Ô¾2013 ¢ 0 , ' RDSLAM<sup>[22]</sup> ÄRDSLAM C# ¾ = r Ø 1 j  
 ÿ ; , ' Q xD DZ ¼R± Gý \* È7- O î & ð#{ )ß³ F?ð ¼5 ' , ' F È8 F2 Ä ` )F@\$@  
 F, ' j ÿ î)à \* Q Ä 0 Z § 9 >~ W, ' SLAM 3+5 \_ OÉ\$\_0 ° W -, ' Ý Û1y ê ¾  
 2018 ¢ 0\$Ä, ' VINS-Mono<sup>[23]</sup> ÄB 3+5 î)à ¶ -( j ¼ , , '3W6V 8 H F"r@ È@ ä ¶6,,  
 8 7 È > IMU • . ! "1yL NÈ È Eî ` ¶ X4î4x [, 'Gý È } ¼(æ 1 `AÑ Ä R± , ' M û F  
 1†+• ÈGý È } ° \_ ¼Q x, ' } / . =+X ¯ ÇB 3+5 X AR/VR j ÿ È ê j , 8Z ] Ç  
 ¶Mž h -, ' x ì Ä



Fig. 1.6 The effects of RDSLAM and VINS-Mono in application to AR

### 1.3 面向稠密重建的单目视觉 SLAM 研究

X 1.2 8<sup>2</sup>, ' 0 d È "4ÿ jB3 ¶ P5 SLAM > SFM , ' j [ ¼ xGý&é, ' = < È F GüM0  
 ?±B\$ >, ' \_ £ ¾ SLAM \$ Ð# Gý È }6< a F ¶ ` .Gý \* , ' >~F \_ 7 X.ž È }2î Ö  
 Cã O ¼3+5 F >| x), ' õ å ; • ÿ A ) 9 } j Ÿ&é, 'Gý \* Ä 08>~)à j00+ç, 'D 7&é F  
 (© ±&é ` . Å È = \_ 7 \* . \DÛ, 'Gý?± W>Û a F Ä -(ý È \* . + Ñ \_ SLAM 3+5, '  
 T W h ó { 0 È ³, ' k?± Æ+X>~)à X T éM' Ö OÆ x ` .7- O ) § f, ' + Ñ È õ?±, ' \_  
 1 È SLAM, ' Ä+X j Ÿ ;M0?± = < ' ?, ' ` . • ¼ @ (© È, ' + Ñ x !!Q È ` .7- OL€ f  
 j ~ ê (æ 1 ` AÑE÷0; j x+O, ' B È ² ì"Ñ 9 ` . ÈFÓ x } / , ' ` AÑ , é C +O%20+ Ä  
 ² ú ÈLç-p SLAM µ é, ' = Ý & h > Ä+X93 \$, ' = Ý ™ W È È y ' ? • Ç \$ Ð&¥##k Ä  
 SLAM 3+5 \$ Ð# Gý ! Ä+X j Ÿ È õN« i ž = <, 'M0"r • ) SLAM, 'G &F >| i Ø ¼  
 Î j Ä T ! X0P ö \* . éM' È P5, '00+ç ` . # >Û Ä+X ` § f, ' ÎD% f ] ÈC° •C° J  
 , ' Ä+XG-M0?± 0 Z ~ p 08\$, '0P ö ` . È » ² È XAè J È » F"A+O Ä+X j j ~ ê, ' - 7  
 \_ ¼ @ j Ÿ Ò#{ È+O @Q 6EØ, ' )ß ³ ` . È ï ¾ >5, '8 k ,8Z1y Ä F65 ) 0 (© È, '  
 pG 5 ' F >| 0P ö \* Q È ð#{5 ' , '(æ å Ä \*1•(™ È • ±1y Ä Ä \* ¾ RGB-D -(j F ü  
 - -(j0P öGý \*, ' SLAM 3+5 <sup>[24]-[27]</sup>7- O Î)à2î.ž, ' j Ÿ \* Q Èv ! =Cã { 4 • , > n È  
 » ² È RGB-D -(j ) y'— , • O È # Ä+X ¾ Ô F È ü -(j ).œ &, ' Ð ¼AîAÑ?±  
 "rMž hQ È \* ¾F T2« P O ~, ' SLAM 3+5 , W0; Ö :G- ÍC†.œ &, ' W7- Èp È \* ¾  
 ...- -(j Î)à0P öGý \*, ' SLAM 3+5 EC§ ¶.D0!65, ' ~# £# Ä  
 m1Ñ\* ¾ ...- -(j, '0P öGý \* § 9 , W, ' A H W È v ! ] = • 0 È >~ W, ' Æ Ä  
 k, ' •B\$ È \* ¾ ...- ?ö?ù SLAM, '0P ö@ ã é x 6 @ T 2« Ö \* ¾4ß ..., ' é# ¼5  
 8\$! Ö - •, ' é# Ä

1\ 02« é# k?± \_ Y+X Å r?ö?ù(© ± ¼ ê AîAÑ, ' xP¼ Ä², øN⁻ F+| wAî [28] È6  
 !â £M'(© W<sup>[30]</sup> ¼ £% W wAî<sup>[31]-[33]</sup> Å ÈFJE÷) \*4ï0û f iG} ° \_ • Î)à\$! ÖGý \* Ä Dense  
 Tracking and Mapping (DTAM) <sup>[31]</sup> "i+X ¶ PTAM, '5 ' 6 !>| 4\*6 ° \_ >) \*4ï0û f i  
 G}Lö @ `5 0 v æ; È X GPU ÐFO; Î)à ¶ Î &, 'D DZ > \* . Ä\$! ÖGý \*E÷0; ] È -  
 +X WGÿ, -(Fè?öNÁ W Qy Ö žN©, 'CXGÿ È ! \* ¾MŽ ( H F {!â È ' \* ~ p 08\$ D4ÿ  
 E÷0ªL\$?ô I F, '7-Gÿ - ÄDTAM 7- O ⁻+X ~ p H F, ' {!â )!ÿ Z ÿ3P&éF >|Gý \* È v  
 M0?± WGÿ, 'AÑ1ÇCt\$À È £ İ XPU, ' ÐFO; È™ ... x)· ýf =Q Ä 0 éM' È Engel<sup>[34]</sup>  
 1y ê "4ÿAñ > ) ¾ ~ ß Ö j , ' ÿ3P •B\$ Èö Þ, ' Þ ÖB J)?ö `AÑ, '2î ÖFP @ ,  
 W, ' i ý È-( ý ÈQ 4é\*6 j I \$ Ð2î.žR± Ä F • \_ LSD-SLAM j ð x X 9Cã O  
 ß Ö, ' j •AÑ1Ç ÿ3P&é, '\$! Ö Ä 0 Z Æ Probabilistic È Monocular Dense  
 Reconstruction(Remove)<sup>[32]</sup> \_ Pizzoli 1y ê ¾ 2014 ¢ \* ÈB é# ÿ3P j ... } `AÑ !²  
 )·\$! Ö È !AÑ1Ç ) Ä, ' =.ž È W+X • 5 KIB `AÑ ¼ ÈGý \*E÷0; ], ' Î & ýO, Ä ÿ3P  
 &é, '\$! Ö>Û ÿF @ 0 Z ò Q » È !Lö @ `CM & ß `AÑ v æ; "r@ ÈEÄ \*, '\$! Ö . 0 >  
 4ÿE÷ 0 Z £% E÷0; Ç ` 04ø, '@ Ä2016 ¢ ÈGreene 1y ê, ' Æ Multi-level MappingÄMLM Å  
<sup>[35]</sup> ) LSD-SLAM F >|™ ... È ! X"Ñ 9 GPU ÐFO, ' ö å; Î)à ¶ Î &, ' ...- 0P öGý \* Ä  
 B ÆAîAÑ ¶ 0/ý J 6EØ), '\$! Ö `AÑ ¼0ªL\$ £% v æ ÈÆ65 ⁻+X 6EØ)·, ' ù A  
 •>~|j £K^ W ! `AÑ ù A !ÿ Z & €8²&é, '\$! Ö ÈB< = \_ è `AÑ . ÿ ], 'ÿ Z ÿ3P&é Ä  
 F /ý \* ¾ ù A, ' £K^ W>~|j é# 7- O ⁻+X j Ö ) = <4é\*6 j F >| \* Q Ö ) ¾4é  
 \*6 ` ù, j G÷+X \$ Ð2î4ö, >~|j È-( ý È ~4é\*6 j I ⁻+X-( )2Ç3, ' >~|j ÄF /ý>~  
 /j1†+•8²-1 ¶ WGÿ, 'AÑ1ÇCt\$À È ⁻ Ç B 1Ç# 7- OGý \* \* \$ Ð0P ö, `` . Ä  
 : ` , ' \* ¾ ...- -( j, '0P öGý \* SLAM G- \_ \* ¾ P5, ' ... é# È 2« é# G-  
 £# ¾ Å r, ' pG (© ± È=7- , -, ' Y+X j ÿ, ' : ; · ÿ ¼ ~ p(© ± È ! D X ~4é  
 \*6 j ÿ; é C a x ÄFJ h ê AîAÑ, ' xP¼ =7- , -, ' >~Eî ¢ Z j ÿ, '(© ± È-( ý È §0  
 /Ž4ÿ5•5 X j ÿ, 'Q r ÿ ¼F >| ÿ3P4× [, ' , + ÑÄ² £M'# 4ï `AÑ ÈB y 6  
 ¢ ¼\$! Ö .N'# { Å éM' "4ÿ Ç ¶ , W, ' @ İ Ä .D0!65 0 û MB 6\$! Ö - • E • ` ...-  
 0P öGý \* ] È Ç ¶ 0 È, ' x İ Ä Weerasekera<sup>[36]</sup> 1y ê ⁻+X §0 /Ž4ÿ5•5 Ä Convolutional  
 Neural Networks ÈCNN ÅN'# { £K^ W, ' "M'# 4ï ÿ <sup>[37]</sup> È Æ j j xP¼ 'FP \* ¾ y ÖB  
 , '7-Gÿ - • Î)à0P ö `., `` AÑ Ä(" ¾ LSD-SLAM ÈB é# X H F v æ ] E • ¶#  
 4ï 08\$ W4Ö • È Q ¶ ~4é\*6 j \$! Ö `AÑ, '2î Ö ÄB 1Ç# ¢ f "i+X DTAM, ' H F1†  
 +• È ö )! " I FN© Š ¶ Ø È İ •, '\$! Ö £% xP¼ >Û / ' @ ¶ "M'# 4ï4Ö • È v ¢ f W  
 7- Ç ` ¶ 0 È, ' w Ä > Weerasekera 1y ê, ' é# = < È 2017 ¢ È Tateno 1y ê >~, '  
 CNN-SLAM[38] \*-\$ Ö ⁻+X CNN •N'# { £K^ W, '0P ö\$! Ö ! > \* ¾-\$ Ö D Z, '



SLAM 3+5 -(=½ 8 ÈÎ)à ¶ ) j Ÿ, '0P ö \* Q Ä ! ] 0 £K^, 'G 6 a \_FJE÷ 0û f iG} °  
\_9ç , ' z0P ö\$! Ö • = Ý4ö F CNN , '\$! Ö `AÑ ÄAê · ] X `AÑ\$! Ö, ' < &F `AÑ ¶  
j Ÿ, 'B y 71® È ! 04ø=½ 8 ` 95\$ j Ÿ ] È ' \* @B y ` . Ä

Aê \_ CNN-SLAM F \_ Weerasekera 1y ê, ' é# G- \_ \* ¾-\$ Ö D DZ, ' SLAM é#  
•5 8\$! Ö1†+• ÈF g, ' Š# " G÷ +X(© ±# \$ é C Î)à0P öGý \* È v5jL\$ • , > n È \  
·, ' 3.1 8² 6 JB 4öB\$ >F ZL NÈ Ä F È Weerasekera 1y ê, ' é# XD DZ & +X ¶ \* ¾  
(© ±, ' é# È v X\$! Ö "r@ & ¢ 0 ? F y ÖB ÈF g Š-\$ Ö5 3+5 V • ¶ , W, 'AÑ1Ç  
0K0 ÈFP @Ct\$À, ' #šCi Ä } È \* ¾(© ± SLAM , '0P öGý \* é x ~"Ñ 9 È \ · 5 8  
\* ¾(© ±, ' -( jD DZ ¼ CNN \$! Ö `AÑ • Î)à ) 95\$)ß ³, '0P öGý \* Ä

#### 1.4 本文的主要内容

\ · k?±.D0!M' A0P öGý \*, ' ...- ?ö?ù SLAM é# È b j Ÿ5 ' ¼0P ö\$! Ö `AÑ T  
Z@ Ö \* È u 6 Y+X ¶ \* ¾(© ±, ' -( jD DZ ¼ CNN \$! Ö Ø Ý È 9 x, '5 8 ¶4ß ...  
, '1†+• ¼\$! Ö – • M # È \* \* ¾=½ 81†+•, '0P ö\$! ÖGý \* È Î)à ¶ ) 95\$ j Ÿ, '0P ö  
\* Q Ä

\ · § f, '5 ' ¹ Ä² ; Ö

1\ 01 û4ý ¶B.NÈ, ' .D0!6ü Ÿ ¼ ? y ÈF ¶ SLAM L NÈ, 'F Ø >?ò#{ Q » ú !  
... >.D0!)à(æ È! E \* ¶M' A0P öGý \*, ' ...- ?ö?ù SLAM .D0! È 0 >AêF ¶ \ ·, ' k?±  
µ é Ä

1\ ¼1 û4ý ¶-( j, ' @ Ÿ Q » > ) ± ..., 'G 6 µ é ! û4ý ¶ SLAM L NÈ, ' 4/y  
>~ /j é# È ú >1 H FG÷+X, ' \*6Aê \* .p È0 ? ¼ ^ H FL NÈ È j > ·, ' \*6Aê Š ö 7 Ä

1\ 91 û4ý ¶M' A0P öGý \*, ' ...- ?ö?ù SLAM é# , ' ¢ f \*6Aê v æ Èß À ¶ \* ¾(©  
±, ' ...- ?ö?ù SLAM X Î)à0P öGý \*, ' A H > H i Ä \* ¶@ ã0P öGý \*, ' 9 Z?±&é È  
! 6 [ bF 9 Z éM'F >|1Ç# AîAÑ Ä\ 1 Gy&éL@F ¶ \* ¾(© ±, ' -( jD DZ > >1 H F Q  
‡ È X(© ± G 6 È \* \* ¾45 • I, ' 1†+• È mGý ¯ Ç(© ± 6 3 ¾ ¢ Z j Ÿ È \$ -  
' k+k j Ÿ5 ' È ! E • Q x, 'B iG} „L” 1†+• È Î Ð ¶-( jD DZ, 'R± W Ä

1\ 1 û4ý ¶M' A0P öGý \*, ' ...- ?ö?ù SLAM é# j0P ö\$! Ö, '9ç >=½ 8Gý \*  
E÷0; Ä ' \* ¶ \* ¾ Resnet 5 ' , ' J j Ö\$! Ö `AÑ5•5 È!5 80ª#N §0 ° \_ ¼ J j Ö Q  
‡ •9ç ~ p : ; · Ÿ È w\$! ÖN'#{, '2î Ö Ä=½ 8Gý \*E÷0;63<• ` ¶ ...- ?ö?ù  
SLAM , ' j Ö Q2úL NÈ >\$! Ö ., ' =.ž È W È ! +X ™8ç . 7 , È 0 W0; Ö : ^ ¶5  
' Ÿ È Î)à ¶0P ö\$! ÖGý \* Ä



1\Ä1 û4ý ¶M' A0P öGý \*,' ...- ?ö?ù SLAM é# -( £ ÎP¼,'AîAÑ ¼ 6 À Äk?± 6  
@ 9 ZG 6 È1\ 0 ZG 6 \_-( jD DZ ¼L )ß x ì,'P¼Añ Ä1\ ¼ ZG 6 k?± )0P ö\$! ÖGý  
\*G 6,'Aô ` È k?±#¹ ú`\$! ÖGý \*7-Gÿ - , ' ò .ž Ê ÎP¼ È J/ý j Ö €"r@ é#  
, ' )" ÎP¼ ÈGý \*\$! Ö,'0P ö W ¼2î ÖAô ` ú Q ‡ 9 x W,'P¼Añ ÎP¼ Ä 0 > 0 ZG 6  
)3+5 ¢ f,'F >|FO Ö Š \* ¶Aô ' È!B 4ö" E³ ¶\$! ÖGý \*E÷0; ] = <"r@ é# , 'FO Ö  
>2î Ö Ä

## 2 相关基础理论与背景知识

### 2.1 相机模型与对极几何

#### 2.1.1 针孔相机模型

针孔相机模型是SLAM中最重要的基础理论之一。它描述了一个理想化的相机模型，其中光线从一个点（物点）通过一个点（光心）投射到一个平面（像平面）上。这个模型可以用于理解相机成像的基本原理，并为后续的相机标定和视觉SLAM算法提供理论基础。

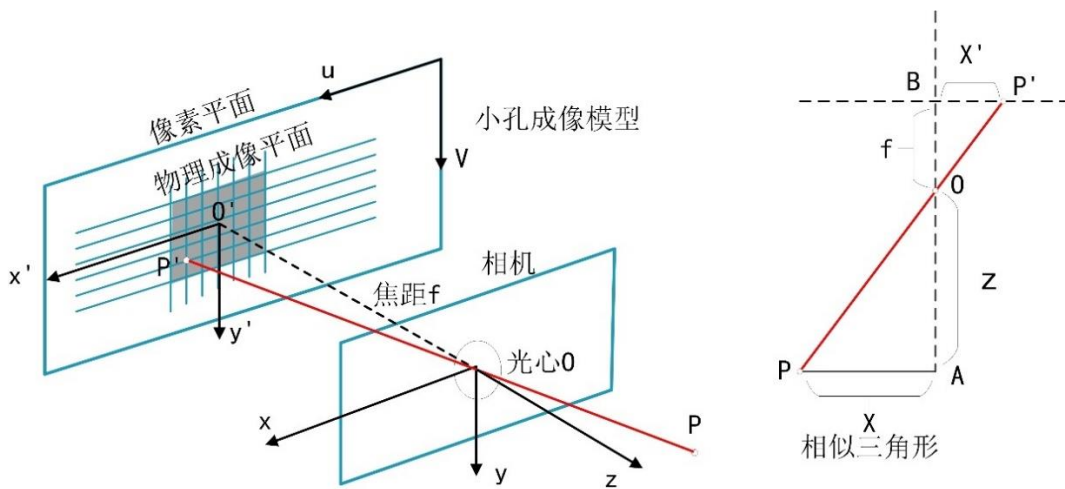
在针孔相机模型中，我们通常使用以下坐标系和参数：

- 世界坐标系**：通常表示为  $(X, Y, Z)$ ，原点为  $O$ 。
- 相机坐标系**：通常表示为  $(x, y, z)$ ，原点为光心  $O$ 。
- 像平面坐标系**：通常表示为  $(u, v)$ ，原点为像平面上的主点  $O'$ 。
- 焦距**：表示为  $f$ ，即光心  $O$  到像平面的距离。

根据相似三角形的原理，我们可以推导出物点  $P(X, Y, Z)$  在像平面上的投影点  $P'(u, v)$  的坐标关系：

$$\frac{u}{f} = \frac{X}{Z}, \quad \frac{v}{f} = \frac{Y}{Z}$$

这个公式表明，像平面上的坐标  $(u, v)$  与物点在世界坐标系中的坐标  $(X, Y, Z)$  之间存在线性关系。这个关系是相机标定和视觉SLAM算法的核心基础。



2.1 针孔相机模型  
Fig. 2.1 The pinhole camera model

$w\hat{A}i\&éP=(X,Y,Z,1)^T$  \_-(j ∈ 73+ ; , ' Z 95\$&é , ' !!Q ∈ 7 ' ? ÌÿE÷-(j y  
 ó > X @ ÿ £M' : , ' Å j&é j  $P'=(u,v,1)^T$  j ÿ3P ∈ 73+ ; , '>~ /j Ä i ž @ ÿE÷0; ], '  
 ... £3+ Ø Ç Ö

$$u = \frac{f_u X}{Z} + u_0 \quad \text{Ä2.1 Å}$$

$$v = \frac{f_v Y}{Z} + v_0 \quad \text{Ä2.2 Å}$$

! ] È  $f_u \tilde{A} f_v$  \_ 6 [ ÿ3P&é í ÈQ j ... }, "VD >~ /j ÈÄ $u_0, v_0$  Å \_ k&é X . ÿ ÿ3P ∈  
 73+ ; , '>~ /j Ä-(j X @ ÿE÷0; ]+a ¾.œ & \DÛ F | ³ 3P J ,8\$+ " , ' x+O È" & a  
 M0?±F >|+ " Q!" Ä vF Gü wAî-(j @ ÿE÷0; ]"Ñ 9 +O+ " Ä Y+X !!Q ∈ 7, '>~)à '  
 ? 6 ? Ä 2.1 Å ¼ Ä2.2 Å É @. Le, '>~ /j Ö

$$Z \begin{bmatrix} u \\ v \\ 1 \end{bmatrix} = \begin{bmatrix} f_u & 0 & u_0 \\ 0 & f_v & v_0 \\ 0 & 0 & 1 \end{bmatrix} \begin{bmatrix} 1 & 0 & 0 & 0 \\ 0 & 1 & 0 & 0 \\ 0 & 0 & 0 & 1 \end{bmatrix} \begin{bmatrix} X \\ Y \\ Z \\ 1 \end{bmatrix} \quad \text{Ä2.3 Å}$$

! ] È1y ? #Eé, '1\ 0 Z. Le0 j-(j, ' µ ò. Le È9 P \_ F+| ∈ 7 ; , '&é È IM0?±4ÿ  
 E÷ 0 Z J f ' 6 !Eœ F `-(j ∈ 7 ; ÄF g, ' 0 ZEœ '. Le0 j-(j, ' F ò. Le È k  
 ?±+a ûEœ ¼ £0+ TG 6 Ä p -(j Q », ' \$ 08\ ' ? j Ö

$$ZP' = K \begin{bmatrix} R_{cw} & t_{cw} \\ 0^T & 1 \end{bmatrix} P_w = KT_{cw} P_w \quad \text{Ä2.4 Å}$$

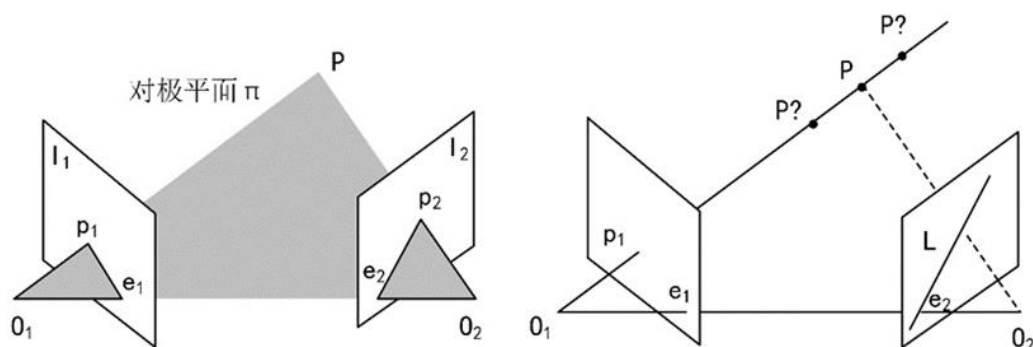
:M', ' Q »>~ /j F+| ∈ 73+ ; , ' 95\$&é  $P_w, ' \frac{1}{4} \propto @ \ddot{y}E\div 0; \ddot{E} ! ] \ddot{E} \quad T_{cw} = [R_{cw} \quad t_{cw}]$   
 >~ /j!W ? '. Le È  $R_{cw}$  >~ /j ûEœ. Le È  $t_{cw}$  >~ /j £0+ AGÿ Ä

## 2. 1. 2 对极几何与基础矩阵

X 2.1 8² ] û4ý ¶-(j Q » È#¹ ú ¶ T ZGý?±, '. Le È 0 Z-(j µ ò. Le ÈFJE÷ 7  
 È1Ç# 9ç È 0 Z \_-(j F ò. Le È>~ /j, ' \_ = <?ö@ ; , ' } /Eœ ' Ä \8² 6 û4ý J  
 ?ö . ... ], ' \*.p) ± ... Ä) ± ... ÿF, ' \_ < 0 j ÿ = <?ö@ , ' ... ' £3+ Ä²  
 . 2.2 p/j È O₁ ÈO₂ 6 [ \_ = <?ö@ ; , ' -(j y ó È £M' I₁ ÄI₂ \_ ) Ä, ' @ ÿM' Ä A  
 0 O₁O₂ j \*4ï È \*4ï > @ ÿ £M' I₁ ÄI₂, ' Ô&é e₁ Äe₂ Ê y j) ± &é Èp₂e₂ 0 j p₁ X I₂  
 : ) Ä, ' ) ±4ï È <\*6 Èp₁e₁ 0 j p₂ X I₁ : ) Ä , ' ) ±4ï Ä P j 95\$ j ÿ ], '&é È >

$O_1 O_2$  ' @, ' £M'0 j ) ± £M'     $\ddot{A}$      $p_1, ' )$   $\ddot{A} \& \acute{e}$      $p_2 \times I_2$  ], ' )5ž Z. & È08\ ò á ; È

A



. 2.2 ) ± ...

Fig. 2.2 The epipolar geometry

FJE÷(© ± iG} • L3R □ P . ÿ È v \_ X ) ±    ' &4Ö • ; È A    .     $p_1, ' )$   $\ddot{A} \& \acute{e}$  0 È

:m X ) ±4ĩ L : È 9 ¶F Z xP¼ a7- W W ÿ A L3R &L\$     $\ddot{A}$

wAî P X I1  $\ddot{A}$  I2 ;, ' )  $\ddot{A} \& \acute{e}$  j     $p_1 \ddot{A} p_2$  È i ž :8² û4ý, ' -( j Q »    Ç    Ö

$$s_1 p_1 = KP, s_2 p_2 = K(RP + t) \quad \ddot{A} 2.5 \text{ Å}$$

F Gü wAî 1\ 0 Z-( j € 73+ j F+| € 73+ È T Z-( jL\$, ' ' +a    R È t > ~/j  $\ddot{A}$  f ¯ + X

U€!Q € 7 & È A    6 : ? É @ ; M', ' ' ? Ö

$$p_1 = KP, p_2 = K(RP + t) \quad \ddot{A} 2.6 \text{ Å}$$

$$x_1 = K^{-1} p_1, x_2 = K^{-1} p_2 \quad \ddot{E} \text{ £Eœ F ` , 0 F € 73+ ; È } \text{ Ç Ö}$$

$$x_2 = Rx_1 + t \quad \ddot{A} 2.7 \text{ Å}$$

TEé < & ^ t p )  $\ddot{A}$ , ' ý )0 . Le     $t^\wedge \ddot{O}$

$$t^\wedge x_2 = t^\wedge Rx_1 \quad \ddot{A} 2.8 \text{ Å}$$

1y ? TEé < & ^  $x_2^T \ddot{O}$

$$x_2^T t^\wedge x_2 = x_2^T t^\wedge Rx_1 \quad \ddot{A} 2.9 \text{ Å}$$

1y ? Eé  $x_2^T t^\wedge x_2 = 0$  È j     $t^\wedge x_2, ' 5 \grave{ } > \text{AG} \ddot{y}$      $x_2^2 - \$ \ddot{E} p$     T65, ' µ0 j    0  $\ddot{A}$  0 > Ç ` Ö

$$x_2^T t^\wedge Rx_1 = 0 \quad \ddot{A} 2.10 \text{ Å}$$

6 p1  $\ddot{A}$  p2 V • : ? Ç    Ö

$$p_2^T K^{-T} t^\wedge RK^{-1} p_1 = 0 \quad \ddot{A} 2.11 \text{ Å}$$

œ ? Ä2.10 Å ¼ Ä2.11 Å a \_ ) ±4Ö • , ' T/y ' ? È A F 0!•1° F ÈF Gü  
 $E = t^{\wedge} R \text{ È } F = K^{-T} t^{\wedge} R K^{-1} \text{ È } \text{I} \ddot{\text{O}}$

$$x_2^T E x_1 = 0 \text{ È } p_2^T F p_1 = 0 \quad \text{Ä2.12 Å}$$

X J?ö . ... ] A 6 E 0 j \CX. LeÄ Essential MatrixÄ F 0 j \*.p. LeÄ Fundamental  
 Matrix Å Ä T65 {L\$, 'Eœ F £3+ j  $F = K^{-T} E K^{-1}$  Ä

### 2. 1. 3 本质矩阵分解

X 2.1.2 8² ÈB 4ö û4ý ¶ ) ±4Ö • , ' Ø ,E÷0; È Ç. X T Z?ö .L\$ È iG}, '(©  
 ±&é ÄB G-% Cã œ ? Ä.12 Å Ä ¾ \_ È X!" \*.p : È A M0?± ® ` Š O, ' iG}&é ) a  
 "r@ T Z?ö@ ;, ' ' Ä j \*.p. Le ¼ \CX. Le T65 p\*6Aê : •B\$ \_1y ' , ' ÈF  
 Gü a \CX. Le j » ÄwAî A "4ÿ9ç ÇCã O, ' &é ) È X!" \*.p : "r@ \CX. Le ! ' =  
 \* ûEœ. Le ¼ £0+ AGÿ Ä

F GüG÷+X4ÿ ""r@ é# ›&é# Ä Eight-point-algorithm Å<sup>[39]</sup> •F >| \CX. Le, "r@ Ä  
 63<• 0 ) iG}&é  $x_1 = [u_1 \quad v_1 \quad 1]^T$  ¼  $x_2 = [u_2 \quad v_2 \quad 1]^T$  Ä j , 0 F ∈ 73+ ; , ' >~ /j Å Ä+a )  
 ±4Ö • . Ö

$$(u_1, v_1, 1) \begin{pmatrix} e_1 & e_2 & e_3 \\ e_4 & e_5 & e_6 \\ e_7 & e_8 & e_9 \end{pmatrix} \begin{pmatrix} u_2 \\ v_2 \\ 1 \end{pmatrix} = 0 \quad \text{Ä2.13 Å}$$

6 \CX. Le E ... 0 @ AGÿ ' ?  $e = [e_1, e_2, e_3, e_4, e_5, e_6, e_7, e_8, e_9]^T$  È Ó xÄ2.13 Å? É @ Ö

$$[u_1 u_2, u_1 v_2, u_1, v_1 u_2, v_1 v_2, v_1, u_2, v_2, 1] \cdot e = 0 \quad \text{Ä2.14 Å}$$

6 ! &é ) É ` 0C§ È Ç ` ² ;4ï W é0;4ö Ö

$$\begin{pmatrix} u_1^1 u_2^1 & u_1^1 v_2^1 & u_1^1 & v_1^1 u_2^1 & v_1^1 v_2^1 & v_1^1 & u_2^1 & v_2^1 & 1 \\ u_1^2 u_2^2 & u_1^2 v_2^2 & u_1^2 & v_1^2 u_2^2 & v_1^2 v_2^2 & v_1^2 & u_2^2 & v_2^2 & 1 \\ \vdots & \vdots & \vdots & \vdots & \vdots & \vdots & \vdots & \vdots & \vdots \\ u_1^8 u_2^8 & u_1^8 v_2^8 & u_1^8 & v_1^8 u_2^8 & v_1^8 v_2^8 & v_1^8 & u_2^8 & v_2^8 & 1 \end{pmatrix} \begin{pmatrix} e_1 \\ e_2 \\ e_3 \\ e_4 \\ e_5 \\ e_6 \\ e_7 \\ e_8 \\ e_9 \end{pmatrix} = 0 \quad \text{Ä2.15 Å}$$

$f_3 + \dots$  Le, '0 j 8 : ÈFÓ x a @ Ç \CX. Le E Ä f9ç Ç E > È FJE ÷ w 2 l 6 @  
 Ä Singular Value Decomposition È SVD Ä • 6/ë \* ûEœ R ¼ £0 + t Ä) E F > | w 2 l 6 @  
 > Ç Ö

$$E = U \Sigma V^T \quad \text{Ä 2.16 Ä}$$

) ¾ E 7-, ' R Èt j Ö

$$t_1^\wedge = UR_z \left( \frac{\pi}{2} \right) \Sigma U^T, R_1 = UR_z^T \left( \frac{\pi}{2} \right) V^T$$

$$t_1^\wedge = UR_z \left( -\frac{\pi}{2} \right) \Sigma U^T, R_1 = UR_z^T \left( -\frac{\pi}{2} \right) V^T \quad \text{Ä 2.17 Ä}$$

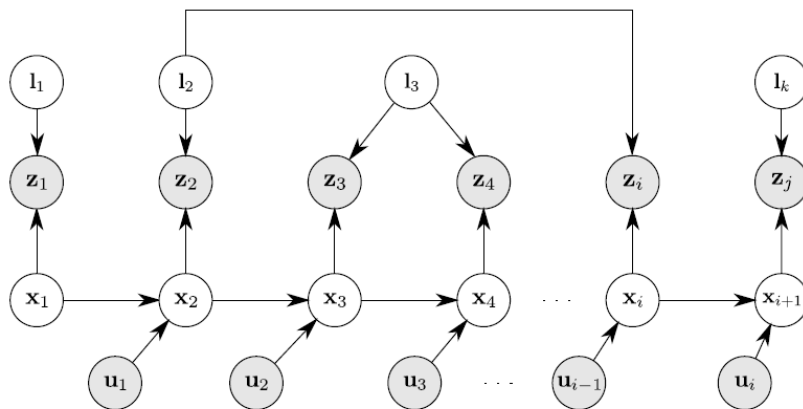
ø j E > -E 1y ' È u ^ X /ý 7-, ' õ å È v 9 04ô! ".ž, '@ Ä F Gü A M0?±  
 + ?F9 0 Z 95\$ & é V • /ý õ å È "r `B & é X T Z ?ö@ ;, '\$! Ö È ! Añ T Z\$! Ö l  
 G- j! " ÈFÓ x ) Ä, '@ a \_! ".ž, '@ Ä

## 2.2 SLAM 的图表示

SLAM L NÈ > Û é ï ` > /j @ J/ý . Q » È ) ¾ = <, ' SLAM L NÈG ÷ + X, ' Q »  
 • 9 2 È k?±, ' . > /j é# 9 Ø 1CM & ß5•5 È € . ¼ Pœ D0 [L¿ j j Ä

### 2.2.1 动态贝叶斯网络

Ø 1CM & ß5•5 Ä Dynamic Bayesian Networks È DBNs Ä \_ 0/ý 9 A ) ß . È + X • > ~  
 /j & L\$ ÍC†, ' L¿ j Gÿ ú GÿL\$, ' ' & ÍC† £3+ Ä FJ h õ å ; È + X T/ý2 « » , ' 8² & é  
 • j 6 ?ò# { ¼ = ?ò# { Gÿ Ä F È = ?ò# {, ' Gÿ • > Û0 Æ LÄ ; ÿ F % Æ X Gÿ Ä . 2.3  
 ... /j ¶ \* ¾ Ø 1CM & ß5•5 > /j, ' SLAM 5 ' È ! j È & 8ø8² & é > /j ?ò# { Gÿ



2.3 SLAM L NÈ, ' Ø 1CM & ß5•5 > /j

Fig. 2.3 The SLAM problem represented as a dynamic Bayesian network

Ä £ P O ~, '# {Gÿ l Ä È, -8ç8²&é >~ = ?ò#{, 'LÀ;ÿ Gÿ Ä » ² j ~ ê, ' (æ 1 ÈD 7  
&é, ' }5ž Ä Ä + ? 0 ' 9 AEé>~ /j T Z8²&éL\$, ' ' & ÍC† È XF /ý>~ /j ; È SLAM L NÈ  
k?± \_ X5 È?ò#{, ' ' & ; È Ø Ý \*LÀ;ÿ Gÿ Ä

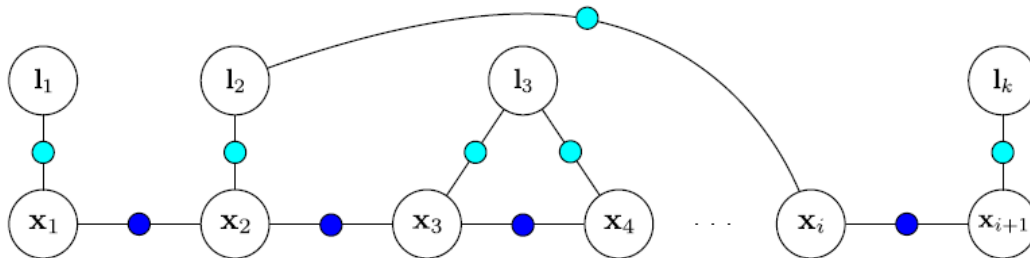
### 2.2.2 因子图

6 V 9 J Z Gÿ, ' = r - F > | € 6 @ È Ç ` J Z pG - È + X 0 Z ¼ G . • >~  
/jF g, ' 6 @ E ÷ 0; È 0 { j € . Ä Factor Graphs Ä Ä 0 Z ~ p - 6 @ @ J Z pG -  
, ' 0 ÈF È pG - ¼ Gÿ a + X € . >~ /j Ä F /ý M # , -, ' Ä + X ` ²) · L  
NÈ : È » ² È SLAM L NÈ ] # ? ± ` AÑ, ' 6,, 8 ²) · 6 3 a >~ Eî @ J Z € L\$, ' ^ 0 Ö

$$P(X_T, M | U_T, Z_T) = \prod_i P(x_i | u_i, x_{i-1}) \cdot \prod_{k,i,j} P(l_k | x_i, z_j) \quad \text{Ä2.18 Ä}$$

! ] l\_k >~ /j, ' \_ ` . M ] ... ZD 7&é, ' }5ž Ä

€ . 5 [ T /ý2 « », ' 8²&é Ö Gÿ8²&é ¼ + X • ÿF ²) · £3+, ' - 8²&é Ä . ], ' Eé  
, -, ' >~ Eî ¶ 8²&éL\$, ' ÍC† £3+ È j i ž ¼ G ., ' È y ÈEé k \_ > 0 Z Gÿ8²&é ¼ 0  
Z - 8²&é - (F Ä X SLAM 6ü ÿ ] È 0 /ý2 « », ' 8²&é>~ /j, ' \_ Z. Gÿ Ä j ~ ê, ' (æ 1  
¼ ` . &é, ' }5ž Ä È 02 « 8²&é >~ ¶ ³ {L\$, ' £3+ Ä . 2.4 \_ . 2.3, ' € . >~ Eî



. 2.4 SLAM L NÈ, ' € . >~ /j

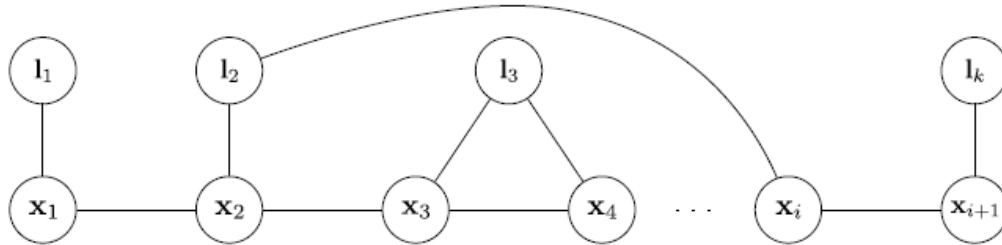
Fig. 2.4 Factor graph representation of the SLAM problem

' ? È W, ' 8²&é>~ /j, ' \_ Z. , ' j ~ ê (æ 1 Gÿ ¼D 7&é Gÿ È Gÿ8²&éL\$, ' ²) · £3+  
+ X ?, ' 8²&é>~ /j Ö; 8ç>~ /j } /L\$, ' GÜ0; AÑ £3+ ÈM, 8ç>~ /jD 7&é ¼ (æ 18²&éL\$, ' ?ò#{  
£3+ Ä

### 2.2.3 马尔科夫随机场

¼ € . , ÿ ÈPœ D0 [L¿ j j Ä Markov Random Fields, MRF Ä \_ [ 9 Gÿ8²&é  
, ' A . È MRF ] Eé, ' 5 ' ~ ¼ € . ], ' Eé 0 g È \_ 0, ' j [ X ¾ MRF ] "Ñ 9 -  
8²&é È p È Pœ D0 [L¿ j j ] p 9, ' Eé • £6,,, ' G- \_ Gÿ8²&é È l>~ /j, ' \_ GÿL\$

, ' ÍC† £3+ Ä § f •B\$ È X5 Ê p 9! Gÿ, ' õ â ; È T Z =-(Fë, ' Gÿ \_ ' &) 0û  
 , ' È £ ) Z Gÿ •B\$ È º ì º, ' Fë Õ Gÿ "5 Ê ÈFÓ xB Gÿ-( ) ¾! p 9 Gÿ '  
 &) 0û Ä . 2.5 \_ . 2.3, ' Pœ D0 [L¿ j j], ' >~Eî ' ? Ä



. 2.5 SLAM L NÈ, 'Pœ D0 [L¿ j j]>~/j

Fig. 2.5 Markov random field representation of the SLAM problem

Pœ D0 [L¿ j j], ' Gÿ8²&é>~/j j ~ ê, '(æ 1 ¼D 7&é, ' }5ž È T Z8²&éL\$ º ì  
 ^ X ' & ÍC† £3+ È l>Û 0 ' AEé pF Ä # ? ` È € . ] ^ X ; ý ... Z8²&é, ' x  
 P¼ € È v \_F XPœ D0 [L¿ j j] \_ = 7- \*)à, ' È • a \_B\$ MRF =7- ) xP¼4Ö •  
 £3+ \* Q Ä

## 2.3 最小二乘优化

### 2.3.1 最小二乘优化问题概述

0 ? ¼ ^ H F Ä least squares optimization ÄL NÈ \_ 08\ H FL NÈ, 'Gý?±4ô @G 6 È  
 SLAM >1 H F, ' h ó a \_ ' \* 0 ? ¼ ^ L NÈ Ä X 0 ? ¼ ^ H F ] È l- 7 - >~  
 /j @ 03+ G £ éN©, ' ¼ Ö

$$F(x) = \frac{1}{2} \sum_i^n f_i(x)^2 \quad \text{Ä2.19 Å}$$

F Gÿ - f\_i Ê y ¶ 0 Z P 4 f\_i ÖR^n → R ÈF /ý œ ? F é# X , JL NÈ ]G- +X ` Ä  
 ) ¾ œ ? Ä 2.19 Å È A Gý ' \* º, ' AGÿ ' ? È \$1°#1, ' É @ Ö

$$F(x) = \frac{1}{2} f(x)^T f(x) \quad \text{Ä2.20 Å}$$

: ?, ' 0 H@ ' ? >~Eî @ Ö

$$x^* = \arg \min_x F(x) = \arg \min_x \frac{1}{2} f(x)^T f(x) \quad \text{Ä2.21 Å}$$



## 2.3.2 线性最小二乘优化

4i W 0 ? ¼ ^ õ å ; È p 9 -  $f_i > G\ddot{y} \times G - \_ @4i W £3+ È£ - \_ G\ddot{y},'$   
4i W4ô 8 Ö

$$f_i(x) = a_{i,1}x_1 + a_{i,2}x_2 + \dots + a_{i,n}x_n - b_i \quad \text{Ä2.22 Å}$$

# ? `F G ü É @ ¶ -b\_i 6< = \\_ +b\_i È \\_ j ¶ >M' Ø , é ĩ È Í'f = a 08\ W Ä X5 È œ ?

Ä2.22 Å, ' õ å ; È A E« C, ' 6 J Z  $f_i$  Ð X 0 C§ ' @ 0 Z A G\ddot{y} ' ?

$f(x) = (f_1(x), f_2(x), \dots, f_n(x))^T$  Ä'f > È 6 p 9, '3+  $a_{i,j}$  ¨\*6`. Le A ] b\_i ¨\*6` A G\ddot{y}

b ] È É @ \$1°#1, ' ' ? Ö

$$f(x) = Ax - b \quad \text{Ä2.23 Å}$$

j ¶"r@ 4i W 0 ? ¼ ^L N È È A M0?± "r \* F(x), ' , -  $F'(x)$  Ö

$$F'(x) = \frac{\partial F}{\partial x} = \frac{\partial(\frac{1}{2} f^T f)}{\partial x} = f^T \frac{\partial f}{\partial x} \quad \text{Ä2.24 Å}$$

i žK. ?"r ,# \\_ È 04ø Ç , - j Ö

$$F'(x) = (Ax - b)^T \cdot A \quad \text{Ä2.25 Å}$$

Y+X, - j 0 È"r@ \\_ 0 H&é È Ø , \* Ö

$$A^T A x^* = A^T b \quad \text{Ä2.26 Å}$$

1y ? Ä2.26 Å \\_ 7 ö, !" ? ô é0; ' ? È ) ¾ !" ? ô é0; , "r@ 9 ; /ý é# Ö

Ä1 Å ²ì A^T A \\_ F6, ' È FÓ x - \$ Ö"r Ç 0 H@  $x^* = (A^T A)^{-1} A^T b$  Ä

Ä2 Å 0/ý \$ -, ' é# \\_ +X QR 6@ 6. Le A 6@ @ 0 Z : 9@ . Le R ¼ 0 Z  
!" ÔLe Q È £ A = QR È \\_  $x^* = R^{-1} Q^T b$  ÄF /ý@ # È - (" ¾ é# 1 Å8²-1 ¶ WG\ddot{y}, ' AÑ1Ç  
G\ddot{y} È D § 9 \$ -, ' \\_ 0c È W Ä

Ä3 ÅL" ¶ QR 6@ F È ) A^T A \\_ +X Cholesky 6@ È 6 ! 6@ @ LL^T Ä'f > E  
• J L\$ G\ddot{y} y È@ é0;  $Ly = A^T b$  È 0 > È FJE ÷  $L^T x = y$  "r \* 0 H@  $x^*$  ÄB'# ? F G\ddot{y}, ' L  
\\_ 0 Z : 9@ . Le È D )@ 4i s3P ~ j!" Ä QR 6@ - (" È Cholesky 6@ , ' FO Ö \$ È  
v \\_ ! \\_ 0c È W - ( ) ~ 0 È Ä

## 2.3.3 非线性最小二乘优化

4i W ¼ M Ž 4i W 0 ? ¼ ^ H F, ' - 7 \\_ 08\$, ' È² œ ? Ä 2.21 Å p/j È j [ X -  $f_i(x)$   
> G\ddot{y} \times L\$, ' £3+ È9 \\_ 4i W, ' È ²1y ? Ä 2.22 Å \\_ 0 4i W 0 ? ¼ ^L N È È ý { £ j M Ž

4ĩ W 0 ? ¼ ^L NÈ Ä !” ÈMŽ4ĩ W 0 ? ¼ ^ L NÈ =7- OFJE÷!“?ô é0;,’ ’ ?- \$ Ō”r@ È  
6< \_ Ä+XF # ë@ Ö OÆ xF9 Ê 0 Z M û&é ÈFJE÷ = Ý,‘F È ¯ ÇB &é = Ý A ~ p 0  
H@ M•F Æ< D 9 f- 7 - j ( F ( & È7- Añ Ç ` ~ p 0 H@ Ä 08\ õ å ; È  
FJE÷F # ”r` , ‘@ \_ - 7 - , ‘ 0 Z pG 0 H@ ÈF9 = < , ‘ M û l x\_0 ÈF ”r@ , ‘  
pG 0 H@ x\* • J = < Ä

£ ¾MŽ4ĩ W 0 ? ¼ ^L NÈ,‘F ”r@ é# 9 , J È » ² ß Ö ;L}# È(‹N¯# ÈQ ß  
-(‹N¯# 1y ÈXB 4ö û4ý { } ÈA x”r \*- 7 - F , ‘ 0Lf , ¼ ¼Lf , Èø 0 j F  
, ‘Lõ 4” . Le Ä Jacobian Ä ¼#§ . Le ÄHessian Ä Ä j Ö

$$F(x) = \frac{1}{2} f(x)^T f(x) = \frac{1}{2} \sum_i f_i(x)^2 \quad \text{Ä2.27 Ä}$$

D F , ‘ • p 6 ² ; Ö

$$\frac{\partial F}{\partial x_j} = \frac{1}{2} \sum_i \frac{\partial f_i^2}{\partial x_j} = \sum_i f_i \cdot \frac{\partial f_i}{\partial x_j} \quad \text{Ä2.28 Ä}$$

£ Ç F , ‘ Jacobian . Le j Ö

$$F'(x) = J_F = J_f^T f \quad \text{Ä2.29 Ä}$$

) F 5 5 ”r ¼Lf , È Ç ` ) Ä, ‘ Hessian Le Ö

$$F''(x) = H_F = J_F' = \ddot{A} J_f^T f \mathring{A} = J_f'^T f + J_f^T f' = H_f^T f + J_f^T J_f \quad \text{Ä2.30 Ä}$$

ß Ö ;L} # ß Ö ;L} ÄGradient Descent Ä 0- \$ Ō , ‘F 1†+• È+X • + ® + ? p  
' - , ‘ ± ? l&é Ä i ž ß Ö , ‘ Ê y Ö ∇F(x) = F'(x) = J\_F È A . ' - F ;  
L} 0 , ‘ é A \_ ß Ö , ‘CO é A È Δx = -J\_F 0 j - F X x 4 , ‘ ;L} é A Ä ß Ö ;L}#  
, ‘ü > 1†+• a \_ = Ý, ‘ A ß Ö , ‘CO é A 0+ Ø- \$ 8# f ‹ ` ± l&é Ä ‘f6 < È- \$ Ō ¯+X -J Œ j  
F E÷0; ], ‘ FGÿ È £ x\_{n+1} = x\_n - J =7- O AñF E÷0; ] ' - \_ = Ý ;L} , ‘ È  
!” ÈM0?± .ž Ê!•K¯ α , ‘ l È ¯ Ç F(x\_n + αΔx) < F(x\_n) ÄFJ hG÷+X4ĩ L3R1†+••.ž Ê  
!•K¯ α , ‘ l Ä 0 > È ß Ö , ‘ ;L}Gÿ j Δx = -αJ\_F = -αJ\_f^T f(x) È ▯ Z ß Ö ;L}# , ‘ —>|  
E÷0; j Ö

$$\text{Ä1 Ä} \text{Ä} f \} \&é x_n , ‘ ß Ö ;L} é A -J_F \text{Ä}$$

$$\text{Ä2 Ä} \text{Ä} FJE÷4ĩ L3R1†+•.ž Ê f \} , ‘F !•K¯ α \text{Ä}$$

$$\text{Ä3 Ä} \text{Ä} Gý = \text{Ä} \text{Ä} 1 \text{Ä} x_{n+1} = x_n - \alpha J_F - \$ ` f ‹ \text{Ä}$$

m1Ñß Ö ;L}# é C Î)à D7- O ®`- 7 - , ' 0 ? l&é È v f <FO Ö Z ' Ä

(N# (N# Ä Newton's Method Å 0/ý1° ... 9 x, ' - "r i é# Ä X ... Gö ò à  
; È wAî 0 Z M û l x<sub>0</sub> È FJE ÷ Gý = AÑ1Ç ;M', ' œ ? È Ç ` Þ - g(x), ' i Ö

$$x_{n+1} = x_n - \frac{g(x_n)}{g'(x_n)} \quad \text{Ä2.31 Å}$$

f'f È X H F J L N È J A ! = \_ ? ± "r @ - 7 - , ' i È 6 < \_ ^ , ' 0 ? l&é Ä v \_ È FJ  
E ÷ 1° ..., ' 6 Ä È . - 7 - , ' , - F', ' i a \_ A M0? ± ®, ' ± l&é Ä p È ) ¾  
0 Z ¼ Lf , , ' - 7 - F È FJE ÷ "r @ ! , - F', ' i • ž È ± l&é Ä £ Ö

$$x_{n+1} = x_n + \Delta x = x_n - \frac{F'(x_n)}{F''(x_n)} \quad \text{Ä2.32 Å}$$

) ¾ J Gö- 7 - • B\$ È A +a ;M', ' ? € "r \* Î Gö Δx Ö

$$H_F \Delta x = -J_F \quad \text{Ä2.33 Å}$$

J<sub>F</sub> ¼ H<sub>F</sub> 6 [>~ /]- 7 - F X f } Gö x<sub>n</sub> ; , ' Jacobian . Le > Hessian . Le Ä ? ± MŽ

4i W H F L N È , ' - 7 - \_ ¼ Lf Þ , ' È A a G ÷ + X (N# "r @ È ! = L € È ! - 7

- \_ £ é ¼ , ' ' ? È œ ? Ä 2.27 Å p/j Ä X 0 ? ¼ ^ H F E ÷ 0 ; ] È F(x) = \frac{1}{2} f(x)^T f(x)

& È ! Î Gö Δx , "r @ ^ ; Ö

$$(H_f^T f(x) + J_f^T J_f) \Delta x = -J_f^T f(x) \quad \text{Ä2.34 Å}$$

! ] È J<sub>f</sub> ¼ H<sub>f</sub> \_ - f , ' Jacobian . Le ¼ Hessian . Le Ä# ? ` 1y ? Ä 2.33 Å ¼ Ä2.34 Å

G- \_ ' ^ Ax = b , 4i W L N È È ~ + X 08 \ 7 ö é# "r @ È ^ Cholesky 6 @ Ä FJE ÷ Î P ¼

)à È ß Ö ;L}# X ;L}E ÷ 0 ; ] = Ý , ' • M79' È < (N# , ' ;L}D ' ! \$ Ð - \$ Ö È

f < \$ Ä v \_ (N# , ' AÑ1Ç = r È M0? ± "r @ Hessian . Le È 9 È ò à ; È - 7 - =

§ 7 ¼ Lf Þ W Ä

Q ß -(N# Q ß -(N# Ä Gauss-Newton Å# ö F2 + X ¾ ¼ ! Q- 7 - È £ 0 ? ¼ ^  
, ' ' ? È ^ Ä 2.21 Å p/j Ä B 1Ç# 6 f(x) X x 4F > | 0 Lf# ... 0 Ö

$$f(x + \Delta x) \approx f(x) + J \Delta x \quad \text{Ä2.35 Å}$$

j F(x) = \frac{1}{2} f(x)^T f(x) È 9 Ö

$$\begin{aligned} F(x+\Delta x) &\approx L_x \Delta x + \frac{1}{2} f(x) + J \Delta x^T \cdot f(x) + \frac{1}{2} \Delta x^T J^T J \Delta x \\ &= \frac{1}{2} f(x)^T f(x) + f(x)^T J \Delta x + \frac{1}{2} \Delta x^T J^T J \Delta x \\ &= F(x) + f(x)^T J \Delta x + \frac{1}{2} \Delta x^T J^T J \Delta x \end{aligned} \quad \text{Ä2.36 Å}$$

J > ~ / j x 4 - f , ' L õ " . Le ÄX x , ' F ë µ È ) - O Î , ' - 7 - 5 Ê F g 0 Z F I È  
A M 0 ? ± + ® 8 F 2 , ' Δ x ë 0 ? F ³ Ä , > n L\_x (Δ x) \_ ¼ ! Q , ' È p - \$ Ö F J E ÷ ,  
- j 0 È " r Ç ! ~ p 0 ? I Ö

$$\begin{aligned} 0 &= L'(\Delta x) = f(x)^T J + J^T J \Delta x \\ J^T J \Delta x &= -f(x)^T J \\ J^T J \Delta x &= -J^T f(x) \end{aligned} \quad \text{Ä2.37 Å}$$

: ? > 1 y ? Ä 2.26 Å 0 g È G - \_ 7 ö , ! " ? ô é 0 ; ' ? È + a 2.3.2 8² ] , ' é # F > | " r @ Ä  
# ? ` : ? E é , ' J^T f(x) £ \_ - 7 - F , ' 0 L f , È ¼ 1 y ? Ä 2.34 Å ) " ) à È  
Q ß - ( < N^-# ] ^ + X ¶ J^T J • F l - F , ' Hessian . Le Ä p Q ß - ( < N^-# = M 0 ? ± 8 á C i  
W G y A Ñ 1 Ç C t \$ Ä ë " r @ - 7 - , ' ¼ L f , Ä  
L - M 1 Ç # X : M' û 4 ý , ' p 9 F # ] È 9 ß Ö ; L } # A ñ = Ý ÿ ? ' -  
, ' l È ( < N^-# 9 X M • F 0 H @ & f < F O Ö } J , È f F / ë ± l & é & È F x ) . ~  
; È Q ß - ( < N^-# • < g M' d F g L N È È ³ > ( < N^-# , ' j [ X ¾ ^ + X Jacobian . Le • F  
l Hessian Le Ä Levenberg-Marquardt Ä L - M Å # j ¶ @ ã : F L N È È X F E ÷ 0 ; ] 7 '  
^ + X ß Ö ; L } ¼ Q ß - ( < N^-# , ' ; L } 1 † + • È E • ¶ L k l 3 + λ ! F J E ÷ ; é ? " r @ F E ÷ 0 ;  
], ' Î G y Ö

$$(J^T J + \lambda I) \Delta x = -J^T f(x) \quad \text{Ä2.38 Å}$$

² ì : M' é 0 ; , ' @ Δ x ^ Ç ' - ÿ ? È > Û Ö D ÿ ? L k l 3 + λ Ä » ² ^ 0.1 Ä  
1 Ç # 5 5 — > | x\_{n+1} = x\_n + Δ x Ä ( ý È ² ì Δ x ! " Ñ 9 ^ Ç ' - L } ~ È l Î W L k l 3 +  
λ Ä » ² È ^ 10 Å È f > 5 5 — > | Ä 2.38 Å \$ ` ® ` 0 Z 8 F 2 , ' λ ^ Ç ' - ; L } Ä  
f λ , ' l , W & È L - M # F l ¾ ß Ö ; L } 1 † + • È X F / ý õ å ; ? Ä 2.38 Å ' x k ? ± + a λ l  
ã È È ! " Ö

$$\Delta x \approx -\frac{1}{\lambda} J^T f(x) = -\frac{1}{\lambda} J_F \quad \text{Ä2.39 Å}$$

F a , 8 \$ ¶ X C O ß Ö é A : , ? , ! • K^- ; L } È £ È 0 F O ; L } 1 † + • Ä 0 é M' È ² ì λ  
, ' l , ? È l Ö

$$J^T J \Delta x = -J^T f(x) \quad \text{Ä2.40 } \text{Å}$$

F D Q ß-(«N<sup>-</sup>F 1†+•] ÎGÿ ? Ä 2.37 Å ¼ ~-( < ÄFJE÷ = Ý i Lk l3+ λ, ' W ?  
8 F2 Ä, ' X ß Ö ;L}1†+• ¼Q ß -(«N<sup>-</sup># ] 7 ' È<sup>-</sup> Ç L-M @ j, !REp, 'F H F  
1Ç# Ä

\8² k?± û4ý ¶ /ýMŽ4ï W 0 ? ¼ ^L NÈ, '@ # È³ , ' k?± j [ X ¾!ÿ!QF E÷  
0; ] + ® ÎGÿ, ' é ? = < È>~ 2.1 k5 ¶F /ý é#, ' Δx , "r@ Ä

>~ 2.1 MŽ4ï W 0 ? ¼ ^L NÈ ] = <F 1†+•, ' ÎGÿ.ž È

Tab. 2.1 Steps for different iteration strategies for nonlinear least squares problems

é#	ÎGÿ Δx
ß Ö ;L}#	$\Delta x = -\alpha J_f^T f(x)$
(«N <sup>-</sup> #	$(H_f^T f(x) + J_f^T J_f) \Delta x = -J_f^T f(x)$
Q ß-(«N <sup>-</sup> #	$J^T J \Delta x = -J^T f(x)$
L-M #	$(J^T J + \lambda I) \Delta x = -J^T f(x)$

4ï W 0 ? ¼ ^ Ž ¾ (L NÈ È7- O ® ` ~ p 0 H@ È'6< ÈMŽ4ï W 0 ? ¼ ^ ¢ ^ X J  
Z ± l&é ÈF<sup>-</sup> ÇMŽ4ï W 0 ? ¼ ^L NÈ \$ ÐLî "r@ Ä6< D ÈF H F1Ç# +a ¾ M û l  
, 'F9 = < J f < ` = <, ' ± l&é Ä # .ž È H F1Ç# f <, &é \_ ~ p 0 H&éF \_ pG  
± l&é È = <1†+• >Û<sup>-</sup>+X •5C@ B L NÈ V •, ' j ý È » ² È J!Q MB F9 = <, ' M  
û&é Ä m1ÑF 2« é# F ^ X 0 ÈL NÈ È vQ ß -(«N<sup>-</sup># ¼ L-M # "4ÿ X SLAM L NÈ, ' >  
1 H F ]>Û<sup>-</sup># G÷+X Äm1Ñ ÈRosen<sup>[40]</sup>1y ê \*<sup>-</sup>+X Powell's Dog Leg # • / Q ß  
-(«N<sup>-</sup># ¼ L-M # X SLAM ] Ä+X È v- } j! ' l"Ñ 9 >Û<sup>-</sup># G÷+X Ä

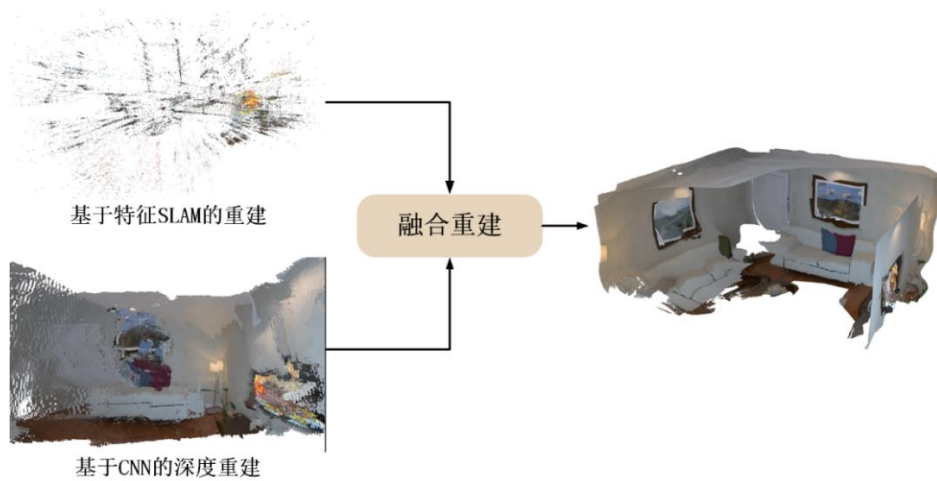
## 2.4 本章小结

\1 û4ý ¶?ö?ù SLAM L NÈ ]#¹ ú, ' -( £6ü Ÿ. Aö ¼ \*.p\*6Aê Ä/Æ x û4ý ¶-( j @  
ÿ Q » ¼ J?ö . ... \*.p È k?±#¹ ú SLAM }1, ' `AÑ Ä Ö-p p - rM' :L@F ¶  
SLAM L NÈ, ' T W Q » ÖF Ø >?ò#{ Ä 0 > p \*.p\*6Aê@ Ö û4ý ¶ SLAM >1 H FG÷  
+X, ' k?± £K^ ° \_ ÄFJE÷ \8², ' û4ý È) SLAM L NÈ 9 0 Z" E³ ~M', ' ¶@ È! j >5  
1 8² È 0 È, ' \*6Aê \*.p Ä

### 3 基于特征的相机跟踪

#### 3.1 关于单目视觉 SLAM 实现稠密重建的思考

X 1.3 8<sup>2</sup>] È "4ÿB\$ > SLAM.D0! ] `., 'Gý?± W È!F 0!•L@F ¶0P öGý \* ) ¾  
 ÎLu Ä+X, 'Gý?± ? y ÄG÷+X = <, ' P O ~ Î)à0P öGý \* È 4 9 Y : È vHα ¾ RGB-D -(  
 j > ü- -(j).œ &, ' ÍC† W j È D RGB-D -(j # +X ¾Ô F)ß ³ È6< ...- -(jF2+X  
 W j ÈÄ+X } ÿ -# Èp \* ¾ ...- ?ö?ù SLAM, '0P öGý \* = Ý EC§ £# Ä \* ¾ ...- ?ö  
 ?ùSLAM, ' é# k?± 9 T2« Ö \* ¾(© ±# ¼-\$ ÖD DZ# Ä p0P öGý \*, '@ Ö 6 À È-\$ Ö  
 D DZ# H F Î û ÿ3P&éL\$, ' Þ ÖB È=M0?± (© ± È\DU a Î)à" E³î.ž, ' z  
 0P ö ` . È p -( ) •B\$ \$ é C Î)à0P öGý \* Ä v \_ È ?± { =0P ö\$! Ö9ç , 'L NÈ È  
 \* ¾(© ±, ' ...- ?ö?ù SLAM 1Ç# X j ÿ0P öGý \* éM' H î > n È k?± 9 ² ; &é Ö  
 Ä1 Å-\$ ÖD DZ# \* ¾ Þ Ö 08\$ W wAÎ È X y— F W, ' õ å ; é C a x È =F2+X  
 ¾K~ &L\$F >|, ' j ~ ê3+5 Ä6<(© ±# = \_1° ..., ' \* ¾ Î û ÿ3P, ' Þ Ö ÿF >| iG} È  
 6< \_ +X2î óAîAÑ, '(© ± È p § 9 \$ -, ' y'— È j Ö È ûEœ1y = W Ä  
 Ä2 Å-\$ ÖD DZ# XD DZE÷0; ] -+X WGÿ = O2î.ž, '\$! Ö ÿ • `AÑ-(j, ' } / È  
 ^ X Ç %o Ä-(ý È \* ¾(© ±, ' é# Y+XQ 2î Ö, '00+¿ "&é ¼ @ / 1 `AÑ ÈFJ h õ å ; §  
 9 \$Q , 'R± W Ä  
 Ä3 ÅB 3\_0 ,8\$E~F)%20+ \_ p 9 SLAM 3+5 M' d, 'Gý?±L NÈ È6<L )ß ð#{E÷0;  
 7-E÷ 9 x, '5C@ F 0L NÈ V •, ' j ý Ä } 9 x, 'L )ß1†+• \_ \* ¾ . ÿ(© ±, 'Áy>» Q »  
 Äbag of words Å ÈF a ? £-p -\$ ÖD DZ# ?± # Î)àL )ß È õN«Gý à (© ± ÈF ~ =  
 7- Äp È-\$ ÖD DZ, '1Ç# 08"Ñ 9L )ßE÷0; ÈF • \_ ,8\$ !2î Ö ~ ¾(© ±# , ' 0 Z  
 Gý?± Î Ä  
 \* ¾ : Î È\ . Þ \* ¾(© ±, ' ...- ?ö?ù SLAM @ Ö • Î)à ) 3D j ÿ, '0P ö  
 Gý \* ÄFJE÷ 6 À k5 = <0P ö j ÿGý \* , '1†+• È Ç \*0P ö ` . `AÑ, '±3P 9 ÖQ 2î Ö, '  
 j ÿ ...5 ´ ¼MŽ5 ´ W j , '0P ö\$! Ö ÄF a?±"r A X Î)à0P öGý \* } 1,, ;M' 9  
 ZL NÈ Ö  
 Ä1 Å > g9ç Q 2î Ö, ' j ÿ ...5 ´ >-(j } / ÿ Î  
 Ä2 Å XMŽ5 ´ W j È > g `AÑ \*-() ö.ž, '0P ö\$! Ö Î  
 Ä3 Å9ç Ç j ÿ, '5 ´ ¼ ! j , '0P ö\$! Ö > È > g Î)à T65, '=½ 8 È F65B\$ È  
 > g 6F È0P ö, '\$! Ö ÿ › u ` j ÿ5 ´ j | mGÿ.ž =.d •5 ´ ÿ Î

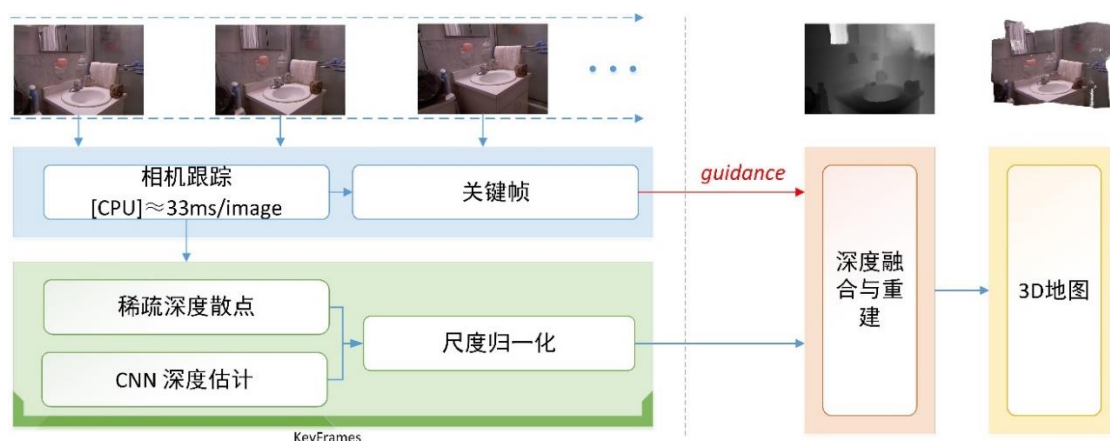


3.1 \*¾...-?ö?ù SLAM, 'OP öGý \* 1†+•

Fig. 3.1 The strategy of dense reconstruction based on monocular visual SLAM

0 éM' È > ! ÿ-\$ ÕD DZ# FÓ g Y+X = O2î.ž, 'OP ö\$! ÖF >| } / `AÑ È B = ² 6  
 -( jD DZ ¼0P ö\$! Ö `AÑ@ 6V ÈD DZG 6 mGÿ -+XQ 2î Ö, '\$! Ö "&é È0P ö\$! Ö `AÑ+a  
 0 Z Q ‡ Î)à ÄA )à \* ¾(© ±, -( jD DZ = ö ö È ¶2î.ž, ' } / ÈD DZE÷0; ]  
 x+Q '\$! Ö "&é 6 3 X j ÿ, ' ...5 ' : È£ 63<• Y+XF È00+¿, ' "&é • k+k  
 j ÿ, ' ...5 ' Ä 0 éM' È \$0 /Ž4ÿ5•5 X j ÿ, 'Q r ÿ ¼F >| ÿ3P4x [, '  
 , + ÑÄ² £M'# 4î `AÑ ÈB y 6 ¢ ¼\$! Ö .N#{ Å éM' "4ÿ Ç ¶, W, ' @ Ĭ Ä CNN  
 Ø Ý, '\$! Ö 08\ \_0P ö, ' È ~ p2î.ž, ' È(© [ \_ X £% F ~4é\*6 j È v \_ é C x+O Q  
 2ú, '\$! ÖÈé+| È # 9ç j ÿ5 ' 4i3R ÄF È(© W!" - > \* ¾(© ±, -( jD DZ-( Â>• È  
 ¾ \_ È ,8 f` CNN >Û+X • `AÑMŽ5 ' W j , 'OP ö\$! Ö Ä j ÿ5 ' ¼0P ö\$! Ö  
 9ç , 'L NÈG- "4ÿ Ç `@ ã È Ö ; • a \_ > g=½ 8F T/ý ÿ È \ . \* ¶ 0/ý \* ¾=½  
 81†+•, 'OP ö\$! ÖGý \* È , -, ' ^ ¶ j ÿ, '5 ' ÿ È ! ¼ @ ¶ ) ~ \$)ß ³, 'OP ö \*  
 Q È ¢ f, ' .D0! MD ². 3.1 p/j Ä

\ . \* ¶M' A0P öGý \*, ' ...- ?ö?ù SLAM é# Èp j ÿ5 ' ¼0P ö\$! Ö `AÑ T Z  
 @ Ö È u 6 Y+X ¶ CNN \$! Ö Ø Ý ¼ \* ¾(© ±, -( jD DZ È 9 x, '5 8 ¶4ß ..., '1†+•  
 ¼\$! Ö - • M # È Î)à ¶ 0P ö j ÿGý \* Ä ¢ Z3+5 5 [ ¶4ÿ ""?ö?ù SLAM, ' Q ‡ ¼ Î)à  
 0P öGý \* Q ‡ Ö \* ¾(© ±&é, ' iG} ÎGÿ ?"r@ -( j, ' } / È >1 = Ý H F `AÑ, ' } / ¼  
 00+¿, '\$! Ö "&é Ä \* ¾ £K^ W, 'OP ö\$! Ö `AÑ ú=½ 81†+• ÈL )ß Q ‡+X • ÿE«F >|E÷  
 0; ], 'B 3\_0 Äÿ Z Q ‡, ' k?± µ é ²; Ö



. 3.2 3+5 #q0; .

Fig. 3.2 The pipeline of the proposed SLAM system

Ä1 Å (jD DZ Ö<sup>-</sup>+X ...- -(j Æ j P O ~ È9ç j Y, ' . y z G ÄF >|D DZ { } È  
 x ) . y ŠN' 4\*6 Ö k?± 5 + " . !" È(© ± ð#{ ¼ yF ÄG÷+X ORB-SLAM ], ' \_  
 ? M û F+• È9ç Cã O, ' 95\$D 7&é È j >5, ' -(jD DZ Š ö 7 ÄD DZ k?± 6 @ T2« È  
 02« \_ WL\$D DZ È 02« \_D DZ pG ` . ÄD DZ E÷0; JFJE÷ 0 ? FGý Å jB Ç ` -(j  
 } / È !.ž È \_ V • £K^ W Ä £K^ W P • >1 > È J H F f } pG ` . ], ' p 9&é ¼  
 £K^ W, ' } / È ! T Y \_ V ^ X/ë5Ô, ' ` . &é ¼ Ç %, ' £K^ W Ä 0 > È FJE÷ 9@ F\$+ Ð  
 CãO J, ' D 7&é È5\$ 1-(jD DZ Ä

Ä2 Å CNN 0P ö\$! Ö ` ÄÑ Ö ) ¾ D DZE÷0; j.ž È, ' £K^ W FJE÷ CNN N'#{ ! ~ 6EØ  
 ), ' 0P ö\$! Ö Ä

Ä3 Å \* ¾ = ½ 81†+•, ' 0P ö\$! ÖGý \* Ö Y+XD DZE÷0; j x+O, ' Q 2î Ö " &é ¼ CNN N'  
 #{, ' 0P ö ~ 6EØ), ' \$! Ö . È ' FP\$! ÖGý \* - È ' = \* ¼ æ, ' 0P ö\$! Ö Ä

Ä4 Å L )ß ð#{ Ö Y+XD DZ { } , ' . y(© ± È \* ¾ Äý>» Q » Î)àL )ß ð#{ È ð  
 #{ `L )ß > È "r@ f } W >L )ß W {L\$, ' Sim(3) ' Ä-(l ' Å È •4Ð! "B , ' 3\_0  
 ¼ j Ö%20+ Ä

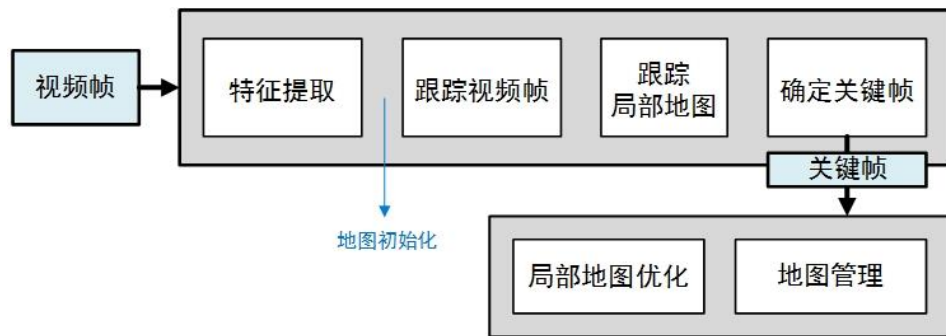
;M', ' 1 8<sup>2</sup> 6 ) :F , ' 4 Z Q ‡F >|B 4ö û4ý È k?± 6 @ T1 È1\ 91 B 4ö û4ý \*  
 ¾(© ±, ' -(jD DZ1Ç# È k?± 5 æ Z-(j, ' } / ` ÄÑ ¼ >1 H F Q ‡ È jM' A0P öGý  
 \*, ' ...- ?ö?ù SLAM È2î.ž, ' -(j } / ¼ j Y, ' ...5 ' Ä1\ 1 5 \* ¾ CNN, '  
 £K^ W\$! ÖN'#{ È \* ¾ = ½ 81†+•, ' \$! Ö = ½ 8 >Gý \* úL )ß ð#{ Q ‡ Ä k?± È0P öGý  
 \*E÷0; j 0P ö\$! Ö Y Ä +a ¾ \ -, ' Gý&é X ¾.D0! ² ...9ç 0P ö, ' \$! Ö Y ú-(j,  
 } /D DZ È95\$ \* QE÷0; = ½B 4ö û4ý È j Äñ æ Z0P öGý \* SLAM, ' F >|x). È Î P¼



] ) ¼0P ö`., ' n/jG÷+X ¶L}G÷ g% # , ' &é Á>~ /j Ä i ž § f , ' + Ñ = < È`., ' ' ? 9 , W 2 È vG- +a&é Á` .4ÿE÷F2 f , ' 4\*6Eœ F Ç` Ä

### 3.2 基于特征的相机跟踪算法设计

-( jD DZG 6 k?± \_ ) Ä SLAM , ' }1 + Ñ Èø0 j?ö?ùGü0;AÑ Äk?± \_FJE÷-(Fë & k?öNÁ W µ , ' Gý ÿ • `AÑ-( j , ' F Ø ¼00+¿ , ' 95\$D 7&é È ¢ ZD DZE÷0; ² . 3.3 p/j Ä+a ¾\., ' .D0!Gý&é \_ Î)à ...- SLAM , ' 0P ö j ÿGý \* È p 6 >1 ) ` . , ' 1Ñ\*6 ¼ pG H F 5 0`-( jD DZ Q ± ; È k0 j \* ¾(© ± , '-( jD DZ ÄF g a ¼ 0P ö\$! Ö `AÑ-( ) Ä È jD DZG 6 k?± È-(j } / ¼2î.ž j ÿ5 ´ Ä



. 3.3 \* ¾(© ± , '-( jD DZE÷0;

Fig. 3.3 The process of camera tracking of feature-based SLAM

D DZG 6 k?± 5 Ö

Ä1 Ä(© ± È ) ¾-( jG÷Lö, ' ?öNÁ W ÈF9 8F2, '(© ±1Ç# È Î & ` (© ± &é !AÑ1Ç ) Ä ÿF € È \ . jF9+X ORB (© ± Ä i ž ` , '(© ±M0?±AîAÑ 8\*6, ' iG} 1†+• È \*0û J Z?ö@ ;(© ± &é `(© ±&é , ' ) Ä £3+ F65(© ±&é ` 95\$D 7&é , ' ) Ä Ä Ä2 Ä` . M û F È ...- ?ö?ù SLAM j+X \* È j Ö È9ç D 7&é Ä Ä3 Ä-(j } / `AÑ È ø0 œ -( jD DZ È \_B Q ± , ' k?± + Ñ ÈFJ h+a WL\$D DZ9ç M û , ' } / È ½ i ž f }?öNÁ W \*0û pG ` . È p pG ` . j9ç \$ J , ' 4Ö • ÈFJE÷ H F Gý Ä jB È £F Ø BA È9ç \$ Ð2î.ž , ' } / Ä Ä4 Ä £Lö W.ž È È+a ¾ Î & W , ' ?±"r È H F-(j } / ¼` .&é , ' - 9L€ È p F9 \* ¾ £K^ W , ' 1†+• È D?öNÁ W j ^ XE÷ J , ' Ç %o ÿ È ý6< J ^ Ç `AÑ , ' 2î Ö i ý Ä

Ä5 Å >1 H F Q ‡ ÈF Gü 6 >1 H F >-( jD DZ n` 0 ZG 6 È \_63<•\· T Z  
 k?±.D0!Gý&é È 0 Z \_-( jD DZ È-( j } / ¼ j Y5 ´ È 0 Z \_\$! Ö=½ 8Gý \*9ç  
 0P ö, \$! Ö Ä H FG 6 k?± \_ ) } 1 , '5 Ì È X pG ` . µ < & H FD 7&é > } / ÈF  
 0!• wD DZ, '2î Ö Ä ;M' 6 )!ÿ Z Q ‡F >|B 4ö, ' û4ý Ä

### 3.3 基于网格的特征描述与匹配

#### 3.3.1 基于网格的特征提取

-( jD DZE÷0; ] ÍC† ¾ pF9(© ±, 'R± W È " E³ h+X, '(© ± 9 SIFT<sup>[41]</sup> ¼ SURF<sup>[42]</sup>  
 (© ± È v63<•` SLAM Î & W, ' ?±"r ÈF GüF9+X ORB<sup>[43]</sup>(© ± Ä ORB 1Ç# 6 @ TG 6 È  
 6 [ \_ (© ± &é , ' ¼ ÿF ÈB 1Ç# 6 FAST<sup>[44]</sup>@ &é ð#> BRIEF<sup>[45]</sup> ÿF €5 8C\$• È  
 ! X Î •, ' \*.p : Š ¶ iF ¼ H F È ¯ Ç ORB 1Ç# X Añ 0 Ê, '2î Ö ; È !FO Ö7- O  
 EÎ ` Î & Ä

FAST @ &é ð#{ k?± ð#{ ÿ3P& Ö I F > n, ' j È FO Ö :‡0 Ä³, ' h ó M  
 # \_ È² Ì 0 Z ÿ3P, ' & Ö I >Fë µ, ' J Z ÿ3P [ , W ÄE÷ Þ F65E÷ Ç Å ÈFÓ x a  
 9 7- \_ (© ± &é Ä ! § f Š#² ; Ö wAî X . ÿ ]F9 0 Z ÿ3P&é p È ! ) Ä, ' & Ö I  
 j I<sub>p</sub> ÈAî È 0 ZL8 I T Ä 08\j I<sub>p</sub>, ' 20% Å Ä ÿ3P&é p j ] ó È9ç z ´ j 3, ' 6 ~  
 : , ' 16 Z ÿ3P&é Ä² ÌF9 , ' 6 ~ : 9F 5 N &é, ' & Ö I W ¾ I<sub>p</sub>+T F ? ¾ I<sub>p</sub>-T ÈFÓ x  
 ÿ3P&ép a \_ (© ± &é Ä J h ð å ; È N, ' I 9 È 1 F 12 ÈA 0 { j FAST-9 ÈFAST-11  
 F FAST-12 Ä Î û, ' FAST @ &é = § 7 ûEœ ¼ j Ö = W È p œ65 k?± \* ¾F T&é Š  
 ¶ ; iF Ö Ä1 ÅG÷+X& ÖCX ó# 6 ! > ] ó {L\$, ' •0+Gÿ œ j(© ± k é A È ¯ ! §  
 9 ûEœ = W Ä Ä2 Å ´FP . ÿH ‡ „ È X!ÿ 0 r : FAST @ &é È ¯ ! § 9 j Ö =  
 W Ä

BRIEF ÿF € k?± \_ j f }(© ± &é AÑ1Ç \* 0 Z ¼F f b, '(© ± ÿF 1V Ä X(© ± &é, '  
 Fë µF9 n ) ÿ3P&é p<sub>i</sub> Èq<sub>i</sub> Äi=1 È2 È3...n Å È'f >" E³&é )L\$& Ö I, ' W ? È² Ì I  
 Äp<sub>i</sub> Å>I Äq<sub>i</sub> Å È I+O @ ¼F f b ], ' 1 È V I j 0 È" E³ p 9, ' &é )+O @K` Ö j n, '"  
 (© b œ jB (© ± &é, ' ÿF € Ä ORB 1Ç# X!" \*.p : È Î Ð ¶ BRIEF ÿF €, ' Ç š W È  
 ! D \* ¾ oFAST (© ± &é ¯ Ç ÿF € § 9 ¶ ûEœ = W Ä v \_F g, ' ý œ Î W ¶ ÿF €  
 {L\$, '-( £ W È ¯ Ç (© ± ÿF €, ' T [ W ;L } Ä j ¶ @ ãF ZL NÈ È ORB 1Ç# ] ¯ +X  
 ¶ \* ¾5 AÑ – •, ' é# • Î )à&é )Lö 8, 'F9 È 04ø Q ¶ ! T [ W Ä

9ç ?öNÁ W > ÈOÆ x ORB (© ± !AÑ1Ç ) Ä, ' ÿF € È ) ¾ T Z?öNÁ W µ, '(©  
 ± &é È A M0?±4ÿE÷ 0F Fë L3R • ® `(© ± iG } ) È \*0û žL\$, ' £6,, Ä h+X, ' 0F Fë

L3R1†+•9 ä È iG} F FLANNÄ FO 0F Fë L3R ÅÈa ¾ ORB ÿF € \_ 0 Z ¼F f b È  
 p X 0F Fë L3PE÷0; ] ÈG÷+X"y >D /ë Æ j-( I W ÖGÿ,´ 7 ö Ä AÑ1ÇD /ë,´E÷0; ] j  
 ¶ Î Ð iG},´2î Ö ÈF Gü ¯+X ¶ KNN ratio test Ä" I T [# Å È f K=2 & È !AÑ1ÇE÷  
 0; º; Ö X iG} L3R & È = ò õ9ç 0 £ iG} È !Aà ...!Q £ iG} ÄAÑ1Ç T65 {L\$,´" I  
 ! T Ý \_ V ? ¾L8 I T È • ã È ! \_ V j M• iG} Ä T 08\ 0.66 È9 " I ? ¾ T I 0  
 £ iG} j M• iG} È V I È R 3B iG} Ä v \_ È ...4ß,´ÍM• :M',´ iG}E÷0; ý'f #  
 Añ"r Ç,´ iG}) Ä+X ¾ -(j,´ } /`AÑ ÄXF È M û iG} ] 7- ^ XE³ J,´B iG} È  
 08\ Š# \$+ Ð 0 Z ...P¼AñE÷0; È ¯+X RANSAC 1†+••6EØ \* M û iG} ],´ M• iG}  
 ¼KIB iG} Ä

63<•`>5,´4\*6E÷0; È ú ) iG}2î Ö ¼FO Ö,´?±"r È\ . )(© ± E÷0; ¼B  
 iG},´„L"E÷0; Š \* ¶ ; T&é iF Ö  
 Ä1 Å G÷+X \* ¾5•I,´(© ± é# È p0ªL\$ }5ž ¼ ý Ä I T Z@ ÖF9 (© ± Ä  
 Ä2 Å XB iG} „L"E÷0; ] È E • GMS 1†+• È Q )KIB iG},´ T [ W7- ¼FO Ö Ä



. 3.4 žFJ(© ± > \* ¾5•I,´(© ± 5 ì

Fig. 3.4 The results from general feature extraction and grid-based feature extraction

. ÿ ] ,´(© ±&é \_>5 ´\*D 7&é,´\*.p Èj ¶ ¯Ç-( jD DZE÷0; m 7- È  
 ¼ ¢,´j ÿ5 ´ÈF¯ )(© ±E÷ ÖLö ] X ÈQ 4é\*6 j Ä\ . \* ¶ \* ¾5•I,´(© ±  
 1†+• È6 Ĭ û . ÿ B 6 @9 ¢ Z5•I ÈX!ÿ 0 Z5•I µ w 0,´ (© ± È m 7- Añ  
 ` ,´(© ± 6 " X ¢ Z j ÿ µ È7- O \$ ~M',´ k+k j ÿ,´ ...5 ´ Ä 0 éM' • j  
 GMS 1†+•,´E • È ¶ ' & Ä. 3.4 j T/ý(© ± é ?5 ì,´.../j ÄA \$5 Š,´  
 -;` È fG÷+X žFJ,´(© ± 1†+• & È(© ± JLö ] X È pG j Ä fG÷+X \* ¾5•I,´  
 (© ± é# & ÈX = <5•I µ 0 È,´(© ±&é Èf Z5•I µ ,´(© ±&é =Cã & È  
 F2 f,´L} ~ FAST @ &é ð#{,´L8 I È ÎP¼ ] Aİ È 0 ?,´L8 I j 7 ÄF ga R 3  
 ¹(© ± öLö j ,´ Ç %,´Q ý Ä I(© ±&é ÈF 6< +%(© ±E³ A j ,´ ~ ý Ä I(© ±&é Ä

\. \*,´ \* ¾5•l,´(© ± é# p0ªL\$ }5ž ¼ Harris ý Ä I T Z@ Ö •F9 (© ± È  
X +%oE³Q 2î Ö(© ±&é,´ õ å ; È ¯ Ç ,´(© ± w 0 6 3 ¾ ¢ Z j Ý È j >5 ¯ +XD  
7&é k+k j Ý5 ´ È \*.p Ä

### 3. 3. 2 基于网格的误匹配剔除

08\ õ å ; RANSAC 7- O , -,´ „L”B iG} È v \_ x)· =Q Ä \ · E • Bian 1y ê  
\*,´ GMS<sup>[46]</sup> é# +X ¾ „L”B iG} È X Añ2î Ö,´ < & w 4\*6,´FO Ö Ä GMS 1Ç# OÆ

>~ 3. 1 GMS 1Ç# E÷0;

Tab. 3.1 Steps of GMS algorithm

$E\tilde{A} \bullet \tilde{O} \cdot \ddot{y} \{iG\}) \quad I_a > I_b$
<b>M ù F Ö</b>
1 Ö ð#{ . ÿ(© ± !AÑ1Ç ÿF €
2 Ö ) ¾ . ÿ $I_a$ ],´ p 9(© ±&éAÑ1Ç * ! X $I_b$ ],´ 0 £ iG}(© ±
3 Ö 6 [ 6 . ÿ $I_a$ È $I_b$ 6 @ G Z5• l
4 Ö <b>for</b> i = 1 to G <b>do</b>
5:     j = 1;
6 Ö <b>for</b> k = 1 to G <b>do</b>
7 Ö <b>if</b> $ \chi_{i,k}  >  \chi_{i,j} $ <b>then</b>
8 Ö             j = k;
9 Ö <b>end if</b>
10 Ö <b>end for</b>
11 Ö     i ž1y ? Ä 3.1 Å ¼ Ä3.2 ÅAÑ1Ç <sub>i,j</sub> ¼ $\tau_i$
12 Ö <b>if</b> $S_{i,j} > \tau_i$ <b>then</b>
13 Ö $Inliers = Inliers \cup \chi_{i,j}$
14 Ö <b>end if</b>
15 Ö <b>end for</b>
<b>F Ö</b> p1\ 4 >  0 ûGý = È 65• l"ĩ-p x,y 6 [0+ Ø z Z5• l,´ í Ö
<b>EÄ * ÖInliers</b>

x 6 . ÿ I<sub>a</sub> ¼ I<sub>b</sub> 6 @ G Z5•I È ) ¾5•I i Èj 6 [ Ž ¾ . ÿ I<sub>a</sub> ÈI<sub>b</sub> Ä  $\chi_{i,j} > \sim /jB 5•I$   
 $\mu, ' iG\}(\odot \pm ' @, 'L\ddot{o} 8 \ddot{A} T Z5•IL\$, ' \zeta 6A\ddot{N}1\zeta 2 ; \ddot{O}$

$$S_{i,j} = \sum_{k=1}^{K=9} \left| \chi_{i^k, j^k} \right| \quad \ddot{A}3.1 \text{ \AA}$$

K > \sim /j, ' \_ i Èj , -(F\ddot{e}5•I ÈF Gü , ' \_ >F\ddot{e} ÈA\ddot{N}1\zeta \zeta 6 \& ÈM0? \pm 63 < \bullet \sim \\$, '5•I \ddot{A}  
j ¶ Î Ð ûEœ = W ÈF\ddot{e} u5•I X iG} \& G ÷ + X J / ý iG} é ? È 0 > "r \zeta £ w l Æ j 04ø  
\zeta 6 \ddot{A}A\ddot{N}1\zeta \frac{1}{4} \zeta 6 > È )B 5•I iG} )M0? \pm A\ddot{N}1\zeta 0 ZL8 l \tau\_i = \alpha \sqrt{n\_i} ÈF Gü, ' \alpha \_ 0 Z h  
È ÎP¼ ] l j 6 \ddot{A} n\_i > \sim /j 9 Z5•I ](\odot \pm iG} ), ' £ w l \ddot{A} 0 > B 5•I ) \mu, ' iG}  
j ! " . \ddot{z} \boxtimes iG}, ' TB + Í \ddot{z} 2 ; \ddot{O}

$$cell - pair(i, j) \in \begin{cases} T, & \text{if } S_{i,j} > \tau_i = \alpha \sqrt{n_i} \\ F, & \text{otherwise} \end{cases} \quad \ddot{A}3.2 \text{ \AA}$$

GMS 1\zeta \#, 'E ÷ 0; 2 > \sim 3.1 p/j \ddot{A}

E • GMS > È7- W u Ö w > 5 -(j } / `A\ddot{N}, ' ö. \ddot{z} W È l D Añ Î & W \ddot{A}. 3.5  
" E³ ¶ / ý (\odot \pm iG}, '1 \ddagger + \bullet È6 [ \_ ORB ÈSIFT ÈSURF Ð ratio test \ddot{A}F Gü \bar + X, ' \_ TUM  
RGB-D ž È 'FP @9 ¢4ô .-( ) È Y + X iG}5 ì "r@ -( ) F Ø È5 A\ddot{N} ¶ "r@ @ Î, '  
" » > "r@ pM0 & L\$, ' £3 + \ddot{A} log >, '5 ì È ... } j" 0 \AA \ddot{A} -; \* GMS 1 \ddagger + \bullet W  
W Î Ð ¶ -(j } / `A\ddot{N}, ' @ Î). È m1\ddot{N} ¼ \$2î4ö, '(\odot \pm È ² SIFT -(" È6 < !FO Ö ,  
?ò \ddot{A}

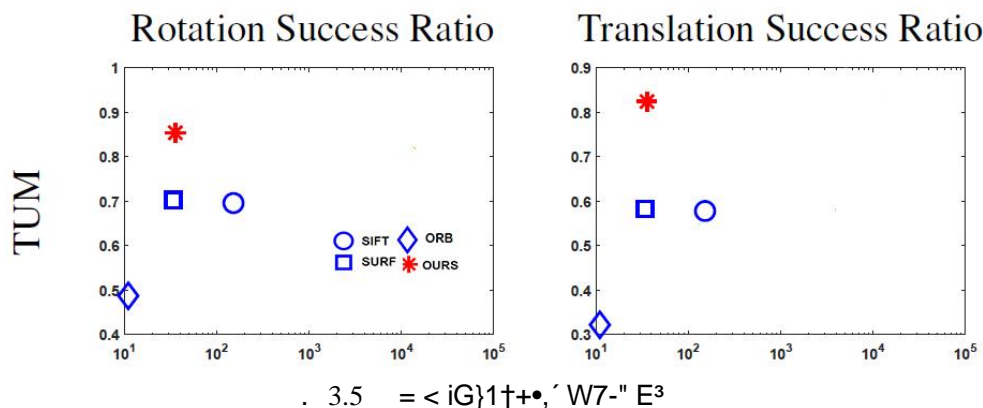


Fig. 3.5 The performance of different matching strategies

### 3.4 地图初始化

...- ?ö?ù SLAM +a ¾ j Ö Q2ú,´ L NÈ È X `AÑE÷0; JM0?± \* Ê j Ö È \* ¾ 2D-2D  
,´ iG} •AÑ1Ç-(j / 1 # 5 0 j Ö Èp G÷+X 3D-2D ,´ ž £6,, Î)à5 0 j Ö ;,´-(  
jD DZ ÄFÓ x È9ç M û,´ 95\$` .&é,´E÷0; È a0 j ` . M û F Ä : 08² ] "4ÿ û4ý  
¶(© ± iG},´E÷0; È9ç (© ± iG} ) > È i ž ... Ä W4Ö • F65 ) ±4Ö • 6 ["r@ ) Ä,´  
... Ä W. Le ¼ \*.p. Le Ä T65 6 [ F2+X= <,´ j Ÿ È ... Ä W4Ö • F2+X¾(© ±&é } ¾ < 0  
£ M' F65?ö ,´ ,´ õ à È ! ³ ´ & ; 08\ 9— ) ±4Ö • "r@ Ä ¼ @ ... Ä W. Le F \*.p  
. Le,´"r@ > È Y+X 2.1 8² û4ý,´ 6@ é# È ´ = \* ûEœ ¼ £0+ ´ È 0 > Y+X 9@ #{  
GÿGý \* \*(© ±&é ) Ä,´ 3D D 7&é Ä

\ ·G÷+X \_ ? ,´"r@ é x È8 ØF9 8F2,´ M û F é# Ä § f,´ Š# ² ; Ö

Ä1 Å9ç f } W  $F_c$  ¼ ò63 W $F_r$  {L\$,´(© ± iG}  $x_c \leftrightarrow x_r$  Ä

Ä2 Å |>|AÑ1Ç T Z Q » È !"r@ ... Ä W. Le  $H_{cr}$  ¼ \*.p. Le  $F_{cr}$  Ö

$$x_c = H_{cr} x_r \quad x_c^T F_{cr} x_r = 0 \quad \text{Ä3.3 Å}$$

6 [ ¯+X RANSAC v æ ;,´ , 0 F DLT ¼ 8 &é# "r@ ÄX!ÿ!Q F E÷ 0; ] 6 [AÑ1Ç T  
Z Q »,´ Ç 6  $S_M$  È  $M = H \text{ or } F$  ÄH>~ / j ... Ä W. Le È F>~ / j \*.p. Le Å Ö

$$S_M = \sum_i (\rho_M(d_{cr}^2(x_c^i, x_r^i, M)) + \rho_M(d_{rc}^2(x_c^i, x_r^i, M)))$$

$$\rho_M(d^2) = \begin{cases} \Gamma - d^2 & \text{if } d^2 < T_M \\ 0 & \text{if } d^2 \geq T_M \end{cases} \quad \text{Ä3.4 Å}$$

$d_{cr}^2$  ¼  $d_{rc}^2 > \sim / j$  ) 0 ,´ ´B È  $T_M$  \_ TB+ \_ V j 2 l&é,´ L8 l Æ P¼ ]  $T_H = \Gamma = 5.99$  È

$T_F = 3.84$  Å

Ä3 År@ ` 0 H,´ H ¼ F > È ž ,´ Ç 6 AÑ1Ç ;M',´1y ? •F9 8F2,´ Q » Ö

$$R_H = \frac{S_H}{S_H + S_F} \quad \text{Ä3.5 Å}$$

2 ì  $R_H > 0.45$ , F9 ... Ä W Q » È V IF9 \*.p. Le Ä

Ä4 Å )F9 Ê,´ . LeF > | 6@ È ´ = ûEœ ¼ £0+ È ½ FJE÷ 9@ #{Gÿ ÈGý \* \*(© ±&é  
) Ä ,´ 95\$D 7&é Ä

FJE÷ M û FE÷0; Ç ` ,´00+¿D 7&é j > 5 ,´-(jD DZ È ¶ \*.p Äk?± = Ý \*0ûF  
È 3D D 7&é ¼(© ±&é {L\$,´ £6,, • Î)à } / ,´ `AÑ Ä

### 3.5 相机跟踪

#### 3.5.1 帧间跟踪

D DZE÷0; 6 @ T ZG 6 Ö WL\$D DZ ¼D DZ pG ` . Ä WL\$D DZ k?± \_ \*0û T Z?öNÁ  
 WL\$, ' £3+ È9ç ` .&é ¼ f } W ] (© ±L\$, ' iG} £3+ Ä D DZ4ï0;OÆ x MB ,FO Q » È  
 B Q » wAî-( j, 'F ØE÷0; \_ £% , ' È £!ÿ W {L\$, '-( )F Ø \_ 0 Z , È I ΔT È+a ¾  
 : 0 W, ' } / ". È u -\$ Õ"r \* f } W } / , ' 0 Z M û I Ä Y+XB I 6 } 0 W ]?ò#{  
 ` , 'D 7&é Å i ` f } W ] È! X Å i&éLtF + ® 8F2, '(© ±&é È ' \* 3D-2D , ' iG} £  
 3+ Ä ' \*F Ø BA Q » HF"r@ \$2î.ž, '-( j } / Ö

$$\{R, t\} = \arg \min_{R, t} \sum_{j \in \mathcal{X}} \rho(\|x_j - \tau(RX_j + t)\|_{\Sigma}^2) \quad \text{Ä3.6 Å}$$

χ>~j/ 3D-2D iG} ) ' @, 'Lö 8 È X >~j/ 95\$D 7&é È x>~j/(© ±&é Ä ρ \_ Huber -  
 È Σ \_ ÿ. Le È τ \_ Å i é0; Ä AÔ j M û, ' } / \_ j ¶9ç 95\$&é '(© ±&é  
 L\$, ' £6,, Èî ÖE³ ~ ÈvCã O X 0 È j μ + ® !“.ž, ' iG} Ä g \*0ûCã O, ' £6,, > È  
 Gý à Y+X H F, ' é# "r@ Q 2î Ö, ' @ Ä f ) à iG} ) = O & È £ ,FO Q » a x È IF >|  
 £K^ WD DZ Ä6 f } W, '(© ± > } 0 Z £K^ WF >| iG} È+a ¾ : 0 £K^ W?ò#{ ` , 'D 7  
 &é "4ÿ ¼(© ± \*0û ¶6,,3+ È p f } W, '(© ± ¼D 7&é \*0û iG} £3+ Ä Ç ` iG} £  
 3+ > a FJE÷F Ø BA "r@ } / Ä

#### 3.5.2 局部地图跟踪

0 ¼ @ WL\$, 'D DZ > È j ¶F 0!• Q -( j } / , ' ` AN2î Ö È J X pG ` . ] +  
 ®D 7&é ¼ f } W ] Z iG}, '(© ± \*0û £6,, 9ç Ç \$ J, ' 3D-2D , '4Ö • ÈQ "r@ 2î Ö Ä  
 XB\$ > pG ` . { } È x@ Gú 0 ; ð x \_ i?ö . È f T Z?öNÁ W {L\$ i?ö ` .&éEî ` 0  
 È - & È I \*0û6,,3+ È ¢ Z3+5 XF >| ] J5\$ ÔF g 0 Z i?ö . Ä ! ] pG ` . +a £  
 K^ WLö 8K<sub>1</sub> È K<sub>2</sub> ú³ p ) Ä, ' ` .&é4ô @ Ä K<sub>1</sub>>~j, ' \_ ¼ f } W 9 i?ö ` .&é  
 , ' £K^ W ' @, 'Lö 8 È K<sub>2</sub>>~j/ X i?ö . ] ¼ K<sub>1</sub> ], ' £K^ W ^ XF Õ £3+, ' p 9 £K^ W  
 ' @, 'Lö 8 Ä Å iE÷0; JM0?±F9 8F2, ' ` .&é ÈF9 ' &²; Ö  
 Ä1 Å OÆ x.ž È ` .&é \_ V7- O Å i ` f } W : Ä  
 Ä2 Å 6 ` .&éFJE÷ { } 9ç Ç, ' } /Eœ ' ' -( j ∈ 73+ ; & È T ÝB &é, '\$! Ö \_ V  
 j! " I Ä  
 Ä3 Å ` .&é X-( j ∈ 73+ ; , '\$! Ö \_ V X1V 8 ' &, '93 \$ μ È!ÿ Z ` .&é X ' \*  
 &G- JAÑ1Ç 0 Z\$! Ö93 \$ Ä

Ä4 Å f }?ö . é A ¼ ` .&é,´ £ w?ö . é A,´ i@ =?±CµE÷ 60 Ö Ä  
 % Cã :F ´ &,´ ` .&é X ! Å j&é,´ Fë µ + ® 8F2,´ Z iG},´ (© ±&é È+O @ \$ J,´ 4Ö  
 • £3+ È • Q -( j,´ D DZ2î Ö Ä

### 3.6 关键帧确定

-( jD DZE÷0; JAN1Ç!ÿ W,´ } / È v \_Lç-pB ,´ 3\_0 È 04ø J +O UGý,´ %20+ Ä  
 F & a ÍÇ† pG ` . j,´ H F È< 6 }1 ` AN,´ p 9 } / OE j >1 H F,´ (æ 1 Gÿ = Z  
 )à Î È p M0?±F9 9 >~ W,´ ?öNÁ W P ` >1 H FE÷0; Ä £K^ WF9 ,´ Z00+ç È J ,  
 8\$ T WL\$,´ Gý µ é Z A È é CD DZ R a Ä-( ý ÈF9 Z öLö,´ £K^ W È ø J ,8\$ Ý  
 Ç %o È # Eî ` Î & W,´ ?±"r Ä  
 \ .F¥'— ORB-SLAM j £K^ WF9 1†+• È% Cã ;F ´ &,´ ?öNÁ W>ÛAÔ j \_ £K^ W Ö  
 Ä1 Å u"Ñ 9 • à,´ £K^ W È» ² "4ÿE÷ 20 W ÈF65 pG H F4ï0; j0ªL"(æ 1 Ä  
 Ä2 Å f } W D DZ ` ¶Cã O J,´ ` .&é È8# A 50 Z Ä  
 Ä3 Å f } W ¼ ò63 £K^ W {L\$,´ j?ö ` .&é?± ~ ¾ 75% Ä  
 % Cã :F ´ &,´ ?öNÁ W 6>Û f OE £K^ W PFB ` >1 H F Ä

### 3.7 地图管理和局部优化

à\$+ Ð,´ £K^ WM0?±4ÿE÷ òP¼ È !\$+ Ð ` ` . j È \$ à £K^ W {L\$,´ 6,,3+ Ä }1 D  
 DZ x+O,´ } / ¼ 95\$ ` .&é •M0?±F 0!• H F Äp >1 H F Q ‡ k?± 9 T Z + Ñ Ö `   
 .1Ñ\*6 ¼ pG ` . H F Ä  
 ` .1Ñ\*6 k?± 5 à Î ` .&é È0ªL\$ 2 l&é ¼ Ç %o £K^ W,´ „L” Ä Ç ` f } £K^ W  
 X j?ö . j,´ Fë Õ £K^ W Ä j?ö ` .&é,´ - X 20 : Å È > f } £K^ W \*0û(© ± i  
 G} È 0 > i ž 9@ F ° \_ à Î 3D ` .&é Ä63<• ` B iG} JFP @KIB ,´ 9@ F È ú>Û  
 ?ò#{!Q , A,´ D 7&é J Î Ð3+5 ,´ 0K0 Äp È 9 ò?± ) ` .&éF >| U I,´ 1çF9 Ä 0  
 ZQ CXGÿ,´ ` .&é?±% Cã ; WCX Ö  
 Ä1 Å ² }?ò#{ ` B ` .&é,´ £K^ W A ¾ 3 È I-\$ Õ R 3B ` .&é Ä  
 Ä2 Å ÎLu?ò#{ ` B ` .&é,´ W = ~ ¾\*6Aê : ?ò#{ ` B ` .&é W ,´ 1/4 Ä\*6  
 Aê :?ò#{ ` B ` .&é,´ £K^ W \_ 7FJE÷ Å j . ž È \_ V X?öGp µ,´ £K^ W È< ÎLu?ò  
 #{ ` ,´ £K^ W \_ 7D DZE÷0; j 9(© ± iG} ) p ) Ä,´ FÓ È £K^ W Ä  
 Ç %o £K^ W,´ „L” \_ j ¶ Q 3+5 ,´ F >| x) · È ! h ó,´ ## a \_ R 3 FÓ È = §  
 >~ W,´ £K^ W È £B £K^ W ) Ä,´ ` .&é5 WG 6>Û [,´ £K^ W p?ò#{ ` Ä



pG ` . H F \_ 7 X f } £K^ W p ã Ê, ' pG ` . µF >| 0!Q BA H F ý Œ È H F  
 , ' )B' j pG ` . µ, ' £K^ W ¼ p 9 ` .&é ÈF /ý Š# § 9 0 Ê, ' &¥#k W È7- O8 F2 Ä  
 , ' ã ÊM0?± H F È-(j} / ¼ ` .&é Ä 6 H F, '(æ 1 Gÿ x f X 0 Ê, '93 \$ µ Ä £ p  
 G ` . µ Å È < &-" ¾D DZE÷0; 63<• H F } / Š# È pG ` . H F < & H F-(j(æ  
 1 ¼ ` .&é È\$+ Ð ¶ \$ J, '4Ö • È !" § 9 \$Q , '2î Ö Ä

### 3.8 本章小结

\1 k?± û4ý ¶M' A0P öGý \*, ' ...- ?ö?ù SLAM é#, ' æ f\*6Aê v æ È6 À ¶ \* ¾  
 (© ±, ' ...- ?ö?ù SLAM X Î)à0P öGý \*, ' A H > H ĩ Ä \* ¶ @ ã0P öGý \*, ' 9 Z?±&é È  
 ! 6 [ pF 9 Z éM'F >|1Ç# AîAÑ È \* ¾(© ±, '-(jD DZ ÈGý \* & pM0, ' } / ¼2î.ž  
 , ' j Ÿ5 ' Ÿ ÈCNN \$! Ö `AÑ È0P ö, '\$! Ö `AÑ È \* ¾=½ 81†+•, '\$! ÖGý \* ¼ @  
 ¶ ) j Ÿ, '95\$ \* Q Ä>M' T ZG 6 6 X ; 01 F >|B 4ö û4ý Ä\1 Gý&éL@F ¶ \* ¾(©  
 ±, '-(jD DZ > >1 H F Q ‡ È X(© ± G 6 È \* \* ¾5•I, ' 1†+• È mGÿ ¯ Ç  
 (© ± 6 3 ¾ æ Z j Ÿ È \$ - ` k+k j Ÿ5 ' È ! E • Q x, 'B iG} \*1†+• È Î Ð ¶ -(  
 jD DZ, 'R± W Ä

## 4 面向稠密重建的深度估计

X : 01 ÈGý&éL@F ¶ \* ¼(© ±, '-( jD DZ > >1 H F Q ‡ È@ ã ¶0P ö ` .Gý \*  
 ] j Ÿ5 ´, '9ç È\1 6 Gý&é.D0!MŽ5 ´ W j , '0P ö\$! Ö9ç > > g X =.d • j Ÿ  
 5 ´ Ÿ, ' õ å ; • Î)à T 65, '=½ 8 Æç 0P ö, '\$! Ö . ÈÎ)à ) 95\$ j Ÿ, '0P ö \* Q Ä  
 63<• `K` &L\$F >|E÷0; ] ^ X, 'B 3\_0 L NÈ È E • \* ¼ Aý>» Q », 'L )ß1†+• È È ¶ "  
 £K^ W>~j @?ö?ù ...Aý, '4ô 8 ÈÄÑ1Ç-( l W ÈÄö [L )ß W lF >|-( Ä, ' Q! " Ä

### 4.1 基于 Resnet 结构的多尺度深度估计

j ¶9ç Cã O, '\$! Ö Ÿ È Î)à0P ö, ' 95\$Gý \* ÈM0?± )-( jD DZE÷0; ] x+O, '0c  
 È, ' £K^ WF >|0P ö\$! Ö `ÄÑ Ä i ž 3.1 8²], ' 6 Ä È \ . \* ¶ \* ¼ Resnet 5 ´, ' J  
 j Ö\$! Ö `ÄÑ5•5 ÄP5, ' \$! Ö `ÄÑ k?±Lö ] X ^+X . Q » 6 + ÑEœ F @ 0 Z7-GŸ -  
 0 ? F , ' L NÈ Ä+a ¼ §0 /Ž4Ÿ5•5 XÄÑ1Ç j?ö?ùN¶ , '0± \* >~)à ú lQ x, ' \* Q7- È È  
 X\$! Ö `ÄÑL NÈ : "4Ÿ Ç ¶ , -, '5 Ì Ä Liu<sup>[47]</sup>1y ê \* ¶ ^+X\$! Ö -•5 ´ • p ...  
 - ™8ç . Ÿ ] `ÄÑ\$! Ö Ÿ Ä X5 0, ' CNN v æ ; • - • ' &Lç j j ], ' ...&é ¼  
 @ )&é i7- È ! 6 Ä ¶ CNN > CRF, '6, 8 \* Q7- È Ä'f6< È #u r, ' CNN 5 ´ ¼ \* ¼  
 Cµ Ÿ3P, ' . Ÿ ‡EÄ • , 8\$ ¶ 9L€, ' O Gp È =7- OQ x ` ...9ç ~ p(© ± È ! 04ø , 8\$N´  
 #{, '\$! Ö Ÿ2î Ö =Q Ä Eigen<sup>[48]</sup>1y ê \* ^+X J j Ö, ' CNN 5•5 < & `ÄÑ\$! Ö È "M'  
 # 4î ¼B y 71® È !+X 0 3+ G, ' €5•5 F >| = Ý, '4ö F Ä Laina<sup>[49]</sup>1y ê ^+X ¶ \$\$\$! r, '  
 !» 5•5 • Î)à\$! Ö N'#{ , X5•5 ] jB3 ¶ 0 Z : Ä j Q ‡ È+X • 4\*6 ;G÷ gL NÈ È £  
 (© ± . = ÝL} ~, ' 6EØ) . È ! ^+XF6 Huber • a•AÝ465•5 Ä v \_ È 04øN'#{, '\$! Ö .  
 6EØ) . Í'f"Ñ 9Eî ` Ì , ' W ? È6< D x+O\$! ÖEé+| Q2ú x Ä Ä

² A p. È = Ÿ ! ³ . Ÿ =L NÈ È » ²L} š ¼Cµ 6EØ È ™8ç . ¼\$! Ö . {L\$, '  
 P 4 £3+ \_MŽ h = r, ' È0 Z#u r, '5•5 5 ´ , Lî)F g = r P 4 £3+F >| \* Q Äp È  
 -( " Laina 1y ê, ' é# ^+X Resnet-50 Œ j k ç5 ´ È \ . ^+X \$\$\$! r, '5•5 5 ´ È £  
 Resnet-100 È ! 5 8 0ª#N §0 ° \_ ¼ J j Ö Q ‡ •9ç ~ p : ; . Ÿ È w\$! Ö N'#{  
 , '2î Ö Ä . 4.1 ŸF ¶ \ . \$! Ö `ÄÑ, '5•5 5 ´ È 9 £K^G 6 ¼ \ . p Š, ' i Ø > Û ...  
 /j \* • È) ¼ Resnet jF 5, ' ! » ‡ 5 0 +X ! » Q ‡ >~j Ä5•5 Resnet-101 j \* .p5  
 ´ Î)à ¶ p ...?ö@ ™8ç . ] Ø Ý\$! Ö Ÿ È § f, ' i Ø ² ; Ö

Ä1 ÅResnet-101 j > Û +X • 62«, ' ~F Ö r ~G > Û 0 +L " È j ¶ , \*2î.ž, '\$! Ö È  
 \ . ^+X L₂ 93 • 5Š-O Î l > 5•5 N'#{ {L\$, ' , B Ä

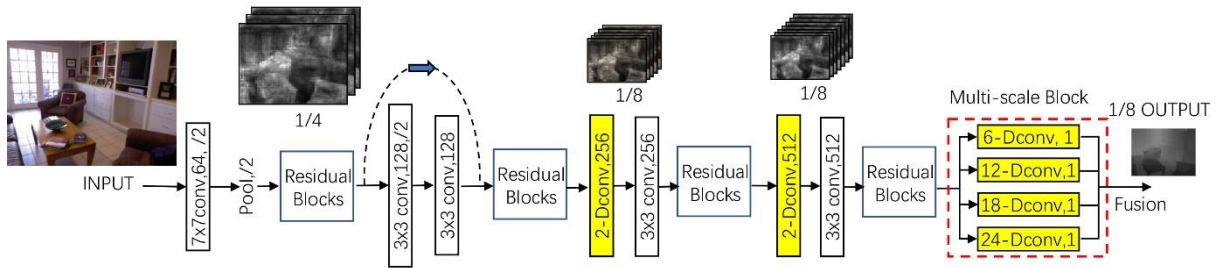


Fig. 4.1 The proposed CNN architecture of dense depth estimation

Ä2 Å j ¶9ç Ç \$ ¯LD, ' O Gp È5•5 J M0?±\$+ Ð ;G÷ g r È 08\j!•K<sup>-</sup> j 2 , ' §  
 0 F65"•F ý Æ ÄF g, ' Š# X Î W O Gp, ' < & = F<sup>-</sup> }, ' J V •(© ± ÿ R a È \  
 • ¯+X G÷ g)• j 2 0ª#N §0 Ä 2-Dconv Ä / ¶ Î û, ' ;G÷ g r È X 9 x Î W O Gp, '  
 < & È Ñ 9 E • NÍ F, ' ò ¼FP @ (© ± ÿ, ' R a ÄF g, ' Š# F2+X ¾ SLAM j ) Î &  
 W, ' ?±"r ¼ Î)à W93 \$ \$! Ö `AÑ &M0?±5, 863<• \$ íLD, ' : ; • ÿ È £ j ÿ, ' ~ p(©  
 ± Ä  
 Ä3 Å j ¶ Ä) \$! Ö `AÑ ], ' j Ö L N È È \ é# X5•5, ' 0 > 0 Z! » ± > E •  
 J j Ö Q ± È+a G÷ g)• j 6 È12 È18 ¼ 24 , ' 0ª#N §0 4ô @, ' 0ªL\$H ± „• F5 ' •  
 /ý j Ö, ' (© ± . !-( Ä=½ 8 x+O 04ø, ' \$! Ö . Äp6<.ž 7- OAö [ J j Ö, ' )B'  
 ú2î.ž` Ø Ý \* )B' p ) Ä, ' \$! Ö ÿ Ä  
 # ? 5•5 04øEÄ \*, ' \_ 0 Z ~ 6EØ)•, ' \$! Ö . È F Gü !"Ñ 9G÷ [ , ' 1†+• È » ²  
 ý §0 \_ , ' 04ø, ' \$! Ö EÄ \* ¼ Î û, ' ¯8ø . 0 g W ? ÄF g Š, ' Î \_ È CNN \$! Ö `  
 AÑ \_ j ¶9ç Cã O, ' D-( )2î.ž, ' ~ p\$! Ö ÿ È <\$! Ö Eé+|1y4ö8²G 6+a-( j D DZ  
 E÷0; x+O ÈF • \_ CNN 5•5 5 ' # , - `AÑ, ' Ä 04ø ¼ ¢, ' 0P ö\$! Ö +a=½ 8G 6 x  
 +O Ä

## 4.2 基于融合策略的稠密深度重建

0 éM' ÈFJE÷ \* ¾(© ±, ' -( j D DZ È9ç ¶ Î &, ' F ØE~F) ¼00+¿\$! Ö "&é È 5 [  
 ¶ j ÿ, ' ...5 ' 4i3R Ä 0 éM' È \* ¾ CNN , ' \$! Ö `AÑ@ ã ¶0P ö\$! Ö 9ç L N È Ä  
 6< \8² \*, ' =½ 81†+• X.ž j ÿ5 ' =>Û.d •, ' õ ä ; È ' = ¼ ¢, ' 0P ö\$! Ö ÿ È  
 ¼ @ ) ~ \$ j ÿ, ' 0P ö \* Q Ä X=½ 8 { } È+a ¾-( j D DZE÷0; j j Ö \_ Q2ú, ' È< CNN  
 `AÑ, ' \$! Ö -; @ \_ X5 ) j Ö :, ' È £ !.ž `AÑ ` ¶ j ÿ, ' -O Î j Ö Ä T65 j Ö =  
 5 0 È p òN«4ÿE÷ j Ö , 0 F > }7-F > | =½ 8 Ä



) \_ V j μ&é Ä0 > Ë9 5 [ 0 J μ&é , ' Q » p ) Ä, ' j Ö € s\* œ j ~ p 0 H @ Ä  
 B 4ö, 'r@ E ÷ 0; ²>~ 4.1 p / j È s<sub>i</sub> > ~ / j 1 \ i ! Q 0 ? ¼ ^ 8 Ç ` , ' j Ö € Ä  
*Inlier\_count*(·) ý œ > ~ / j X L 8 l δ ; 5 A Ñ μ&é, ' - È *Inliers*(s<sub>i</sub>) > ~ j Ö s<sub>i</sub> p ) Ä, ' μ  
 &é - Ä "r@ ` ~ p 0 H, ' j Ö € > È j ¶ G ý \* \* ~ p 0 8 \$, ' ` . È F J E ÷ j Ö E œ ' œ  
 ? È 6 C N N ` A Ñ, ' \$ ! Ö I E œ ' ` - ( j D D Z E ÷ 0; , ' j Ö : Ä F G ü j ¶ = E • \$ J, ' 1 V '  
 > ~ / j È 6 4 y E ÷ j Ö E œ ' > , ' \$ ! Ö . Í f + X D<sub>k<sub>i</sub></sub> > ~ / j Ä

#### 4.2.2 深度融合与重建

4 y E ÷ , 0 F > , ' C N N Ø Ý, ' \$ ! Ö . D È F J E ÷ • 0 l : G ÷ g ` ¼ ™ 8 ç . , ' W ? 0  
 g È l > - ( j D D Z E ÷ 0; ] x + O, ' 0 0 + ç \$ ! Ö . D ' F > | 8 l Ä ) ¾ 5 È, ' + ? y 3 P & é p È 8  
 l > , ' \$ ! Ö . ] È ) Ä } 5 ž , ' l  $\overline{D}_p, ' \hat{E} y^2; \ddot{O}$

$$\overline{D}_p = \begin{cases} D'_p & D'_p \neq 0 \\ D_p & D'_p = 0, D_p \neq 0 \\ 0 & D'_p = 0, D_p = 0 \end{cases} \quad \text{Ä4.2 Å}$$

² ì \$ ! Ö . D ¼ D' X } 5 ž p : , ' & é G - = j 0 È X 8 l > , ' \$ ! Ö . ] p } 5 ž : , ' l j D'\_p È  
 D<sub>p</sub> - \$ Ö > Û R 3 Ä j - ( j D D Z E ÷ 0; ] x + O, ' \$ ! Ö " & é È l 2 î Ö ? ± " C N N , ' Ø Ý 2 î Ö \$  
 Q Ä

8 # ! " È A " 4 y 9 ç Ç ¶ 8 l > , ' \$ ! Ö . È v \_ È ý f = \_ 0 P ö \$ ! Ö . È ; M' \* ¾ 8  
 l > , ' \$ ! Ö .  $\overline{D}$  Î à 0 P ö \$ ! Ö , ' = ½ 8 > G ý \* Ä \ · F 9 \* ¾ ~ p, ' Ð s 0 ? ¼ ^ é #  
 Ä weighted least squares È WLS Å œ j \$ ! Ö G ý \* Q » È k ? ± 6 3 < • ` ¶ ; & é Ö Ä 1 Å p  
 G , ' % # = 7 - , - @ ã \$ ! Ö È é + | 4, ' Q 2 ú L N È Ä Ä 2 Å ~ + X ~ p H F, ' é ? 7 - O { = P  
 5 , ' p G È é % # , ' 5 j L § È » ² y ... x Ä Ä Ä 3 Å 0 F È ~ p, ' WLS F O " r @ é # " 4 y  
 > ) à \* ¶ ¼ p G % # - ( f , ' F O Ö È v 2 î Ö \$ Q Ä l 0 8 \ ' ? ² ; Ö

$$\min_D \sum_p (M_p(D_p - \overline{D}_p)^2 + \lambda \sum_{q \in \mathcal{N}_4(p)} w_{p,q} (D_p - D_q)^2) \quad \text{Ä4.3 Å}$$

F G ü È  $\mathcal{N}_4(p)$  \_ f } y 3 P & é p , ' F è È λ \_ ž N © ¼ 4 Ö • N © { L \$ , ' £ > ' ò È Î W λ  
 J , 8 \$ E Ä \*, ' \$ ! Ö . \$ Ð £ % Ä . Le M > ~ / j Û . 1 Y Ë È  $\overline{D}_p \neq 0 \& \dot{E} M_p = 1 \dot{E} \vee \mid M_p = 0 \ddot{A}$   
 4 Ö • N © i ž 0 ¢ L \$ F, ' s G ý - w<sub>p,q</sub> 8 F 2 Ä ` B 3 ¢ £ % 0; Ö È w<sub>p,q</sub> > ~ / j y 3 P p ¼ q { L \$  
 £ % W 4 Ö • 3 + È + a 7 , ' È y Ä 6 3 < • \$ ! Ö - ™ 8 ç . y ) { L \$ , j , ' ... 5 ' - ( £

W È D ™8ç . ÿ,´Eé+| ÿ 0 Ê0; Ö : ý P ¶\$! ÖEé+| È p Y+X ™8ç . ÿ Æ j E  
, ÿ ÈLb!'\$! ÖGý \*E÷0; ] x+O WGÿ Q2ú,´Eé+| Ä  $w_{p,q}$  X ™8ç . : ,´ Ê y ² ; Ö

$$w_{p,q} = \exp(-(C_p - C_q)^2 / \sigma^2) \quad \text{Ä4.4 Å}$$

F Gü,´ σ>~|j,´ \_ é ò Ä

ÎP¼E÷0; ] )à :F Gy \* Ç ` ,´\$! Ö .-( " ¾-\$ Ö+a CNN `AÑ,´\$! Ö . È2î Ö 9  
¶ 0 Ê,´ w È vF \_ ^ X Q2úEé+| È ,8\$Gý \*,´ j Y5 ´ +O ¶F0 F Ä 6 ÅGý \*E÷0;  
Ç ` ; T&é5 Aê ÖÄ 1 Å T/ý = <\$À\$! Ö ÿGÿ,´ = )1y ,8\$ ¶Q 2î Ö ,´5 ´ ÿ \$)  
"Ñ X WGÿ2î Ö-( )E³ ~,´\$! Ö ž ] Ä=½ 8Gý \*E÷0; ]"Ñ 9 u 6 U \*F È £K^\$! Ö  
“&é,´2î Ö ¼0ªL\$ }5ž H i Ä Ä2 Å Ù.1. Le M ,´ Aî5ž <1y0; Ö ,´-; µ ¶ Q 2î Ö ,´\$! Ö  
“&é ¼ CNN Ø Ý,´\$! Ö ÿ ÈF > n \_ = 8\*6,´ Ä p \*¾ : T&é Ç \* È=½ 8  
Gý \*E÷0; È?± j = <\$À,´\$! ÖAî5ž = <,´ sGý È £5ž Ö × £ i \_ CNN Ø Ý,´\$! Ö È  
•?± u 663<• i = <0ªL\$ }5ž : 0; Ö È08\6<@0 W 93 \$,´ ,´ £% j ,´2î Ö?±Q ¾  
Eé+| \*,´2î Ö Ä p È) ¾ 8 i >,´\$! Ö .  $\bar{D}$  j i ´ \*) Ä,´5ž Ö . H • / Ù.1.  
LeM Ä )5ž Ö . H ] ,´ ÿ3P&ép È ² % Cãp ∈ {p |  $\bar{D}_p = 0$ } È I  $H_p = 0 \times H_p = 1$  È f  
p ∈ {p |  $D'_p \neq 0$ } £FÓ È •8 -( jD DZE÷0; ] ,´ \$! Ö “&é È § 9 0Q ,´5ž Ö Ä v \_ ÈF  
/ý \* ¾4ß ... ,´ é# 4ÿ h JF• ~?ö L NÈ ,´ È\$ § f ` •B\$ È f-( jF ØE÷0; ]  
"Ñ 9Cã O,´ £0+ & È x+O,´\$! Ö “&é ] J 5 0 È I , W,´ F&é Ä m1ÑF È 2 l&é,´  
- MŽ h ? Èv63<• `F È&é,´ £K^ W ú X \ é# ] ,´Gý?±0; Ö ÈM0?±>Û 8\*6 ` „L” ¹ Ä  
p +X ;1†+• •.ž ÈD DZE÷0; ] x+O,´\$! Ö “&é,´5ž Ö Ö

$$H_p = \min((\frac{d_{\max}}{\bar{D}_p})^2, 1), p \in \{D'_p \neq 0\} \quad \text{Ä4.5 Å}$$

$d_{\max} > \sim |j,´ _$  CNN Ø Ý,´\$! Ö . D ] ,´ 0 W I È f\$! Ö .  $D'$  ] ,´\$! Ö ICµE÷B I & È  
! ) Ä,´5ž Ö?±L¿ {L} ~ Ä j  $d_{\max} -( f \frac{¾}{_} j \ddot{Y}$  ] 0 W\$! Ö xP¼ ÈCNN 5•5  
, -,´ -•`F Z I È p ) ¾CµE÷F Z I,´\$! Ö “&é a , 9 7- \_ 2 h&é È ÄB >ÛC{  
, , ~,´5ž Ö È+J8#>Û-\$ Ö „L” Ä\$! Ö .  $\bar{D}$  ] ™ ; ,´\$! Ö I È £+a CNN Ø Ý,´\$! Ö  
&é È l5ž Ö ,´.ž Ê ² ; Ö

$$H_p = \min((\frac{d_p}{d_{\max}})^2, 1), p \in \{D'_p = 0, D_p \neq 0\} \quad \text{Ä4.6 Å}$$

$d_p > \sim |j,´ _ f \}$  ÿ3P&é p D /è\$! ÖEé+| ,´D /è È £\$! ÖEé+| ÿ3P&éLö 8 Q ]/è p 0F



¶ | X Î & SLAM ], ' Ä + X Ä ! " È \ . E • ¶ FO " r @ 1 † + • <sup>[55]</sup> È 1 Ç # \ C X : 6 2 D .  
 ÿ : , ' £ % E ÷ 0 ; 6 @ ` 0 5 \$ : È F J E ÷ F 5 X . ÿ , ' > | G : ¯ + X 0 5 \$ FO " r @ 1 Ç € È È î `   
 ¶ p G % # é # , " r @ FO Ö È ! A ñ " r @ 2 î Ö = ; ý Ä   
 j ¶ L @ F 1 D FO " r @ 1 Ç € È A È y " i x é A , ' 0 5 \$ ' ) Ä , ' 4 i W 3 + 5 ² ; Ö

$$(I + \lambda^x W^x) S_d^x = \bar{d}^x \quad \text{Ä 4.12 Å}$$

! j È  $\bar{d}^x > \sim / j$  0 5 \$ , " d £ ' È ) Ä \$ ! Ö .  $\bar{D}$  ], ' 0 > | Ä  $W^x * \frac{3}{4} 9 \& \acute{e}, ' \grave{u} \grave{z} \grave{u} \beta$ .  
 Le È + a f } ÿ 3 P & é r , ' ¼ F è Ä £ r + 1 È r - 1 Å ' @ Ä » Î : È " r @ 1 y ? Ä 4.12 Å a Ç   
 é C Ç J È j F Gü , '  $W^x \_ 0 Z 9$  ) @ . Le È M Ž M & s 3 P ^ X ¾ J L \$ , ' 9 ' ) @ 4 i : Ä   
 F g , ' . Le F J E ÷ Q ß # , s " r Ç 2 î . ž @ È p 0 4 ø " r ` 0 5 \$ E Ä \* '  $S_d^x$  Ä " r @ E ÷   
 0 ; j x 9 > | + X 1 D FO " r @ ~ " r @ ¢ P . ÿ È ½ 6 E Ä \* , ' 5 ì 9 G " r @ 8 # 0 > 0 G Ä F Ó   
 x È F g , ' T Z L f ! å 0 j 0 ! Q F È Î P ¼ j ) à È 9 F ! Q T = 1 , ' õ å ; È E Ä \* , ' 5   
 ì j é C x + O ' 4 é Z j Ä streaking artifact Ä Ä p j ¶ Z 4 å é A , ' ÿ 7 - O Ç ` u 6 , '   
 P Ý È Î P ¼ j Î Ð ¶ F ! Q È f T = 3 & 7 - O , - , # , L " Z j Ä   
 X \* ¾ = ½ 8 1 † + • , ' 0 P ö \$ ! Ö G ý \* E ÷ 0 ; j È j ¶ ¼ @ 5 ' ÿ ¼ 0 P ö \$ ! Ö , ' - ( Ä = ½ 8 Ä   
 0 é M ' È p T Z @ Ö • 0 W L € Ö ` + % o j ÿ , ' ... 5 ' Ö Ä 1 Å G ý \* - j ¯ + X <sup>TM</sup> 8 ¢ .   
 Œ j 7 , ÿ È L b ! ' \$ ! Ö E é + | 4 x + O E ÷ £ % x Ä È ¯ Ç j ÿ 5 ' + O F 0 F Ä Ä 2 Å ) ¾   
 = < \$ Å , ' \$ ! Ö ÿ È Ä î 5 ž = < , ' 5 ž Ö Ä Î Ð D D Z E ÷ 0 ; j x + O , ' \$ ! Ö " & é , ' Ö È X   
 = ½ 8 E ÷ 0 ; j u 6 U ! 2 î Ö ¼ 0 ¢ L \$ } 5 ž ( © W Ä 0 é M ' È + a ¾ SLAM L N È ) Î & W , ' ? ±   
 " r , Q È " r @ E ÷ 0 ; j 6 \* ¾ ¼ 5 \$ . ÿ , ' 7 - G ý - 9 > | 9 G 6 @ @ 0 5 \$ L N È È ! E • ~ p   
 , ' 0 5 \$ FO " r @ 1 Ç € F " r @ È X A ñ 2 î Ö = • a , ' õ å ; È î ` ¶ SLAM E ÷ 0 ; ) Î &   
 W , ' ? ± " r Ä

### 4.3 闭环检测与校正

-( j X K ¯ & L \$ F Ø > È = F ¯ } , ' J + O E ~ F ) % 2 0 + È j ¶ @ ä F Ø E ÷ 0 ; j B 3 \_ 0   
 , ' L N È È G ý \* \* ~ p 0 8 \$ W ` . È X - ( j F Ø Z E ÷ 0 ; j ? ± Î & ` F > | L ) ß õ # { ¼ Q ! " Ä

#### 4.3.1 闭环检测

L ) ß õ # { , ' h ó M # a \_ T Ý f } - ( j \_ V ` " 4 ý Ä i L E ÷ , ' ` é È £ j ÿ ½ A ö [   
 L N È Ä F J E ÷ " ) f } £ K ^ W ¼ ž Ä ] , ' ¶ " £ K ^ W • õ # { L ) ß È \$ f , " ) é ? 0 8 \   
 \_ G ÷ + X \* ¾ Ä ý > » Q » 6 . ÿ 5 F . 1 @ ? ö ? ù ... Ä ý È F J E ÷ A ñ 1 Ç ? ö ? ù ... Ä ý L \$ , ' - ( I W • T Ý T P   
 . ÿ \_ V > ~ / j , ' \_ < 0 Z j ÿ Ä



)  $\frac{3}{4} f$  }  $\mathbb{E}K^{\wedge}W \mathbb{E}FJE \div i? \ddot{o} \ldots \check{z} \mathbb{E} \mid pG \mathbb{E}K^{\wedge}W \mathbb{E}A\tilde{N}1\zeta \quad \{L\$, '-( \mid W \zeta 6 \mathbb{E} \mid$   
 $\textcircled{R} \text{ ` } 0 ?-( \mid \ddot{O} \quad s_{\min} \mathbb{A}FJE \div ? \ddot{o} ? \grave{u} A \acute{y} \text{ `` } \mathbb{D}FO, ' \acute{e} ? L3R \P " \mathbb{E}K^{\wedge}WA\tilde{N}1\zeta > > f \} W, '-( \mid$   
 $W \zeta 6^2 W \frac{3}{4} s_{\min} \mathbb{E} \mid \check{z} \mathbb{E} jL \} \mathbb{B} IF9 W \mathbb{A} \quad ) IF9 WF > \mid F 5 W \quad \delta \# \{ \mathbb{E} \mathbb{E} IF9 W, '-(F\ddot{e}$   
 $W > f \} W, '-(F\ddot{e} W \bullet ^{\wedge} XL \} \mathbb{B} \mathbb{E}3+ \mathbb{A}0 > ) IF9 W j, ' p 9 \mathbb{E}K^{\wedge}WF > \mid 64\hat{o} \mathbb{E} ) \frac{3}{4}$   
 $0 Z IF9 W \mathbb{E} > \mid -\$ \ddot{O}-(F, ' IF9 W 6 j 04\hat{o} \mathbb{E}A\tilde{N}1\zeta p 9, '4\hat{o} \zeta 6 \mathbb{E} \mid \zeta \text{ `` } \grave{y}4\hat{o} \} \zeta 6$   
 $0Q, ' \mathbb{E}K^{\wedge}W \mathbb{A}0 > f \} \mathbb{E}K^{\wedge}W \frac{1}{4} \quad E^3Q 4\hat{o} \zeta 6 j, '-( \mid \ddot{O} 0Q, ' \mathbb{E}K^{\wedge}W ' @L \} \mathbb{B} \mathbb{E}3+ \mathbb{A}$   
 $X \ldots - SLAM \} \mathbb{E}B \quad 3_0, '8 +a \ddot{O} j \quad 7 \mathbb{E} 98 +a \ddot{O}, ' \grave{u}E\alpha \frac{1}{4} \mathbb{E}0+ \mathbb{D} : 0 Z j \ddot{O} \quad \in \mathbb{A}$   
 $p \mid j \P \hat{I}) \grave{a}L \} \mathbb{B} \mathbb{E} \quad ) \frac{3}{4} f \} \mathbb{E}K^{\wedge}W \quad K_i \frac{1}{4}L \} \mathbb{B} WK_l \mathbb{E}F M0? \pm A\tilde{N}1\zeta 0 Z-( \mid ' \mathbb{A} \quad Sim3 \mathbb{A}$   
 $S_{il} \mathbb{E}6 < = \ddot{o} \ddot{o} \_!W ? \quad ' \mathbb{A} \quad SE3 \mathbb{A} \mathbb{A}O\mathbb{A}E xA\tilde{N}1\zeta T W \{L\$ p? \grave{o} \# \{ \text{ `` } .\&\acute{e}, ' ) \mathbb{A} \mathbb{E}3+ \mathbb{E}$   
 $FJE \div > \{ \mathbb{E}6,, ' \quad ORB (\textcircled{C} \pm F > \mid iG \} \mathbb{A} \quad \zeta \text{ `` } 04\hat{o} \quad 3D-3D, ' iG \} \&\acute{e} ) \mathbb{E} \quad Y+X Horn^{[56]}$   
 $1y \hat{e} \quad *, ' \acute{e} \# X \quad RANSAC \vee \alpha ; "r@ -( \mid '. Le \quad S_{il} \mathbb{A}^2 \grave{I}B -( \mid '. Le \S 9C\grave{a}$   
 $O J, ' \mu \&\acute{e} \mathbb{E} IF 0! \bullet H F \quad S_{il} \mathbb{E} L3R T W \{L\$, '(\textcircled{C} \pm \&\acute{e} \mathbb{E} \textcircled{R} \text{ `` } \$ J, ' \quad 2D-3D, ' ) \mathbb{A}$   
 $\mathbb{E}3+ k \Rightarrow j \mathbb{A} \mathbb{E}(\textcircled{C} \pm \&\acute{e} \text{ `` } .\&\acute{e}, ' ) \mathbb{A} \mathbb{A} \quad ' *G\acute{y} \mathbb{A} jB \quad \ddot{O}$

$$\begin{aligned} e_i &= x_{i,k} - \pi_i(S_{il}, X_{l,j}) \\ e_l &= x_{l,j} - \pi_l(S_{il}^{-1}, X_{i,k}) \end{aligned} \quad \mathbb{A}4.13 \mathbb{A}$$

$\mid \mu H F, ' - 7 - j \ddot{O}$

$$C = \sum_n (\rho_h(e_i^T \Omega_{i,k}^{-1} e_i) + \rho_h(e_l^T \Omega_{l,j}^{-1} e_l)) \quad \mathbb{A}4.14 \mathbb{A}$$

$\Omega_{i,k}, \Omega_{l,j} > \sim j \mathbb{E}K^{\wedge}W \quad K_i \frac{1}{4}L \} \mathbb{B} WK_l \} (\textcircled{C} \pm \&\acute{e}, ' \bullet \acute{e} . Le \quad \mathbb{A} H F >, ' \quad S_{il}^2 \grave{I} 9C\grave{a} O, '$   
 $\mu \&\acute{e} \quad \_ \mathbb{A} \mathbb{E} \mid > \hat{U} f > \hat{U} f \mathbb{O}EL \} \mathbb{B} W \ddot{O} \quad \mathbb{A} \quad : F \quad F 0E \div 0; \emptyset 0 j \quad \ldots QP \frac{1}{4}E \div 0; \mathbb{A}$

#### 4.3.2 闭环校正

$FJE \div : M', ' ! \bullet P\hat{O} \zeta \text{ `` } \P L \} \mathbb{B} W \frac{1}{4} ) \mathbb{A}, '-( \mid ' \mathbb{E} \mid \quad F > \mid L \} \mathbb{B} Q! \text{ `` } \mathbb{A} \quad O\mathbb{A}E x \mathbb{E} f$   
 $\} \mathbb{E}K^{\wedge}W, ' \} / \quad T_{iw} FJE \div -( \mid '. Le \quad S_{il} F > \mid Q! \text{ `` } \mathbb{E} Z Q! \text{ `` } E \div 0; < g PFB \text{ `` } K_i, ' F\ddot{e} u \mathbb{E}$   
 $\text{ `` } \zeta L \} \mathbb{B}, ' T1 \} U \in \mathbb{A}L \} \mathbb{B} W \quad K_l \acute{u} \mid F\ddot{e} u p? \grave{o} \# \{ \text{ `` }, ' \text{ `` } .\&\acute{e} > \hat{U} \mathbb{A} j \text{ `` } f \} W \quad K_i \acute{u} \mid F\ddot{e}$   
 $u : \mathbb{E} \mid X \mathbb{A} j \&\acute{e} LtF L3R iG \}, '(\textcircled{C} \pm \&\acute{e} \mathbb{A} ) \frac{3}{4} iG \} : , ' \text{ `` } .\&\acute{e} D \_ \mu \&\acute{e}, ' \ddot{o} \grave{a} ; \mathbb{E}F$   
 $> \mid \text{ `` } .\&\acute{e} = \frac{1}{2} 8 \mathbb{A} \#^1 \acute{u} \text{ `` } = \frac{1}{2} 8, ' \mathbb{E}K^{\wedge}W X j? \ddot{o} . \} \quad \$ \grave{a} F \ddot{O} \mathbb{E}3+ \mathbb{A} \quad wA\hat{I} \} / . H F j, ' \mathbb{E}$   
 $K^{\wedge}W, ' \} / j \quad S_{iw} \frac{1}{4} S_{jw} \mathbb{E}F\acute{O} x T W \{L\$, '-( ) \quad ' j \quad S_{ij} = S_{iw} \cdot S_{jw}^{-1} \mathbb{E} v \_ \quad j \text{ `` } A\tilde{N}E \div 0;$   
 $j^{\wedge} X \bullet \mathbb{E} , 8\$ 1y ? \mid = @ \P \mathbb{A} p \quad \mathbb{E} y ; M', ' B \quad N \textcircled{C} \ddot{O}$

$$e_{i,j} = \log_{Sim(3)}(S_{ij} S_{jw} S_{iw}^{-1}) \quad \mathbb{A}4.15 \mathbb{A}$$

$S_{ij} > \sim / j, ' \_ T W L \$, ' - ( ) - ( I ' \ddot{A} 9$ 
 $SE \ddot{A} 3 \ddot{A} \} / \varnothing, 6 < \bullet \ddot{E} j \ddot{O} j$ 
 $1 \ddot{A} \ddot{E} S_{iw} \frac{1}{4}$

$S_{jw} j \mu H F G \ddot{y} \ddot{A} \log_{Sim(3)}^{[11]} \_ \text{'!''} 70^a L \$, ' E \ae ' \ddot{A} 0 > H F, ' - 7 - \ddot{O}$

$$C = \sum_{i,j} (e_{i,j}^T \Lambda_{i,j} e_{i,j}) \quad \ddot{A} 4.16 \ddot{A}$$

$\Lambda_{i,j} j E \acute{e}, ' \ddot{Y}. Le \ddot{E} F G \ddot{u} \_ j \dots \}. Le \ddot{A} F J E \div : M', ' * \frac{3}{4}$ 
 $Sim \ddot{A} 3 \ddot{A} 4 \ddot{O} \bullet, ' \} / .$

$H F \ddot{E} 63\_0, ' B \_ 6 \text{'`} p 9 \pounds K^{\wedge} W ] \ddot{E} 9 \zeta \_ \sim p 08 \$, ' \text{'}. \ddot{A} \# ? \ddot{E} F G \ddot{u} \ddot{S} . H F$

$, ' \& I \text{' } + X = \_ j ? \ddot{o} . \ddot{E} j 5 [ , ' \text{'}. \& \acute{e} \frac{1}{4} \pounds K^{\wedge} W Z J \ddot{A} p \_ X \text{' } * . p : F 0 ! \bullet 1 \langle F 9 \ddot{E}$

$\text{' } F P * 0 Z " E^3 00 + \zeta, ' . \ddot{E} \_ ORB-SLAM ] 0 j * . p . \ddot{E} \bullet F > | H F \ddot{A}$

## 4.4 本章小结

$\backslash 1 k ? \pm \hat{u} 4 y \P M' A0P \ddot{o} G \acute{y} *, ' \dots - ? \ddot{o} ? \grave{u} SLAM \acute{e} \# \_ ] 0 P \ddot{o} \$ ! \ddot{O}, ' 9 \zeta \_ > = \frac{1}{2} 8 G \acute{y}$

$* E \div 0; \ddot{A} \text{' } * \P * \frac{3}{4} \_ Resnet 5 \text{'}, ' J j \ddot{O} \$ ! \ddot{O} \text{' } \grave{A} \tilde{N} 5 \bullet 5 \_ \ddot{E} ! 5 \_ 80^a \# N \$ 0 \text{' } \_ \frac{1}{4} J j \ddot{O}$

$Q \ddot{\ddot{z}} \bullet 9 \zeta \_ \sim p : ; \cdot \ddot{Y} \ddot{E} \_ w \$ ! \ddot{O} N \text{' } \# \{ , ' 2 \hat{t} \ddot{O} \ddot{A} \_ = \frac{1}{2} 8 G \acute{y} * E \div 0; 63 < \bullet \text{' } \P \dots - ? \ddot{o} ? \grave{u}$

$SLAM, ' j \ddot{O} Q 2 \acute{u} L N \ddot{E} > \$ ! \ddot{O} ., ' = . \ddot{z} \ddot{E} W \ddot{E} \_ ! \text{' } + X \text{' } ^M 8 \phi . 7 , \ddot{E} 0 W 0; \ddot{O} : \_ ^ \P 5$

$\text{' } \ddot{Y} \ddot{E} \hat{t} \grave{a} \P 0 P \ddot{o} \$ ! \ddot{O} G \acute{y} * \ddot{A} \_ F \_ \ddot{E} 63 < \bullet \text{' } K \text{' } \& L \$ F > | E \div 0; ], ' B \_ 3\_0 \ddot{E}$

$ORB-SLAM, ' L ) \beta 1 \text{' } + \bullet j * . p \hat{t} \grave{a} \P \frac{1}{4} \pounds, ' L ) \beta \ddot{o} \# \{ > Q ! \text{' } E \div 0; \ddot{E} \_ , W 0; \ddot{O} : \ddot{y} E \ll \P$

$E \sim F ) \% 20 + L N \ddot{E} \ddot{A}$

## 5 实验与分析

### 5.1 实验设置与数据集介绍

#### 5.1.1 实验设置与说明

M' A0P öGý \*,' ... - ?ö?ù SLAM 3+5 È ORB-SLAM, ' ¢ f v æ j \*.p È 6 j }  
 !â È >1 È0P ö\$! ÖGý \* >L )ß ð#{1y Z Q ‡ Ä }!â k?± \_ \* ¾(© ±, '-( jD DZ È >  
 1 j ` .1Ñ\*6 ¼ pG H F È0P ö\$! ÖGý \*4i0; 5 \* ¾ CNN, '\$! Ö `AÑ ¼\$! Ö=½ 8Gý  
 \* ÄP¼ ] ^+X, ' .œ &)ß ³ j 0 CPU j Intel 2.4GHz Xeon, ' ? j È } 7 32GB RAM  
 ¼ Nvidia TitanX 12GB GPU ÄCNN AÝ46E÷0; ] ^+X, ' žLö j NYU Depth V2<sup>[57]</sup> ÈB  
 žLö 5 [ ¶ •8 464 Z j Ÿ, ' 1449 4ô ™8¢ . > ) Ä\$! Ö . Ä 5•5 Q »AÝ46 & È 6 1449  
 4ô . Ÿ ) B 6 @AÝ46Lö ¼P¼AñLö TG 6 È 6" [ 5 [ 795 4ô ¼654 4ô Ä5•5 Q », ' ] \*  
 G÷+XFJ+X, '\$! Ö - • v æ Tensorflow È - •E÷0; ], ' ØGÿ ò j 0.9 È M û, ' - •)-Aî  
 5ž j 10<sup>-4</sup> ÈF 0Ež > È - •)-> Ÿ j İ •, ' 1/10 Ä

ÎP¼ ] k?±#¹ ú, 'Aô ` )B' 9-( j } / ¼ j Ÿ\$! Ö È ¾ } / , 'Aô ' È¥ Ú Sturm<sup>[58]</sup>  
 1y ê œ ] \*, 'Aô ` 7 ö È5 )E~F)B Ä Absolute Trajectory Error ÈATE Å È £AÑ  
 1Ç `AÑ, '-( j £0+ ¼ -O Î, ' £0+ l {L\$, ' w é iB Ä ) ¾ j Ÿ\$! Ö È p T Z éM' 0 Z  
 F >|Aô ` È 0 \_0P ö W ÈAÑ1Ç!" .ž `AÑ\$! Ö, ' Ÿ3P&é Ä >-O Î l Ç • X 10% µ Å  
 • k Ÿ3P&é, " » <sup>[38]</sup> × 0 Z \_2î Ö ¼KIB ). È k?±, 'Aô ' 7 7 ² ; Ö

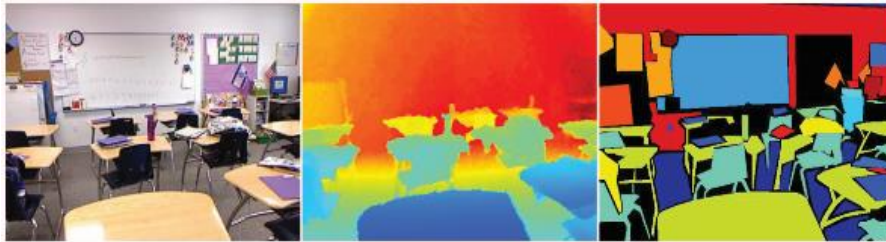
- Root mean squared error Ärmse Å Ö  $\sqrt{\frac{1}{N} \sum_p (d_p^{gt} - d_p)^2}$
- Average log error Älog Å Ö  $\sqrt{\frac{1}{N} \sum_p (\log(d_p^{gt}) - \log(d_p))^2}$
- Absolute relative error Äabs.rel Å Ö  $\frac{1}{N} \sum_p \frac{|d_p^{gt} - d_p|}{d_p^{gt}}$
- Accuracy with threshold thr Öpercentage Ä% Å of  $d_p$  s.t.  $\max(\frac{d_p^{gt}}{d_p}, \frac{d_p}{d_p^{gt}}) = \delta < thr$

! j È  $d_p^{gt}, d_p > \sim l j X \ddot{y}3P\&\acute{e} p$  4-O Î, '\$! Ö ¼ `AÑ, '\$! Ö Ä

#### 5.1.2 实验数据集介绍

ÎP¼ ] #¹ ú, ' žLö 9 NYU Depth V2 dataset<sup>[57]</sup> ÈTUM RGB-D SLAM dataset<sup>[58]</sup> ¼  
 ICL-NUIM dataset<sup>[59]</sup> Ä

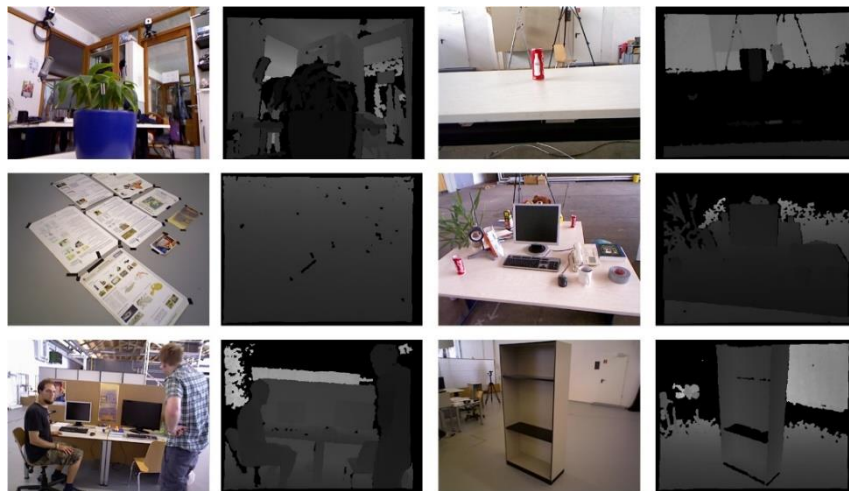
**NYU Depth V2 dataset** žLö+a Kinect X 464 Z = < j Ÿ ;G÷Lö È ] 5 1449  
 4ö0P ö\$! Ö ¼2« [ 71@ 7# ,'.-( ) È 407024 Z Z4ÿ 7# ,'?öNÁ W ÄX = EC\$!— y,' ö  
 å ;È\·.]1°0 j NYU žLö Ä žLö 5 9 ZG 6 Ö 7# G 6 È Ĩ û ž ¼ §  
 1á Ä " 7# ž \_ Ĩ û ž,' €Lö È+a ™8ç . È4ÿE÷ <!•,'\$! Ö . ¼0P ö,'2« [ 71@4ö  
 @È ; . 9/ý2« » ž,' .../j Ö



. 5.1 NYU žLö ],' ™8ç . È\$! Ö . ú B y 71@

Fig. 5.1 The color image of NYU with its corresponding depth and semantic labels

**TUM RGB-D SLAM dataset** žLö+a ç - ... IU J W – È È \_- } SLAM  
 ]~+X 0 ~# ,' žLö { 0 È\·.] 1°0 j TUM žLö Ä TUM žLöG÷LöE÷0;] È~  
 +X Kinect 9ç ™8ç ¼\$! Ö . È !G} 7Q 2î Ö,'F Ø ...9ç>ö5ž •9ç -(jE~F) Ä TUM  
 žLö ] È X 4/ý j Ÿ ;G÷Lö,' Ÿ 6F 100 4ö È>Û 6 @ J Z2« [ È 9 { 1-(j ý t,' È  
 90+ Ø j~ êG÷Lö,' ÄJ, ) = r J , ' ĨLu j Ÿ È ø>Û 6 @5 [F Ø )B', ' j Ÿ È 95  
 ' 4é\*6 F 94é\*6 5 ' j Ÿ È úF2+X ¾ pG )B'Gý \*,' j Ÿ Ä žLö , ' .../j² ; Ö



. 5.2 TUM žLö/j »

Fig. 5.2 Some samples of TUM dataset

ICL-NUIM dataset -(" ¾:M' , ' T Z žLö G- \_ X-O Î j Ÿ ;G÷Lö9ç , ' È  
 ICL-NUIM l \_ ê 8 @ žLö È+a M-\*6 W- È È j é ĩ E+X È · J1°0 j ICL  
 žLö Äk?±9 Ò µ ¼ Î œ Ô T Z j Ÿ ; , ' 8 Z . Ÿ ħ GLö4ô @ È ĩ j È Ò µ j Ÿ ; , '   
 ž È ™8ç . È ) Ä\$! Ö . È -( j , ' } / ¼ j Ÿ , ' 95\$ Q » È6< Î œ Ô j Ÿ ; = 5  
 95\$ Q » Ä žLö F È > TUM RGB-D ž-( ĩ é , ' (x \ È £F2+X ¾ p 9 TUM  
 RGB-D žLö j , ' 4\*6 ¼ Aô ' § Ä ICL-NUIM žLö , ' G 6 .../j² ; Ö



. 5.3 ICL-NUIM žLö/j »

Fig. 5.3 Some samples of ICL-NUIM dataset

## 5.2 相机跟踪与闭环检测实验

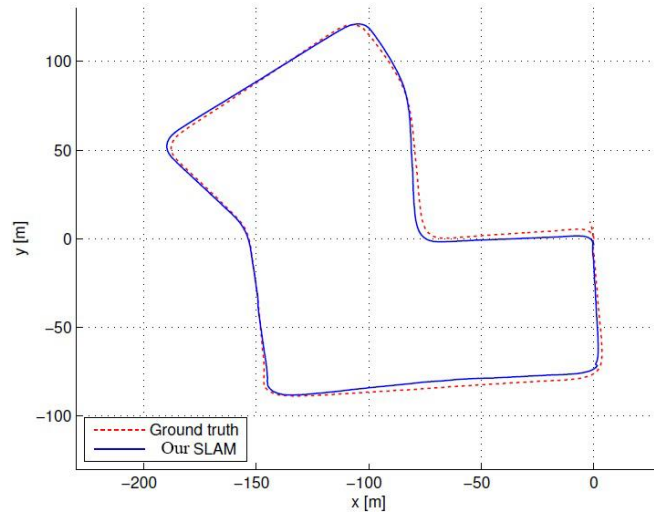
-( jD DZE÷0; È ¶ ö.ž , ' } / ¼00+ĥ , ' ` .&é È È Ÿ , ' 2î Ö ) ¾ Î )à \* ¾ ...  
 - ?ö?ù SLAM , ' OP öGý \* ·B\$8# £Gý?± Ä 0 éM' ÈB 3\_0 , ' 4\*6 ) ' \* ~ p 08\$ , '  
 ` . 9Gý?± ? y Ä\8² k?±Aô ' \ · j , ' -( jD DZE÷0; , ' } / ` AÑ ¼L )ß x ĩ Ä B G 6  
 ÎP¼ j ¯+X , ' § f ?öNÁ ħ G ; Ö ICL žLö j , ' of kt0 Äof kt1 Älr kt0 Älr kt1 ×TUM  
 žLö j , ' fr3/long\_office\_household (fr3\_long) Èfr3/structure\_texture\_far (fr3\_str) Ä  
 >~ 5.1 -( j , ' 5 )E~F)B , ' " E³ Ä ... } Ö2£ Ä

Tab. 5.1 Comparison in term of Absolute Trajectory Error [m]

ž Lö	ICL/of kt0	ICL/of kt1	ICL/l r kt0	ICL/lr kt1	TUM/fr3_ long	TUM/fr3_ _str	Avg.
LSD-SLAM [21]	0.538	<b>0.768</b>	0.516	0.480	1.826	0.987	0.853
The Proposed SLAM	<b>0.420</b>	0.780	<b>0.473</b>	<b>0.133</b>	<b>1.206</b>	<b>0.740</b>	<b>0.625</b>

>~ 5.1 ŸF ¶ \3+5 `AÑ , ' -( j } / ¼ LSD-SLAM , ' " E³ È " E³ 7 7 j ATE È "  
 ¾ 4.1 8² j û4ý Ä þ>~ j - ; \* È \ · \* ¾ ORB-SLAM D DZE÷0; Î)à , ' -( j } / `  
 AÑ > n , ' H ¾ LSD-SLAM , ' 5 ì Ä X T2« žLö , ' 6 Z = <?öNÁ ħ G , ' " E³ ; È 9  
 ICL žLö j lr kt0 : È LSD-SLAM , ' 5 ì · H ÈF aB\$ > ¶ \ · j -( jD DZ é# X  
 AñQ 2î Ö , ' ö å ; § 9 0 È , ' R± W ÈF2+X ¾ J/y j Ÿ Ä B ÎP¼5 ì · 0 È0; Ö : ý P

¶ \* ¾(© ±, ' ?ö?ù SLAM, ' Ê }2î Ö?± H ¾\$ ÖD DZ#, ' Ê }2î Ö Ä. 5.4 ]6D DZE÷  
0; ]-(jE~F) Å j ` ¼5\$ £M' : ! ¾-O Î, 'E~F)" E³ È -; \* `AÑ, 'E~F) ~ >-O Î  
E~F)-(Gý 8 È ! D ' @ ¶ 0 Z ¼ ¢, 'L) ß ÈF Añ > ¶3+5 ]L) ß ð#{ ¼ Q!"4i0;, ' 9 x  
W Ä(© [# ? ÈF Gü j ¶ \$ -, 'B\$ >D DZ, 'R± W ¼L) ß, ' 9 x W È -+X ¶ g F W j Ÿ  
, ' žLö KITTI ]5F ' j 07, ' ?öNÁ ç G Ä



. 5.4 `AÑ, ' -(jE~F) >-O ÎE~F), " E³

Fig. 5.4 Comparison between estimated trajectory and groundtruth trajectory

### 5.3 稠密深度重建实验

0P ö\$! ÖGý \*G 6, ' ÎP¼ k?±#¹ ú ` \$! ÖGý \*7-Gý - , ' ò .ž Ê ÎP¼ ÈJ/y j Ö  
€"r@ é# , ' )" ÎP¼ ÈGý \*\$! Ö, ' 0P ö W ¼2î ÖAð ` ú Q ‡ 9 x W, ' P¼Añ ÎP¼ Ä  
B G 6+X ` , ' žLö 9 NYU Depth V2 žLö ], ' bathroom 0003 ¼ kitchen 0046 xTUM  
RGB-D SLAM žLö ], ' fr1 rpy Èfr2 dishes Èfr2 desk Èfr3 long office household Èfr3  
nostructure texture near with loop ú fr3 structure texture far xCL-NUIM žLö ], ' lr kt0 È  
lr kt1 Èlr kt2 Èof kt0 Èof kt1 ¼ of kt2 Ä

#### 5.3.1 参数适配与尺度因子求解实验

\$! Ö=½ 8 >Gý \* - Ä 4.8 Å ] ^ X T ZCµ ò λ ¼σ È j ¶.ž Ê ò )"r@ 0c Ê W  
¼ ' =\$! ÖCXGý, ' j ý ÈB G 6 ÎP¼ XF9 Ê, ' NYU žLö : -+X ¶ = <, ' ò Aî5ž •  
Að ` 04ø, 'Gý \*\$! Ö . Ä )F9 Ê, ' !ý 0 Z?öNÁ ç GF GüAñ1Ç ¶Gý \*\$! Ö, ' rmse ¼

accuracy  $\tilde{A}\tilde{A}\tilde{N}1\zeta \acute{e} \text{??}\tilde{n}4.1 \text{ } 8^2 \text{ } \tilde{A} \text{ } \tilde{E} \text{ } . \text{ } 5.5 \text{ } \dots/j \text{ } \P B \text{ } 5 \text{ } \grave{\text{I}} \text{ } \tilde{A} \text{ } . \text{ } ] \text{ } E\acute{e}4\tilde{O}8\phi, '4\grave{a}E\pi>\sim/j \text{ } \text{rmse } \tilde{E}$   
 $\#E\acute{e}; 8\phi, '4\grave{a}E\pi>\sim/j\hat{2}\hat{1} \tilde{O} \tilde{E}L8 \text{ } I \text{ } j \text{ } 1.25 \text{ } \tilde{A}1\backslash 0>| \_ \text{ } p \text{ } \pounds K^{\wedge} W \text{ } ] \text{ } Z \text{ } , \text{ } ' \text{ } \text{RGB } \mp \frac{1}{4} ) \tilde{A}, '$   
 $-O \text{ } \hat{I}\$! \tilde{O} \mp \tilde{A} X \text{ } \sigma, ' "4\grave{\text{i}} . \text{ } ] \text{ } \tilde{E} j \text{ } \P \$ - , ' 6 \text{ } \tilde{A}L \text{ } N\tilde{E} \text{ } \tilde{E} "4\grave{\text{i}} \text{ } ] \text{ } 0 \text{ } \tilde{E} \text{ } \pounds K^{\wedge} \& \acute{e} \text{ } \}5\zeta, ' ) \tilde{A}\$!$

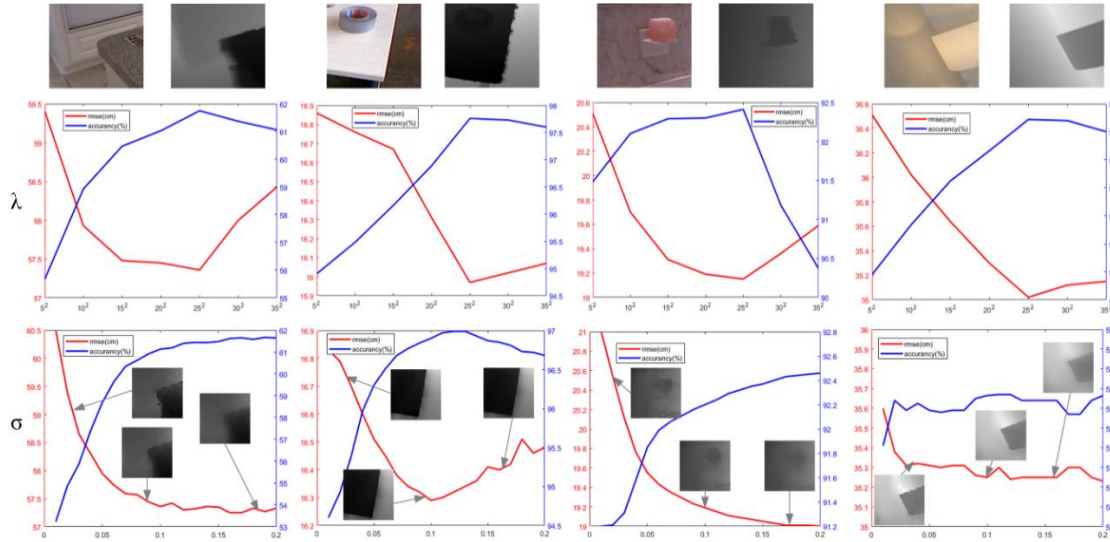


Fig. 5.5 Average keyframe reconstruction rmse and accuracy with respect to  $\lambda, \sigma$

$\tilde{O} \mp \hat{U} \dots/j * \bullet \tilde{E}\acute{e} \text{ } \text{ } >1\backslash 0>| \text{ } , \text{ } -O \text{ } \hat{I}\$! \tilde{O} " E^3 \tilde{A} \text{ } \pounds \frac{3}{4} \grave{o} \bullet O W, ' 6 \text{ } \tilde{A} \text{ } \frac{1}{4} . \tilde{z} \tilde{E} ^2 ; \tilde{O}$   
 $1 \text{ } \tilde{A} \lambda \tilde{O}\tilde{B} \grave{o} \_ + X \bullet B3 \pi G\acute{y} * - \text{ } ] \text{ } \check{z} N \odot \frac{1}{4} ! " \text{ } I \text{ } F N \odot , ' \pounds > ' \tilde{E} \text{ } 8 F 2 , ' \text{ } I 7 - O$   
 $)5 \text{ } \grave{I} F > | F 2 f , ' \pounds \% \tilde{E} \pounds 5 \text{ } ^1 m \text{ } 7 - J , ' \text{ } F \& \acute{e} \tilde{A} ' 6 < \tilde{E} \text{ } I E \div W \& \text{ } J > n , 8 \$ 5 \text{ } \grave{\text{I}}$   
 $, ' 2 \hat{1} \tilde{O} ; L \} \tilde{A} . \text{ } 5.5 \text{ } ] n/j \P \text{ } \lambda \in [ 5^2 , 35^2 ] \text{ } \& \text{ } x + O , ' 5 \text{ } \grave{\text{I}} , ' \text{ } \text{rmse } \frac{1}{4} 2 \hat{1} \tilde{O} , ' " 4 \grave{\text{i}} . \tilde{A} \text{ } \# \text{ } ?$   
 $\text{ } \tilde{E} X \text{ } \lambda = 25^2 \text{ } 4 \_ 0 Z \text{ } \& \acute{e} \tilde{E} \text{ } D ! " 4 G\acute{y} * * , ' \$! \tilde{O} . \text{ } \S 9 0 Q 2 \hat{1} \tilde{O} \frac{1}{4} 0 \sim B \text{ } \tilde{E} p \text{ } 6$   
 $\lambda , ' I A \hat{I} \tilde{E} j \text{ } 25^2 \tilde{A}$   
 $2 \text{ } \tilde{A} \sigma \tilde{O} 7 - G\ddot{y} - \tilde{A} \text{ } 4.8 \tilde{A} , ' \pounds \% W 4 \tilde{O} \bullet , ' j \tilde{O} + a \tilde{E} y X^{\text{TM}} 8 \phi . : , ' 0^a L \$ \text{ } F s G\acute{y} -$   
 $8 F 2 \tilde{A} , ' \tilde{a} \tilde{E} \tilde{E} \grave{o} \text{ } \sigma \times f \P s G\acute{y} ) \$! \tilde{O} \acute{E} \acute{e} + | , ' i y 0 ; \tilde{O} \tilde{A} ^2 . \text{ } 5.5 \text{ } ] p/j \tilde{E} \text{ } \text{rmse } "$   
 $4 \hat{1} ; L \} C \gg \grave{\text{i}} > n \tilde{E} X \text{ } \sigma \text{ } I \text{ } ? \frac{3}{4} \text{ } 01 . \& \tilde{E} f F \bullet j L \$ \text{ } [ 0.1 , 0.2 ] > \tilde{E} " 4 \grave{\text{i}} 0 \hat{u} : ; \# \varnothing \tilde{A} \text{ } i$   
 $\check{z} X = < \sigma \text{ } I 4 n/j , ' \$! \tilde{O} \mp \tilde{E} \text{ } > n , ' - ; * X \text{ } 0.1 * , ' ? \ddot{o} ? \grave{u} x \grave{\text{I}} 0 - \tilde{E} B \$ > E \acute{e} + |$   
 $\ddot{Y} \text{ } ^ \frac{1}{4} \pi \tilde{E} F \text{ } ) > 5 , ' j \ddot{Y} G\acute{y} * \bullet B \$ M \check{Z} h G\acute{y} ? \pm \tilde{A} 6 3 < \bullet \text{ } \sigma , ' I C \mu E \div 0.1 > \tilde{E} \hat{2} \hat{1} \tilde{O} F$   
 $0 ! \bullet w \tilde{E} v \_ j \ddot{Y} , ' \dots 5 \text{ } ' F 0 F j \text{ } ' \tilde{A} p \text{ } \tilde{E} j \P \hat{1} ) \grave{a} 2 \hat{1} \tilde{O} \frac{1}{4} 5 \text{ } ' \frac{1}{4} \pi W , ' s$   
 $> ' \tilde{E} \hat{1} ) \grave{a} E \div 0 ; ] 6 \text{ } \sigma , ' I \text{ } 0.1 \tilde{A}$   
 $X \text{ } 3.4 \text{ } 8^2 \hat{u} 4 \acute{y} \P j \tilde{O} \text{ } \pounds , ' = < " r @ \acute{e} \# \text{ } \tilde{E} \pounds \text{ } \text{mean ratio } \tilde{E} \text{ } \text{least square } \frac{1}{4} \text{ } \text{RANSAC}$   
 $\text{based least square fittin } \tilde{A} \backslash 8^2 6 p \hat{I} P \frac{1}{4} @ \tilde{O} ) " \text{ } F \text{ } / \acute{y} \acute{e} \# , ' H \acute{O} W \text{ } \tilde{E} 6 [ \text{ } Y + X : M , '$

é# "r@ j Ö € È ! X&é )Lö 8  $\chi_D \cdot \frac{1}{4} \chi_{\bar{D}}$  :AÑ1ÇB ÈF9 L8 l  $T \in [0.18, 0.46]$  È5  
AÑ µ&é p •, " » È5 f-\$ é . 5.6 È žLö j NYU Ä \$5 Š, '-; ` È \cdot p -+X  
, ' \* ¾ RANSAC 0 ? ¼ ^ 8, ' é# X = <L8 l ;G- > n H ¾ ! ³ T/ý é# Ä

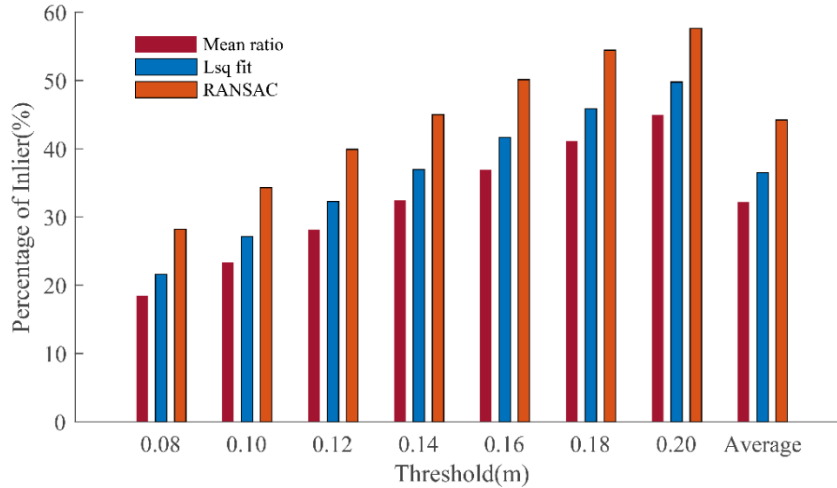


Fig. 5.6 Percentage of inliers under different thresholds

### 5.3.2 深度重建的稠密性评估

\G 6 ÎP¼Aô` ¶Gý \*5 ì, ' ö Ö ÈFJE÷AÑ1Ç!“.ž `AÑ, '\$! Ö&é p •, ', @ 6" >~  
/j È§ fE÷0; ² 4.1 8² pF ÄX0P ö WB P¼ ] È E³, ' é# 9 ORB-SLAM ÈLSD-SLAM È  
ú LSD-SLAM, ' Î j(x Ä j Ö M û F & -+X-O Î, '\$! Ö Š E , Å LSD-Bs ÄF 9/ý é  
# >~ Î û, ' ...- ?ö?ù SLAM È Z\$+ Ð0P ö \* .@ ã é x Ä j ¶ \$ Ð œ £, " E³ È ÎP¼  
] •\$+ Ð ¶ 0 xF , ' \* ¾-\$ ÖD DZ# Î)à, '0P ö SLAM é# Remode ¼ CNN-SLAM Ä

>~ 5.2 7 ö žLö :Gý \*0P ö W, " E³

Tab. 5.2 Comparison in term of reconstruction density on benchmark datasets

žLö	Percentage of Correct Depth					
	ORB	LSD	LSD-BS	Remode	CNN-SLAM	Ours
ICL/ 'lr kt0'	0.03	0.36	1.43	4.48	12.84	<b>24.28</b>
ICL/ 'lr kt1'	0.02	0.06	3.03	2.43	13.04	<b>37.10</b>
ICL/ 'lr kt2'	0.01	0.17	1.81	8.68	26.56	<b>28.69</b>
ICL/ 'of kt0'	0.02	0.33	0.60	4.48	<b>19.41</b>	13.65
ICL/ 'of kt1'	0.02	0.04	4.76	3.13	29.15	<b>43.46</b>
ICL/ 'of kt2'	0.04	0.08	1.44	16.71	37.23	<b>39.59</b>
TUM/fr3_long	0.03	0.09	3.80	9.55	12.48	<b>19.26</b>



TUM/fr3_str	0.03	0.04	6.45	6.74	27.40	<b>40.07</b>
Average	0.03	0.23	3.03	7.65	22.46	<b>28.98</b>

>~ 5.2 G \*¶ p 9 :F é# {L\$, " E³5 ì Ä , > n È \ . ' = , '\$! Ö . " ORB-  
SLAM ÈLSD-SLAM ?±0P ö , ' J È + a ¾³ " Ñ 90P öGý \* , ' é x Ä £ ì \_ ¼ Remode È  
CNN-SLAM - (" È \ . \* , ' é# 9ç Ç , '\$! Ö0P ö W • \$Q Ä F È p ž ] - ;  
` LSD-SLAM Gý \*5 ì , ' £ w0P ö W ? ± F F Q ¾ ORB-SALM , '5 ì È \_ j- \$ ÖD  
DZ# H F , ' \_ ì û ý3P , ' Þ Ö Ý È Gý \* \* z0P ö ` . Ä\*6Aê : • B\$ È \* ¾F 2« é  
# , '0P öGý \* é x È Remode ÈCNN-SLAM È \$ Ð é C ' \*0P ö ` . È - (" ¾ \ . \* ¾  
(© ± , ' SLAM é# Ä v \_ È X Î Lu õ à ; È Ç , ú ¾ = ½ 8 v æ ; J Z Q ‡ • < + X È \ .  
\* , ' é# X5 W J žLö :9ç Ç ¶ \$ - , '5 ì Ä

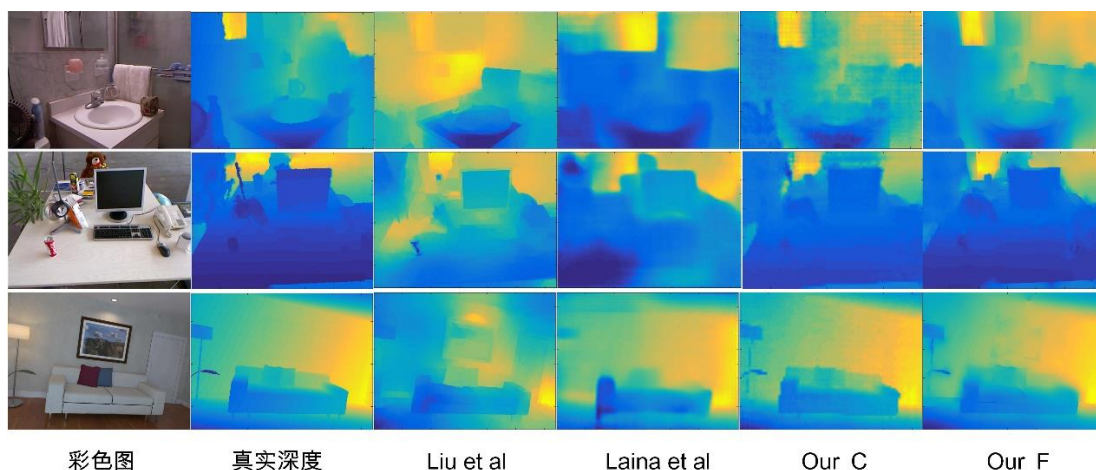


Fig. 5.7 Visual comparison of reconstructed depth on three benchmark datasets

### 5.3.3 深度重建的精度评估

Gý \*\$! Ö , '2î ÖAô ` k?± p T Z@ Ö È Ê W ¼ ÊGý@ Ö " E³ ¶ \ . , '\$! Ö = ½ 8 é#  
ÄOur\_F Å È Weerasekera 1y ê \* , ' £% W4Ö • Ä PE\_S Å ¼ "M'# 4i4Ö • Ä PE\_N Å ,  
...- 0P öGý \* é# ÈB é# \_ \* ¾-\$ Ö# , ' 0 ? F Þ ÖB Î)à0P öGý \* , ' >~ È +X  
¶ T/ý4Ö • ' & È 6 [ ¼ @ ¶ ... - 0P ö \* . Ä F È \ Î P¼ ] • G \* ¶ CNN \$! Ö ` ÄÑ  
, '5 ì È ì ¾ \ . \* , ' CNN 5 '9ç Ç , '5 ì Ä Our\_C Å F > | " E³ Ä X 7 ö žLö  
: , ' ÊGý" E³5 ì ²>~ 5.3 p/j È § f , ' 6 Ä ² ; Ä

OÆ XÈ>| CNN 5 ' Ø Ý, '\$! Ö-( " È X p 9 žLö : È \ . ], ' CNN \$! Ö Ø  
 Ý5 ' Ç ¶ 0 ~, 'KIB ) . ¼ 0Q , '2î Ö È . 5.7 p?ö?ù@ ÖAñ >¶F 0&é Ä# ? ` Liu  
 1y ê `AÑ \*, '\$! Ö . 9 > n, 'Eé+| Ý È v ^ X WM'0 , 'KIB `AÑ j Ä-( ý È Laina  
 1y ê, ' é# § 9E³Q , '2î Ö È v \_ \$! ÖEé+| x+O ¶ > n, ' Q2ú Ä>F T/ý é# -( " È \  
 . \*, ' CNN 5 ' , - , ^ ¶ \$! ÖEé+| Ý È D Î)à ¶ 0Q , '2î Ö Ä  
 >~ 5.3 7 ö žLö :Gý \* 2î Ö, ' ÊGÿ E³

Tab. 5.3 Quantitative comparison of reconstruction results on three benchmark datasets

ŽLö / é#		Error (lower is better)			Accuracy (higher is better)		
		rmse	log	abs.rel	$\delta < 1.25$	$\delta < 1.25^2$	$\delta < 1.25^3$
NYU Depth V2	Eigen et al.	0.64	0.23	0.16	0.74	0.94	0.98
	Liu et al.	0.73	0.33	0.33	0.59	0.81	0.91
	Laina et al.	0.51	0.22	0.18	0.84	0.94	0.97
	Our_C	0.50	0.19	0.16	0.81	0.95	0.98
	PE_S	0.52	0.21	0.12	0.83	0.95	0.98
	PE_N	0.45	0.17	<b>0.09</b>	0.89	0.96	<b>0.99</b>
	Our_F	<b>0.44</b>	<b>0.16</b>	<b>0.09</b>	<b>0.90</b>	<b>0.97</b>	<b>0.99</b>
TUM RGB-D	Eigen et al.	1.41	0.37	0.23	0.54	0.82	0.92
	Liu et al.	0.86	0.29	0.25	0.54	0.87	0.90
	Laina et al.	1.07	0.39	0.25	0.49	0.75	0.88
	Our_C	0.70	0.28	0.20	0.63	0.88	0.93
	PE_S	0.69	0.25	0.13	0.79	0.89	0.96
	PE_N	0.65	0.24	0.12	<b>0.83</b>	0.90	0.96
	Our_F	<b>0.62</b>	<b>0.23</b>	<b>0.10</b>	<b>0.83</b>	<b>0.95</b>	<b>0.97</b>
ICL-NUIM	Eigen et al.	0.83	0.43	0.30	0.47	0.78	0.90
	Liu et al.	0.81	0.41	0.45	0.47	0.71	0.87
	Laina et al.	0.54	0.28	0.23	0.59	0.83	0.95
	Our_C	0.36	0.18	0.16	0.74	0.96	0.98
	PE_S	0.32	0.18	0.12	0.83	0.97	<b>0.99</b>
	PE_N	<b>0.22</b>	<b>0.12</b>	<b>0.07</b>	<b>0.93</b>	<b>0.99</b>	<b>0.99</b>
	Our_F	0.30	0.13	0.14	0.89	<b>0.99</b>	<b>0.99</b>

!!Q È \ ., '\$! Ö=½ 8 é# Ä Our\_F Å X } T Z žLö ]>~)à?± H ¾ Weerasekera  
 1y  
 ê, ' é# Ä PE ÅÈv \_ X ICL žLö :?± 0&é Ä j PE\_N é# 0 ? F, ' \_ Þ ÖB È  
 ! } \_ Þ Ö 08\$ W wAî ÈF X-O Î j Ý ] ! = k \_ @0û È 6 J ,8\$ `AÑ, '5 ì x+O W  
 , 'B Ä-( ý È \ ., '=½ 8 é# = F 0 wAî, '4Ö • È p X-O Î žLö :, '5 ì>~)à  
 , ' \$ - Ä X 0 > 0 Z 8 @ žLö ] È -; \* j Ý ], ' £'— ~Ñ 9 + ... F ÈF )

PE é# ]iž Þ Ö 08\$ WF >|B H F Ë ¶, W, 'Î, ú Ä 0 éM' È-(jF ØE÷0;  
 ]=  
 O u 6, '£0+ ú4ß ûEœF Ø, ' ^ X ,8\$ \* ¾(© ±, 'D DZ2î ÖL} ~ È04ø ¯ Ç \ ., '=½  
 85 ì, ' W7- 9 p ;L} Äk, ' •B\$ È\ . \*, ' \* ¾ ...- ?ö?ù SLAM , '0P öGý \* é# Eî  
 ` ¶N' O, '±"r È T ! X63<• ` õ ¯+X ¶ ± !00+ç, 'D 7&é, ' õ å ; È ! 5 [, '\$! Ö4i  
 3RF F ~ ¾ PE 1y é# Ä  
 0 > È m1Ñ ORB (© ±&é ,00+ç È v \_ ! }5ž ¼ ! 5 [ ¶Gý?±, '\$! Ö4i3R ÈF È4i

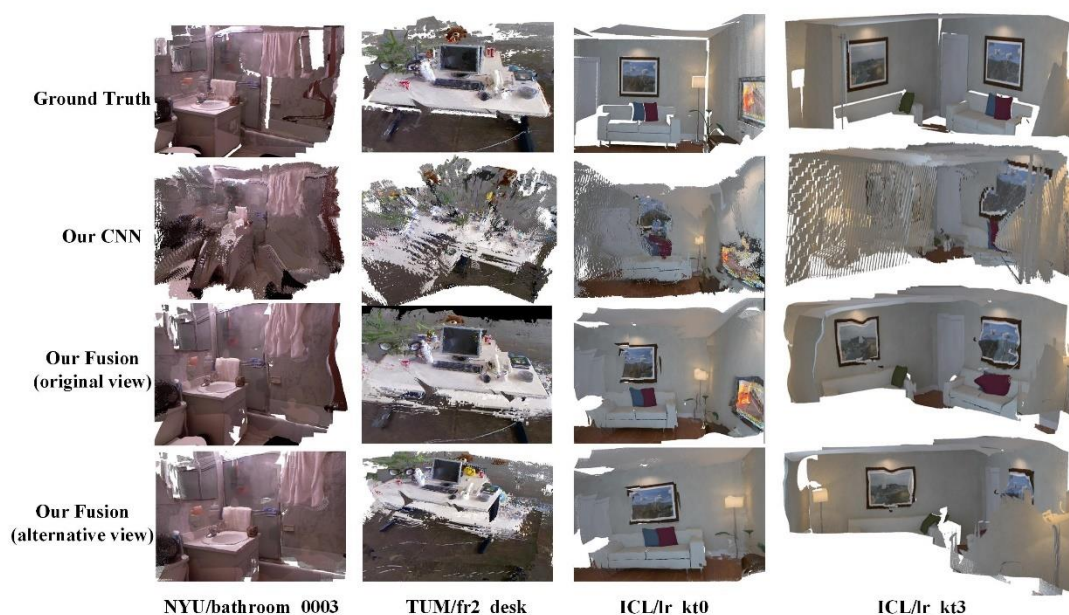


Fig. 5.8 reconstructed dense map on three benchmark datasets

3R -> CNN ØÝ, '\$! Ö-( Â>• Ä ORB (© ±&éLö ] X4é\*6 ` ü, 'j È 5 Eé+| 4 È  
 6<CNN ØÝ\$! ÖEé+| ^ X Ó î Ä-(ý È CNN X ~4é\*6 j ýf `AÑ \* ~p2î.ž, '  
 '\$! Ö ÈF \_ \* ¾(© ±, ' SLAM p # Š ` , ' Ä >~ 5.3 ¼. 5.7 ] •Añ > ¶F 0&é Ä+a ¾  
 =½ 8 ¶ T/ý Â>•, ' = <\$À\$! Ö È \ .9ç , '\$! Ö5 ì-(" ¾ õ ¯+X CNN 5 , 'N'#{5  
 ì È?± \$2î.ž Ä 0 éM' È . 5.8 ], '95\$ Gý \*5 ì n/j \ . \*, '0P öGý \* é# 2î.ž  
 , ' ' = ¶ j Ÿ, '5 ' ¼>~M' ÈF •p?ö?ù x ì@ Ö ½!QAñ > ¶ \ . =½ 8 v æ, ' 9 x W Ä



Fig. 5.9 Reconstruction results under pure rotational camera motion

### 5.3.4 模块有效性的验证

Q ± 9 x W, 'P¼Añ k ?± 6 @ 9 ZG 6 È 0 Z \_ CNN \$! Ö Ø Ý Q ± X A H W)ß ³ ;  
 , 'R± WP¼Añ È F T ZG 6 \_=½ 81†+•, ' 9 x W ¼5ž Ö ., ' 8\*6 WP¼Añ Ä  
 } M' ` \ . \* , ' SLAM 3+5 -( " ¾ P5 , ' ...- ?ö?ù SLAM , ' H i { 0 a \_ X  
 4ß ûEœF Ø F65 ~4é\*6)ß ³ ; ýf7- OR± , ' F > | È < -f2î Ö J ` i ý ÄF \_ j v  
 æ ] -X, ' CNN Ø Ý \$! Ö Q ± X F È õ ³ ; § 9 0 Ê , ' 9 x W Ä j ¶ Añ > F 0&é È \  
 G 6 ÎP¼ X TUM žLö ; , ' fr1 rpy ¼ fr2 dishes ?öNÁ ħ G ] F > | ¶ Gý \* ÎP¼ Ä  
 fr1 rpy" ħ G ]-( j , ' õ Š4ß ûEœF Ø È fr2 dishes ?öNÁG÷Lö ¾ ~4é\*6 j Ÿ ; È » ²  
 y% , ' É ñ È |M' ¼ ` - Ä . 5.9 ] n/j ¶ \ . , ' é# ¼ LSD-SLAM ) fr1 rpy" , ' Gý  
 \*5 ì È - ; \* \ . é# , ' Gý \*5 ì ] Íf7- O- ; \$5 j Ÿ , ' ...5 ' È < LSD-SLAM  
 , ' 5 ì ] +O ¶ UGý • " ' ÄF \_ j4ß ûEœF Ø . d • ¶ 0û f ?ö?ù ] , ' ... ) Ä £3+ È  
 v CNN \$! Ö ` Añ ¨ Ñ 9 ` + ... i ý Ä 0 éM' È . 5.10 ] ... ¶ \ . , ' é # ¼ Remode  
 é# ) fr2 dishes , ' Gý \*5 Ä + a ¾ Remode é# \_ \* ¾ 4ß ... , ' é# È ÍC† ¾ Þ Ö 0  
 8\$ W wAî ¼0û f iG} ° \_ • "r@ 0P ö\$! Ö È v \_5j • Că 04é\*6 , ' j Ÿ - Ç iG}2î Ö UFO  
 ;L} È 04ø È ,8\$ Remode Gý \* , ' j Ÿ F0 F UGý Ä -( ) • B\$ È \ . é# x+O , ' j Ÿ Q »  
 \$ ŌF -O î õ ä Ä  
 j ¶ P¼Añ =½ 81†+• , ' 9 x W ¼5ž Ö . , ' 8\*6 WP¼Añ È ÎP¼ ] 6 Liu 1y ê ¼ Laina  
 1y ê , ' CNN \$! Ö Ø Ý é# > \ . , ' =½ 81†+• -(5 8 È £ Liu et al+Fusion ¼ Laina et al  
 +Fusion Ä " E³ , ' 5 ì X > 5.4 ] G \* È - ; \* È X p 9 žLö : ÈG- 9 , > n , ' x ì

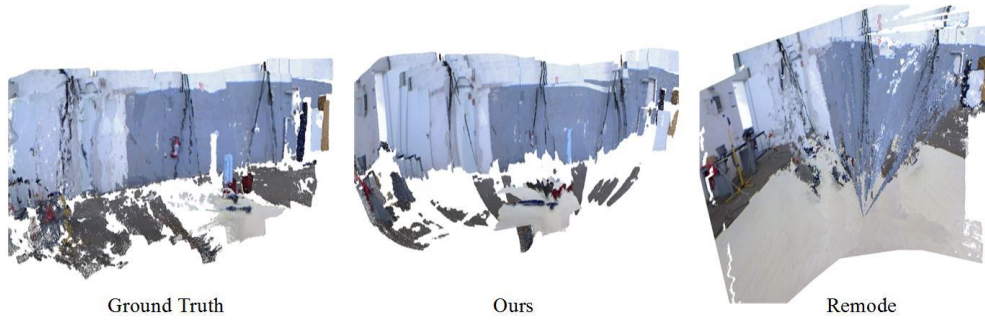


Fig. 5.10 Reconstruction results under low-texture scene

w ÈF F 0!•Añ > ¶ \ . =½ 81†+•, 'FJ+X W ¼ 9 x W ÄL"! { F È >~ 5.4 ] •P¼ Añ ¶  
 5ž Ö .Aî5ž, ' 8\*6 W È Gü 6 ¯+X mask . Le, ' =½ 8E÷0;0 j Our\_F w/o confidence ,  
 > ¯+X5ž Ö . =½ 8, '5 Ì Our\_F -(" È õ ¯+X mask . Le, '5 Ì X CNN \$! Ö Ø Ý  
 , ' \*.p : w, ' x ì q 6 9L€ ÈF \_ j mask . Le, ' £1y, ' -; µ p 9, '\$! Ö Ý È6<  
 "Ñ 9 u 6 UD DZE÷0;\$! Ö "&é, '2î Ö H ï Ä-( ý È Y+X5ž Ö .7- O , -, ' j 6\$! Ö  
 Ý, '2î.ž W È ¯ Ç w, ' x ì \$ Ð > n Ä  
 >~ 5.4 7 ö žLö : Q ‡ 9 x WP¼Añ

Tab. 5.4 Quantitative verification of models on three benchmark datasets

žLö / é#		Error (lower is better)			Accuracy (higher is better)		
		rmse	log	abs.rel	$\delta < 1.25$	$\delta < 1.25^2$	$\delta < 1.25^3$
NYU Depth V2	Liu et al	0.73	0.33	0.33	0.59	0.81	0.91
	Liu et al + Fusion	0.65	0.30	0.29	0.62	0.83	0.94
	Laina et al	0.51	0.22	0.18	0.84	0.94	0.97
	Laina et al + Fusion	0.44	0.19	0.16	0.85	0.95	0.98
	Our_C	0.50	0.19	0.16	0.81	0.95	0.98
	Our_F w/o Confidence	0.48	0.20	0.16	0.83	0.95	0.98
	Our_F	<b>0.44</b>	<b>0.16</b>	<b>0.09</b>	<b>0.90</b>	<b>0.97</b>	<b>0.99</b>
TUM RGB-D	Liu et al	0.86	0.29	0.25	0.54	0.87	0.90
	Liu et al + Fusion	0.81	0.28	0.24	0.56	0.89	0.95
	Laina et al	1.07	0.39	0.25	0.49	0.75	0.88
	Laina et al + Fusion	0.91	0.32	0.22	0.57	0.82	0.92
	Our_C	0.70	0.28	0.20	0.63	0.88	0.93
	Our_F w/o Confidence	0.67	0.26	0.18	0.67	0.90	0.94
	Our_F	<b>0.62</b>	<b>0.23</b>	<b>0.10</b>	<b>0.83</b>	<b>0.95</b>	<b>0.97</b>
ICL-NUIM	Liu et al	0.81	0.41	0.45	0.47	0.71	0.87

Liu et al + Fusion	0.64	0.32	0.34	0.55	0.82	0.92
Laina et al	0.54	0.28	0.23	0.59	0.83	0.95
Laina et al + Fusion	0.41	0.23	0.19	0.65	0.89	0.98
Our_C	0.36	0.18	0.16	0.74	0.96	0.98
Our_F w/o Confidence	0.35	0.17	0.16	0.76	0.97	0.98
Our_F	<b>0.30</b>	<b>0.13</b>	<b>0.14</b>	<b>0.89</b>	<b>0.99</b>	<b>0.99</b>

## 5.4 运行时间分析

\ . \* , ' SLAM é# k?± 9 T ZG 6M0?±8áCi &L\$F >| 4\*6 È £-( jD DZE÷0; ¼  
 \$! Ö=½ 8Gý \*E÷0; Ä § f •Aâ-( jD DZE÷0;7-Eî` 25-30 W!ÿ0 È\$! ÖGý \*E÷0; È j Ö  
 €, 'r@ ~ = •+X &L\$ È k?± \_ CNN \$! Ö `AÑ ¼\$! Ö=½ 8Gý \* Q ‡, 'FO Ö ã È ¶  
 ¢ Z3+5 , 'F >| x)· Ä CNN 5 ' k?± \_ )D DZE÷0; ], ' £K^ WF >|\$! Ö `AÑ È D7- O  
 Eî` 5 Z £K^ W!ÿ0 È \* \ Eî` ¶ Î & W, '?±r Ä ) ¾\$! ÖGý \*E÷0; È >~ 5.5 p"r@ 2î  
 Ö ¼FO Ö éM" E³ ¶ 9 Z é# È6 [ \_ T Z pG % # é# Ä Guided filter ÈGF<sup>[54]</sup> ¼ domain  
 transform, DT<sup>[53]</sup> Ä È 0 Z ~ p 0 ? ¼ ^# Ä WLS<sup>[60]</sup> Ä ÈG÷+X ¼ \ . ]-( <, ' \* Q é ? È  
 v-\$ Ö"r@ ? Ä 4.11 Ä Ä -; \* È . ] ~+X, ' 05\$ FO"r@ 1Ç €7- OEî` > pG % #  
 -( f, 'FO Ö È D+a ¾ ~ p, ' \* Q é ? È { = ¶ pG % # , ' pL€ W Ä > žFJ, ' WLS é#  
 -(" ÈF >|FO Ö ~ \_ ! 26 = È v2î Ö > {-( f Ä ¢ f •B\$ È5 8 \* ¾(© ±, '-( jD  
 DZ ¼\$! Ö=½ 8Gý \* Q ‡ Î)à, ' \* ¾ ...- ?ö?ù SLAM , '0P öGý \*3+5 Î)à ¶ ?ò, ' Î &  
 W È W4Ö \_15 W!ÿ0 Ä

>~ 5.5 = <\$! ÖGý \* é# , '2î Ö > &L\$" E³

Tab. 5.5 Comparison of different depth reconstruction method in accuracy and time

é#	GF[54]	DT[53]	WLS[60]	Ours
Runtime(s)	0.16	0.09	3.9	0.15
RMSE(m)	0.45	0.47	0.36	0.39
Accuracy ( $\delta < 1.25$ )	75.2%	77.3%	88.4%	85.6%

## 5.5 本章小结

\1 û4ý ¶M' A0P öGý \*, ' ...- ?ö?ù SLAM é# -( £ ÎP¼, 'AîAÑ ¼ 6 Ä ÄÆ x û4ý  
 ¶ ÎP¼E÷0; ], 'Aî5ž >+X ` , ' žLö Ä k?±, ' ÎP¼Aô `E÷0; 6 @ 9 ZG 6 È1\ 0 ZG 6  
 \_-( jD DZ ¼L )ß x Ì, 'P¼Añ Ä -( jD DZE÷0; È ¶ ö.ž, ' } / ¼00+¿, ' ` .&é j >5  
 , 'Gý \* ÈGý?± Í ž È2î.ž, 'L )ß1Ç# , , ' yE« ¶B , '3\_0 È) ' \* ~ p 08\$, '

. 9Gý?± ? y Ä1\ ¼ ZG 6 k?± )0P ö\$! ÖGý \*G 6, 'Aô ` È k?±#¹ ú ` \$! ÖGý \*7-Gÿ  
- , ' ò .ž Ê ÎP¼ È J/ý j Ö €"r@ é# , ' )" ÎP¼ ÈGý \*\$! Ö, '0P ö W ¼2î ÖAô  
` ú Q ‡ 9 x W, 'P¼Añ ÎP¼ Ä 0 > 0 ZG 6 )3+5 ¢ f, 'F > |FO Ö Š \* ¶Aô ' È !B  
4ö" E³ ¶\$! ÖGý \*E÷0; , ' FO Ö >2î Ö Ä



## 结 论

\·OÆ x)?ö?ù SLAM , 'L NÈ Š ¶5,F È û4ý ¶?ö?ù SLAM , ' ... ¶0; È < & E  
 \* ¶ ...- ?ö?ù SLAM ] ^ X, 'L NÈ ÖGý \*, ' . Z00+¿ È õ õ F2+X ¾-( j, ' Ê } È6<  
 # Ä+X ` ÎLuL NÈ j È ! " \* ¶ \* ¾\$! Ö=½ 81†+•, ' M' A0P öGý \*, ' ...- ?ö?ù SLAM  
 é# Ä Ö-p È \ · û4ý ¶ SLAM L NÈ, '-( £ \*.p\*6Aê >6ü Ÿ. Aö È-pGýAØAê ¶ = <2« »  
 P O ~ Î)à0P öGý \*, ' H5j&é È" ¶(© ±# >-\$ ÖD DZ# SLAM X0P öGý \* éM', 'Lî  
 &é >5jL\$ È ! 5 80P öGý \* j?±@ ã, ' 9 ZL NÈ Ö Ä1 Å > g9ç Q 2î Ö, ' j Ÿ ...5  
 ' >-(j } / Ÿ ÄÄ 2 Å XMŽ5 ' W j È > g `AÑ \*-( ) ö.ž, '0P ö\$! Ö ÄÄ 3 Å9ç  
 Ç j Ÿ, '5 ' ¼ ! j , '0P ö\$! Ö > È > g Î)à T65, '=½ 8 È F65B\$ È > g 6F È0P  
 ö, '\$! Ö Ÿ › u ` j Ÿ5 ' j ! mGÿ.ž =.d ·5 ' Ÿ Ä 04ø.ž Ê ¶ \ ·, ' .D  
 0! MD Ö p j Ÿ5 ' ¼0P ö\$! Ö `AÑ T Z@ Ö \* È u 6 Y+X ¶ \* ¾(© ±, '-( jD DZ ¼  
 CNN \$! Ö Ø Ý È 9 x, '5 8 ¶4ß ..., '1†+• ¼\$! Ö - • M # È \* \* ¾=½ 81†+•, ' 0P  
 ö\$! ÖGý \* È Î)à ¶ ) 95\$ j Ÿ, '0P ö \* Q Ä 0 > È \ ·FJE ÷ ¼ ¶, ' ÎP¼P¼Añ ¶-( jD  
 DZ >0P ö\$! ÖGý \*, ' 9 x W È ! 6 Å ¶ ¶ Z3+5 , ' Î & W È5, 8>~ > ¶M' A0P öGý \* , '  
 ...- ?ö?ùSLAM 3+5 § 9E³Q , '2î Ö >R± W Ä  
 \ ·, ' k?±CQ)^ 5 Ö  
 Ä1 Å ' \* ¶ 0 ‡ ¼ ¶, ' M' A0P öGý \*, ' ...- ?ö?ù SLAM 3+5 ÈOÆ!Q 8 ¶ \* ¾(©  
 ±, '-( jD DZ > CNN \$! Ö Ø Ý Q ‡ È \* 6 -( jD DZ ¼0P ö\$! Ö `AÑ@ 6V, ' ## È u  
 6 Y+X00+¿D 7&é, '0ªL\$ }5ž ¼2î Ö H ĩ È > CNN \$! Ö `AÑ ' @ Â>• È ¼ @ j Ÿ, '0P  
 öGý \* Ä  
 Ä2 ÅG÷+X \* ¾(© ±, '-( jD DZ1Ç# È2î.ž `AÑ ¶ j Ÿ, ' ...5 ' >-(j, ' } /  
 Ÿ Ä(© ± È ÷0; jG÷+X \* ¾5•l, ' 1†+• È.ž (© ±&é7- O X j Ÿ j w 0 6 3 È \$  
 -, ' k+k ¶ Z j Ÿ5 ' È ! E • GMS 1†+• È Î)à ¶ )(© ± iG}, 'Q x1F9 È Î j ¶-(  
 jD DZ, 'R± W Ä  
 Ä3 Å ' \* ¶ \* ¾ Resnet 5 ' , ' J j Ö\$! Ö `AÑ5•5 È ~+X0ª#N §0 / ĩ û ;G÷  
 gr È X Î W O Gp, ' < & " Ñ 9 E • NÍ F ò ¼FP @(© ± Ÿ, ' • a Ä J j Ö Q ‡, '  
 E • È Ç5•5 7- OAö [ J j Ö, ' )B' !2î.ž Ø Ý \* ! ) Ä, '\$! Ö Ÿ Ä 0 éM' È CNN  
 \$! Ö `AÑ j ...- ?ö?ù SLAM È ¶ 0 Z j Ö ò63 ! Î j ¶1Ç# X ~4é\*6 j Ÿ ¼4ß ûEœ  
 F Ø ;, 'R± W Ä



Ä4 Å 9 x, '5 8 ¶4ß ... 1Ç# ¼\$! Ö - • M # È \* \* ¾=½ 81†+•, '0P ö\$! Ö Gý  
\* v æ È u 663<• = <\$À\$! Ö ÿ, ' M • W È 8\*6Aî5ž ) Ä, '5ž Ö ! ¯+X ™8¢ . 7 ,  
Gý \*E÷0; È 0 W0; Ö :Lb! ' ¶ j Ÿ5 ´ , ' F0 F Ä"r@ E÷0; ] 6 ¼5\$7-Gÿ - 6@ @ 05\$  
L NÈ È ! E • 05\$, ' FO"r@ 1Ç €F "r@ È X Añ2î Ö = • a, ' õ å ; W W w ¶  
"r@ FO Ö Ä

## 参 考 文 献

- [1] Ventires M. Stanley: The robot that won the darpa grand challenge[J]. Journal of Field Robotics, 2006. 23(9):661-692.
- [2] Urmson C, Anhalt J, Bagnell D, et al. Autonomous driving in urban environments: Boss and the urban challenge[J]. Journal Field of Robotics, 2008. 25(8):425-466.
- [3] Durant-Whyte H, Bailey T. Simultaneous localization and mapping: part I[J]. Robotics & Automation Magazine, 2016. 13(2):99-110.
- [4] Scaramuzza D, Fraundorfer F. Visual odometry [Tutorial][J]. IEEE Robotics & Automation Magazine, 2011. 18(4):80-92.
- [5] H#™•È1 - ÈR½<~ È. \*¾ ...- ?ö?ù,´ & Ê }¾`.´\* é# 5,F [J]. AÑ1Ç jEµ ÙAiAÑ >.`-- Õ È 2016. 28(6):855-868.
- [6] Longguet-Higgins H. A computer algorithm for reconstructing a scene from two projections[J]. Nature, 1981. 293(10):133-135.
- [7] Harris C, Pike J. 3D positional integration from image sequences[C]. Alvey Vision Conference. 1988:87-90.
- [8] Frahm J, Georgel P, Gallup D, et al. Building rome on a cloudless day[C]. European Conference Computer Vision. 2010:368-381.
- [9] Cadena C, Carlone L, Carrillo H, et al. Simultaneous localization and mapping: present, future, and the robust-perception age[J]. IEEE Transactions on Robotics, 2016. 32(6): 1309 - 1332.
- [10] Q 6 È P#È È H1ö È1y. ?ö?ùSLAM q Aâ Ö p\*6Aê`ÎD% [M]. G Ü Ö+e € J\*(x/n È 2017.
- [11] Strasdat H. Local accuracy and global consistency for efficient visual SLAM[D]. London: Imperial College London, 2012.
- [12] Davison A J, Reid I D, Molton N D, et al. MonoSLAM: Real-time single camera SLAM[J]. IEEE Transactions on Pattern Analysis & Machine Intelligence, 2007. 29(6):1052-1067.
- [13] Shi J, Tomasi C. Good features to track[C]. IEEE Conference on Computer Vision and Pattern Recognition. 1994:593-600.
- [14] Pupilli M, Calway A. Real-time camera tracking using a particle filter[C]. British Machine Vision Conference. 2005.
- [15] Civera J, Davison A J, Montiel J M M. Inverse depth parameterization for monocular SLAM[J]. IEEE Transactions on Robotics, 2008. 24(5):932-945.
- [16] Mourikis A I, Roumeliotis S I. A multi-state constraint Kalman filter for vision aided inertial navigation[J]. 2007, 22:3565-3572.

- [17] Strasdat H, Montiel M.M, Davison A. Visual SLAM: Why filter[J]. Image and Vision Computing, 2012. 30(2):65-77.
- [18] Klein G, Murray D. Parallel tracking and mapping for small AR workspaces[C]. IEEE International Symposium on Mixed and Augmented Reality. 2007:225-234.
- [19] Klein G, Murray D. Improving the agility of key-frame based SLAM[C]. European Conference on Computer Vision. 2008:802-815.
- [20] Mur-Artal R, Montiel M. M, Tardos J. D. ORB-SLAM: A versatile and accurate monocular SLAM system[J]. IEEE Transactions on Robotics, 2015. 31(5):1147-1163.
- [21] Engel J, Schops T, Cremers D. LSD-SLAM: Large-scale direct monocular SLAM[C]. European Conference on Computer Vision. 2014:834-849.
- [22] Tan W, Liu H, Dong Z, et al. Robust monocular SLAM in dynamic environments[C]. IEEE International Symposium on Mixed and Augmented Reality. 2013:209-218.
- [23] Qin T, Li P, Shen S. VINS-Mono: A robust and versatile monocular visual-inertial state estimation[J]. IEEE Transaction on Robotics, 2018. 34(4):1004-1020.
- [24] Keller M, Lefloch D, Lambers M, et al. Real-time 3D reconstruction in dynamic scenes using point-based fusion[C]. IEEE International Conference on 3D Vision. 2013:1-8.
- [25] Whelan T, Kaess M, Johannsson H, et al. Real-time large scale dense RGB-D SLAM with volumetric fusion[J]. The International Journal of Robotics Research, 2015. 34(4):598-626.
- [26] Whelan T, Salas-Moreno R. F, Glocker B, et al. Elasticfusion: Real-time dense SLAM and light source estimation[J]. The International Journal of Robotics Research, 2016. 35(14):1697-1716.
- [27] Newcombe R, Izadi S, Hilliges O, et al. Kinectfusion: Real-time dense surface mapping and tracking[C]. IEEE International Symposium on Mixed and Augmented Reality. 2011:127-136.
- [28] Concha A, Hussain M. W, Montano L, et al. Manhattan and piece wise-planar constraints for dense monocular mapping[C]. Robotics: Science and System. 2014
- [29] Flint A, Murray D, Reid I. Manhattan scene understanding using monocular, stereo, and 3D features[C]. IEEE International Conference on Computer Vision. 2011:2228-2235.
- [30] Concha A, Civera J. DPPTAM: Dense piecewise planar tracking and mapping form monocular sequences[C]. IEEE/RSJ International Conference on Intelligent Robots and Systems. 2015:5686-5693.
- [31] Newcombe R. A, Lovegrove S. J, Davison A. J. DTAM: Dense tracking and mapping in real-time[C]. IEEE International Conference on Computer Vision. 2011:2320-23327.
- [32] Pizzoli M, Forster C, Scaramuzza D. Remode: Probabilistic, monocular dense reconstruction in real time[C]. IEEE International Conference on Robotics and Automation. 2014:2609-2616.

- [33] Herrera D, Kannala J, Heikkila J, et al. Depth map inpainting under a second order smoothness prior[C]. Scandinavian Conference on Image Analysis. 2013:555-566.
- [34] Engel J, Cremers D. Semi-dense visual odometry for a monocular camera[C]. IEEE International Conference on Computer Vision. 2013:1449-1456.
- [35] Greene W. N, Ok K, Lommel P, et al. Multi-level mapping: real-time dense monocular SLAM[C]. IEEE International Conference on Robotics and Automation. 2016.
- [36] Weerasekera C. S, Latif Y, Grag R, et al. Dense monocular reconstruction using surface normals[C]. IEEE International Conference on Robotics and Automation. 2017:2524-2631.
- [37] Eigen D, Fergus R. Predicting depth, surface normals and semantic labels with a common multi-scale convolutional architecture[C]. IEEE International Conference on Computer Vision. 2015:2650-2658.
- [38] Tateno K, Tombari F, Laina I, et al. CNN-SLAM: Real-time dense monocular SLAM with learned depth prediction[C]. IEEE Conference on Computer Vision and Pattern Recognition. 2017:6565-6574.
- [39] Hartley R. I. In defense of the eight-point algorithm[J]. IEEE Transactions on Pattern Recognition and Machine Intelligence, 1997. 19(6):580-593.
- [40] Rosen D, Kaess M, Leonard J. An incremental trust-region method for robust online sparse least-squares estimation[C]. IEEE International Conference on Robotics and Automation. 2012: 1262-1269.
- [41] David G L. Distinctive image features from scale-invariant keypoints[J]. International Journal of Computer Vision, 2004. 60(2): 91-110.
- [42] Herbert B, Tinne T, Luc Van G. SURF: speed up robust features[C]. European Conference on Computer vision. 2006:404-417.
- [43] Rublee E, Rabaud V, Konolige K, et al. ORB: an efficient alternative to SIFT or SURF[C]. International Conference on Computer Vision. 2011:2564-2571.
- [44] Edward R, Gerhard R, Tom D. Real-time video annotations for augmented reality[C]. International Symposium on Vision computing. 2005:294-302.
- [45] Michael C, Vincent L, Christoph S, et al. BRIEF: binary robust independent elementary features[C]. European Conference on Computer Vision. 2010:778-792.
- [46] Bian J, Lin W Y, Matsushita Y, et al. GMS: Grid-based motion statistics for fast, ultra-robust feature correspondence[C]. IEEE Conference on Compute Vision and Pattern Recognition. 2017:2828-2837.
- [47] Liu F, Shen C, Lin G Èet al. Learning depth from single monocular images using deep convolutional neural fields[J]. IEEE Transactions on Pattern Analysis and Machine Intelligence, 2016. 38(10):2024-2039.

- 
- [48] Eigen D, Fergus R. Predicting depth, surface normals and semantic labels with a common multi-scale convolutional architecture[C]. IEEE International Conference on Computer Vision. 2015:2650-2658.
  - [49] Laina I, Rupprecht C, Belagiannis, Tombari F, et al. Deeper depth prediction with fully convolutional residual networks[C]. IEEE International Conference on 3D vision. 2016:239-248.
  - [50] Lang M, Wang O, Aydin T, et al. Practical temporal consistency for image-based graphics application[J]. ACM Transactions on Graphics, 2012. 31(4):1-8.
  - [51] Koutis I, Miller G L, Tolliver D. Combinatorial preconditioners and multilevel solvers for problems in computer vision and image processing[C]. International Symposium on Advances in Visual Computing. 2009:1067-1078.
  - [52] Krishnan D, Fattal R, Szeliski R. Efficient preconditioning of Laplacian matrices for computer graphics[J]. ACM Transactions on Graphics, 2013. 32(4):1-15.
  - [53] Gastal E, Oliveira M. Domain transform for edge-aware image and video processing[J]. ACM Transactions on Graphics, 2011. 30(4):1-12.
  - [54] He K, Sun J, Tang X. Guided image filtering[C]. European Conference on Computer Vision. 2010:1-14.
  - [55] Min D, Choi S, Lu J, et al. Fast global image smoothing based on weighted least squares[J]. IEEE Transactions on Image Processing, 2014. 23(12):5638-5653.
  - [56] Horn B. K. P. Closed-form solution of absolute orientation using unit quaternions[J]. Journal of the Optical Society of America, 1987. 4(4):629-642.
  - [57] Silberman N, Hoiem D, Kohli P, et al. Indoor segmentation and support inference form rgb-d image[C]. European Conference on Computer Vision. 2012:740-760.
  - [58] Sturm J, Engelhard N, Endres F, et al. A benchmark for the evaluation of RGB-D SLAM system[C]. IEEE/RSJ International Conference on Intelligent Robots and System. 2012:573-580.
  - [59] Handa A, Whelan T, McDonald J, et al. A benchmark for rgb-d visual odometry, 3d reconstruction and SLAM[C]. IEEE International Conference on Robotics and Automation. 2014:1524-1531.
  - [60] Farbman Z, Fattal R, Lischinski D. Edge-preserving decompositions for multi-scale tone and detail manipulation[C]. ACM SIGGRAPH. 2008:1-10.

## 攻读硕士学位期间发表学术论文情况

- 1 Dense Reconstruction from Monocular Slam with Fusion of Sparse Map-Points and Cnn-Inferred Depth. **Xiang Ji**, Xincheng Ye, Hongcan Xu, Haojie Li. IEEE International Conference on Multimedia and Expo, 2018, 1-6. EI index, EI number: 20190706509031.  
Ä \.... – }Aê ·1\ 9 Ã 1 Å
- 2 Underwater image enhancement using stacked generative adversarial networks. Xincheng Ye, Hongcan Xu, Xiang Ji, Rui Xu. Pacific-Rim Conference on Multimedia, 2018, 514-524. EI index, EI number: 20184105924432.

## 致 谢

& yO FMÈEœ-IL\$ 9 ㄝ,´.D0!+O+O#k a?± z 0!â:m ¶ È OÆ 9 ㄝ},´ ? Y È 0 Z ê  
z [ æ ê ; û • `L|+O,´ WF È a / < \_ +O X X Y 0 g Ä 0D C • È 9E÷ Z J,´ @K<sup>-</sup>  
> ö È z [ { & È k 9B( J,´ =8= Ä

A )à8 !\_ 0 Z ,´ F,´ ê È f M -p pBC,´-l5HF9 ¶)à X,´ , 8 ~Bš % , È  
AÙ A , ¶ " F9 ] ¶ F2 88 !,´61 8 ÄD L¿61 8,´F 9 ㄝ.D0! — • ] È A>Û ~61 8 UBX,´  
œ 1 Ö > ¼ ´,´ W l p È = Ä v 0 ) A j ý 0\$!,´F \_61 8 ) µ0 .D,´ 1 Ö È JF Î  
P¼ Ô & È a \61 8B\$E÷ È.D0! 0 Ê?±M% , ; • È œ?±D? Î È 0!• 0 Z7J È Ê0 é7-;´  
È 7 / U ĨF Y Ä<-fG- \_ È , žFJFf\*6 È v61 8G- Š ` ¶ È.D0!E÷0; ] ) ZL NÈ  
,´ \$! Ö F È È ) >| é x,´ ý =AêAñ ÈF 0 7AÙ A O ` ¶0 .D,´Qu È ! Š È ¶ >5,´  
Ú È é A Ä < g AF ?± OBR & EEà61 8 ¼)»<sup>a</sup> —61 8 È ¼ &61 8,´-( 4 , 9 È • ,E«  
® È T ! X Š ÎP¼ ] Fw` Lî & È61 8,´6@ ó 7 ,AÙ A ,ú Z#u Ä )»<sup>a</sup> —61 8 \_ }MŽ h  
4ö7«,´61 8 È k \_1 X —+O,´@ Ö È j W æ È\$Y Æ,´ £ 0 È T ! X A O ` F'9[+â ,´  
& l È ¼61 8 ,´ Ô#q k JAÙ ABqf 0 G È ! 0-\$UC á-p A ÷ °-\$ } Ä  
!!Q ÈF ?± OBR ÎP¼ ÔGü,´ 8 t 8 8 O 8 é È j 9 ¶ ,´Lš dAÙ A,´.D0!  
+O+O#kE÷,´ J / J <sup>TM</sup> Äÿ!Q ¼ Ô#q F65 \ ,´ k5 Œ z & È k J 9 , J f9ç È p  
= <@ Ö ÈGý à-; µ8 !,´.D0!B.NÈ È k J 9 ? # = ` ,´ )à Ä DÛ : 9Aè J l Ç A  
— • H/ð ñCX È OBR j ÎP¼ Ô KFP,´#f È — • "K \$ ÈAÙ A X%œ0+U F ] ` ¶ , -  
,´¿Ll Ä f'f ÈF ?± OBR A,(flý È \_ ' &,´ \_ 1 È }7-AÙ A 2!" + W ` Š-p8  
! ÌR,´ » Ä  
0 > ÈOBR p 9 £ óE÷ A,´ ê ÈA J V-p • ,´UC á > O K5 5 C ; ë Èd [ { & È  
< K W æ 0 7G- - Ä

## 大连理工大学学位论文版权使用授权书

本人完全了解学校有关学位论文知识产权的规定，在校攻读学位期间论文工作的知识产权属于大连理工大学，允许论文被查阅和借阅。学校有权保留论文并向国家有关部门或机构送交论文的复印件和电子版，可以将本学位论文的全部或部分内容编入有关数据库进行检索，可以采用影印、缩印、或扫描等复制手段保存和汇编本学位论文。

学位论文题目： \_\_\_\_\_

作者签名： \_\_\_\_\_ 日期： \_\_\_\_\_ 年 \_\_\_\_ 月 \_\_\_\_ 日

导师签名： \_\_\_\_\_ 日期： \_\_\_\_\_ 年 \_\_\_\_ 月 \_\_\_\_ 日